

İSTANBUL TEKNİK ÜNİVERSİTESİ★FEN BİLİMLER ENSTİTÜSÜ

**YENİ SÜBSTİTÜE FTALOSİYANİNLERİN SENZEZİ VE
ÖZELLİKLERİNİN İNCELENMESİ**

100698

DOKTORA TEZİ
Y.Kimyager Süleyman Gürsoy
(509940009012)

TC VİZE
DOKTORA TEZİ
100698

Tezin Enstitüye Veriliş Tarihi :21 Nisan 1999
Tezin savunulduğu tarih :14 Haziran 1999

Tez danışmanı : Prof.Dr.Özer Bekaroğlu 
Diğer Jüri Üyeleri Prof.Dr.Ahmet Gül (İTÜ) 
Prof.Dr.Çakıl Erk (İTÜ) 
Prof.Dr.Ulvi Avcıata (YTÜ) 
Doç.Dr.Bahri Ülküseven (İÜ) 

HAZİRAN 1999

ÖNSÖZ

İstanbul Teknik Üniversitesi Fen-Edebiyat Fakültesi Kimya Bölümünde çalışma hayatına başladığımından itibaren gerekli imkanları sağlayan, önerileriyle yol gösteren tez yönetici hocam Sayın Prof.Dr.Özer BEKAROĞLU'na ;

Çalışmalarım sırasında bilgilerinden yararlandığım Sayın Prof.Dr.Ahmet GÜL, Sayın Prof.Dr.Ali İhsan OKUR, Sayın Doç.Dr. Makbule KOÇAK, Sayın Doç.Dr.Ali CİHAN ve tüm Anorganik Kimya Anabilim Dalı elemanlarına ;

Beni yetiştiren ve her zaman yanında olan aileme ;

Tezin yazımında büyük özveri gösteren eşim Sayın Fatma GÜRSOY'a teşekkür ederim.

İstanbul, 1999

Süleyman GÜRSOY

İÇİNDEKİLER

KISALTMALAR	v
ŞEKİL LİSTESİ	vi
ÖZET	viii
SUMMARY	ix
1. GİRİŞ	1
2. GENEL BİLGİLER	3
2.1 .Ftalosiyaninler	3
2.1.1. Ftalosiyaninlerin Keşfi ve Yapılarının Aydınlatılması	3
2.1.2. Ftalosiyaninlerin Adlandırılması	5
2.1.3. Pc Molekülünün Fiziksel yapısı	5
2.1.4. Ftalosiyanin Sentezi	7
2.1.4.1. Sübstítüe Olmamış Metalsiz Ftalosiyaninlerin Sentezi	7
2.1.4.2. Metal İyonu İçeren Sübstítüe Olmamış Pc'ler (MPc)	8
2.1.4.3. Pc Sandviç Kompleksleri (MPc ₂)	10
2.1.4.4. Aksiyel Olarak Sübstítüe Ftalosiyaninler	10
2.1.4.5. Okso-Titanyum (IV) Pc ve İlgili Bileşikler	11
2.1.4.6. Aksiyel Olarak Sübstítüe SiPc, GePc ve SnPc	11
2.1.4.7. Tetra-Sübstítüe Ftalosiyaninler	13
2.1.4.8. Periferal okto(op)-Sübstítüe Ftalosiyaninler	15
2.1.4.9. Periferal Olmayan okta (onp)- Sübstítüe Pc'ler	17
2.1.4.10. Asimetrik Olarak Sübstítüe Ftalosiyaninler	18
2.1.4.11. Naftalosiyaninler (Npc'ler)	20
2.1.5. Makrosiklik Gruplar Taşıyan Pc'lerin Sentezi	20
2.1.5.1. O _n Makrosik Grup Taşıyan Pc'ler	20
2.1.5.2. Oksijen ve Kükürt Köprülü (On) Makrosiklik İçeren Ftalosiyaninler	22
2.1.5.3. (O _n N _n) Makrosiklikleri İçeren Ftalosiyaninler	24
2.1.5.4. (N _n) Makrosiklikleri İçeren Ftalosiyaninler	26
2.1.5.5. (S _n) Makrosikliklerini İçeren Ftalosiyaninler	27
2.1.5.6. (N _n) ve (O _n) Makrosikliklerinin Herikisinide İçeren Ftalosiyaninler	28
2.1.5.7. Makrosik Gruplar Taşıyan Polimerik Ftalosiyaninler	29
2.1.5.8. Makrosiklik Gruplar İçeren Asimetrik Ftalosiyaninler	31
2.1.6. Ftalosiyanin Saflaştırma Yöntemleri	32
2.1.7. Ftalosiyaninlerin Reaksiyon Mekanizmaları	33
2.1.8. Ftalosiyanin Malzemelerinin Çeşitli Özellikleri ve Kullanımları	37
2.1.8.1. Heterojen Katalizler	37
2.1.8.2. Suyun ve Oksijenin İndirgenmesi	37
2.1.8.3. Diğer Pc Katalitik Prosesler	38
2.1.8.4. Pc Homojen Katalizlerinden Beklentiler	39
2.1.8.5. Adsorpsiyon Özellikleri	39

2.1.8.6. Manyetik Özellikleri	39
2.1.8.7. Nükleer Kimyada Uygulamaları	40
2.1.9. Ftalosiyanınların Sıvı Kristal Özellikleri	40
2.1.9.1. Polimerik Olmayan Ftalosiyanın Sıvı Kristalleri	41
2.1.9.2. Termotropik Düşük Molekül Ağırlıklı Sıvı Kristaller	41
2.1.9.3. Liyotropik Düşük Molekül Ağırlıklı Sıvı Kristaller	43
2.1.10. Ftalosiyanınların Elektrokromizm Özellikleri	43
2.1.11. Metal Ftalosiyanınların Elektronik Yapısı	45
2.2. Çalışmanın Amacı ve Kapsamı	47
3. KULLANILAN MADDE ve ALETLER	49
3.1. Maddeler	49
3.2. Aletler	49
4. DENEYSEL KISIM	50
4.1. Başlangıç Maddelerinin ve Yeni Maddelerin Sentezi	50
4.1.1. 5,6-Dikloro-1,3-İzobenzofurandion	50
4.1.2. 5,6-Dikloro-1H-İzoindol-1,3(2H)-dion	50
4.1.3. 4,5-Dikloro-1,2-benzen dikarboksamid	50
4.1.4. 4,5-Dikloro-1,2-disiyanoibenzen	51
4.1.5. 1,2-Bis (hidroksietilmerkapto)-4,5-disiyanoibenzen	51
4.1.6. 1,2-Di(hekziltiyo)-4,5-disiyanoibenzen (1)	52
4.1.7. 1,2,-Bis (2-asetilosietilmerkapto)- 4,5-disiyanoibenzen (2)	52
4.1.8. [Asimetrik Ftalosiyanınato] Zn(II) (3)	53
4.1.9. 1,2-Bis (hidroksietoksibenzen)	54
4.1.10. 1,2-Bis (2-kloroetoksibenzen)	54
4.1.11. 1,2-Bis (2-kloroetoksi)-4,5-dibromibenzen	54
4.1.12. 1,2-Bis (2-iyodoetoksi)-4,5-dibromibenzen	55
4.1.13. Dioksaditiya Makrosiklik Sentezi (4)	55
4.1.14. Dioksaditiya Makrosiklik Sentezi (5)	56
4.1.15. (Tetrakis-Makrosiklik-Ftalosiyanınato) Zn (II) (6)	56
4.1.16. (Tetrakis-Makrosiklik-Ftalosiyanınato) Co (II) (7)	56
4.1.17. Lutesyum Bis (Ftalosiyanın) (8)	58
5. SONUÇLAR VE YORUMLAR	59
5.1. 1,2-Bis(2-asetilosietilmerkapto)4,5-disiyanoibenzen (2)	59
5.2. [Asimetrik Ftalosiyanınato]Zn(II) (3)	60
5.3. Dioksaditiya Makrosikliği (4)	61
5.4. Dioksaditiya Makrosikliği (5)	61
5.5. Çinko (II) Ftalosiyanın (6)	62
5.6. Kobalt (II) Ftalosiyanın (7)	62
5.7. Lutesyum Bis(ftalosiyanın) (8)	62
5.8. Ftalosiyanınlerin (3,7 ve 8) UV-VIS Spektrumları	63
KAYNAKLAR	64
EKLER	74
ÖZGEÇMİŞ	93

KISALTMALAR

Pc	: Ftalosiyarin
MPc	: Metal ftalosiyarin
H₂Pc	: Serbest ftalosiyarin
LuPc₂	: Lutesyum bis(ftalosiyarin)
H₂Pc-t-tb	: Metalsiz tetra-tersiyer-butil ftalosiyarin
HREM	: Yüksek ayırmalı elektron mikroskobu
LEED	: Düşük enerji elektron difraksiyonu
DBU	: 1,8-diazabicyclo [4.3.0]non-5-en
EPR	: Elektron paramanyetik rezonans
ESR	: Elektron spin rezonans
MPc₂	: Ftalosiyarin sandviç kompleksi
Li₂Pc	: Dilityum ftalosiyarin
MPc-op-Cn	: Periferal okta-alkil-sübstitüte ftalosiyarinler
LB	: Langmuir-Blodgett film
CPc	: Crown-eter ftalosiyarin
DMSO	: Dimetilsülfoksit
DMF	: Dimetilformamid
TLC	: İnce tabaka kromatografisi
GPe	: Gel geçirgen kromatografisi
DBN	: 1,5-diazabicyclo[4.3.0]non-5-en(pyrrolidiino)[1.2:a]1,4,5,6-tetrahydropyrimidine.
HOPC	: Oldukça yönelmiş pirolitik grafit
EDTA	: Etilendiamintetraasetikasit
FAB	: Fast atom bombardment
g	: Spektroskopik yarıılma faktörü
G	: Manyetik alan
ΔH	: Çizgi genişliği
IR	: Infra-red
MS	: Kütle spektroskopisi
NMR	: Nükleer magnetik rezonans
THF	: Tetrahidrofuran
UV-VIS	: Ultraviyole/Visible
μ_{eff}	: Efektif manyetik moment.

ŞEKİL LİSTESİ

	<u>Sayfa No</u>
Şekil 2.1 : Ftalosiyantan molekülünün yapısı	4
Şekil 2.2 : Porfirin molekülünün yapısı	5
Şekil 2.3 : Ftalosiyantan alt-moleküller-ayırma resimleri	7
Şekil 2.4 : Sübstítüe olmamış metalsiz ftalosiyantan sentezi	8
Şekil 2.5 : Sübstítüe olmamış MPc sentezi	9
Şekil 2.6 : Lantanit metal sandviç komplekslerinin yapısı	10
Şekil 2.7 : Aksiyel olarak sübstítüe SiPc'lerin sentezi	12
Şekil 2.8 : Tetra-sübstítüe ftalosiyantanların sentezi	13
Şekil 2.9 : Tetra-sübstítüe ftalosiyantanların dört yapısal izomeri	14
Şekil 2.10 : 4-nitroftalonitril kullanarak tetra-sübstítüe ftalosiyantanların sentezi	15
Şekil 2.11 : Ftalik anhidrit yoluyla tetra-sübstítüe MPc'lerin Sentezi	15
Şekil 2.12 : 15-crown-5 sübstítüe'li ftalosiyantanların sentezi	16
Şekil 2.13 : Okta-sübstítüe ftalosiyantanların sentezi	17
Şekil 2.14 : Okta-siyano ftalosiyantan sentezi	17
Şekil 2.15 : Periferal olmayan okta-sübstítüe ftalosiyantanların Sentezi	18
Şekil 2.16 : Periferal olmayan okta-alkoksi-sübstítüe ftalosiyantanlar ve naftalosiyantanlar sentezi	18
Şekil 2.17 : LB tekniği için özel olarak dizayn edilmiş asimetrik ftalosiyantan türevlerinin moleküller yapısı	19
Şekil 2.18 : Karışık ftalonitriillerin siklotetramerizasyonu ile asimetrik olarak sübstítüe ftalosiyantanların sentezi	19
Şekil 2.19 : Naftalosiyantanların sentezi	20
Şekil 2.20 : Benzo-15-crown-5 içeren metalli ve metalsiz ftalosiyantanların sentezi	21
Şekil 2.21 : Crown-eter sübstítüe 4-A grubu ftalosiyantanların sentez şeması	21
Şekil 2.22 : Dört esnek -CH ₂ -O- köprüsü üzerinden crown-eter sübstítüe ftalosiyantanlar	22
Şekil 2.23 : Sekiz esnek -CH ₂ -O- köprüsü üzerinden crown-eter sübstítüe bakır ftalosiyantan	23
Şekil 2.24 : Dört S köprüsü üzerinden crown-eter sübstítüe Ftalosiyantanlar	23
Şekil 2.25 : Dört tane 16-üyeli diazadioksa-makrosiklik gruplar içeren bakır ftalosiyantan	24
Şekil 2.26 : Diazatrioksa halkaları ile sübstítüe ftalosiyantanlar	25
Şekil 2.27 : N-asetil P _c ₂ Lu ve N-kuaternize P _c ₂ Lu	25
Şekil 2.28 : Dört tane 14-üyeli tetraaza- makrosiklik içeren ftalosiyantanlar	26

Şekil 2.29	: Dört tane 15-üyeli tetraaza- makrosiklik içeren ftalosiyainler	27
Şekil 2.30	: Tetratiya sübstitüe ftalosiyainler	28
Şekil 2.31	: Herbiri 15-crown-5 ünitesine bağlanmış 4-tane 14-üyeli tetraaza makrosiklik içeren ftalosiyainler	29
Şekil 2.32	: Crown-eter içeren polimerik ftalosiyainler	30
Şekil 2.33	: Monoazacrown-eter içeren polimerik ftalosiyainler	31
Şekil 2.34	: 15-crown-5 ve monoaza-15-crown-5 içeren asimetrik ftalosiyainler	32
Şekil 2.35	: Ftalosiyainin oluşumunda bir ara ürün	33
Şekil 2.36	: Ftalosiyainin sentezinde oluşan ara ürünler	34
Şekil 2.37	: Ftalosiyainlerde halka oluşum mekanizması	34
Şekil 2.38	: Metal ftalosiyainin sentezinde izole edilebilen bazı stabil ara ürünler	35
Şekil 2.39	: 2,9,17,24-tetra-t-butil çinko(II) ftalosiyainin oluşum mekanizması	35
Şekil 2.40	: Ftalonitrilden alkoksit anyonu varlığında H ₂ Pc sentezi	36
Şekil 2.41	: Ftalonitrilden DBU varlığında H ₂ Pc oluşumu	36
Şekil 2.42	: Uzun periferal sübstituentler içeren Ftalosiyainler	41
Şekil 2.43	: Termotropik sıvı-kristal özellik gösteren sübstitüe ftalosiyainler	42
Şekil 4.1	: Asimetrik olarak sübstitüe Zn(II) ftalosiyainin	53
Şekil 4.2	: Dioksaditiya-makrohalkaları içeren ftalosiyainler	57
Şekil 4.3	: Lutesyum bis(ftalosiyainin)	58

YENİ SÜBSTİTÜE FTALOSİYANİNLERİN SENTEZİ VE ÖZELLİKLERİİN İNCELENMESİ

ÖZET

Makrosiklik ligandlar içeren koordinasyon bileşikleri bu yüzyılın başından beri bilinmekte dirler; ancak, son zamanlara kadar bu bileşiklerin sayısı ve çeşidi sınırlı idi. Porfirin, korrin ve ftalosiyanın kompleksleri doğal olarak bulunan hem, stokrom ve klorofille ilgili oldukları ve pigment ve boyalar olarak potansiyel bir kullanıma sahip olduklarıdan dolayı incelenmişlerdir.

Ftalosiyanın ilk defa bazı orto -(1,2)-disübstitüe benzen türevlerinin kimyasal dönüşümünde oldukça renkli bir yan ürün olarak gözlenmiştir. Braun ve Therniac asetik asit ve ftalonitrilden orto-siyano benzamid hazırlanması sırasında koyu çözünmeyen bir madde gözlemlenmiştirler.

Benzer olarak, de Diesback ve von Der Weid orto-dibromobenzen ile bakır siyanürün riflaks sıcaklığındaki piridin içerisindeki reaksiyonu sırasında %23 verimle oldukça kararlı mavi bir madde elde etmişlerdir. Bu yan ürünler sırasıyla serbest ve bakır ftalosiyanın olarak yorumlamışlardır. Bu ftalosiyanların yapısı çeyrek yüzyıl sonra Robertson'un X-ışını difraksiyonu analizi ve Linstead'in kapsamlı araştırmalarıyla belirlenmiştir, bundan sonra periyodik cetvelin hemen hemen tüm metal iyonlarını kullanarak çok sayıda metal ftalosiyanın hazırlanmıştır.

Son zamanlarda fotokopi makinelerinde fotoiletken madde olarak, kimyasal sensörlerde hassas element olarak, elektrokromik display aygıtı olarak, kanserin terapisinde fotodinamik maddeler olarak ve diğer tıbbi uygulamalarda kullanılmışlardır. Ayrıca optiksel bilgisayarlarla okuma-yazma diski ve ilgili bilgi depolama sistemlerinde, lazer boyaları olarak, sıvı kristallerin renkli display uygulamalarında, fotovoltaik hücre elementlerinde, sülfür akışlarının kontrolünde kataliz olarak, doymuş hidrokarbonların düşük sıcaklıkta oksidasyonunda, benzinin oktan oranının yükseltilmesinde kullanılırlar. Teknolojinin bir çok alanındaki bu potansiyel kullanımları muhtemelen etkili bir şekilde artacaktır.

Ftalosiyanler, metalftalosiyanler ve periferal olarak okta ve hekzadeka sübstitüe ftalosiyanler normal olarak uygun ftalonitril veya diiminoizoindolinlerden başlanarak sentezlenirler. Tetra ve simetrik olarak okta sübstitüe türevleri non-lieer optikte, Langmuir-Blodgett(LB) filmler olarak ve de organik yarı iletkenler olarak kullanılırlar.

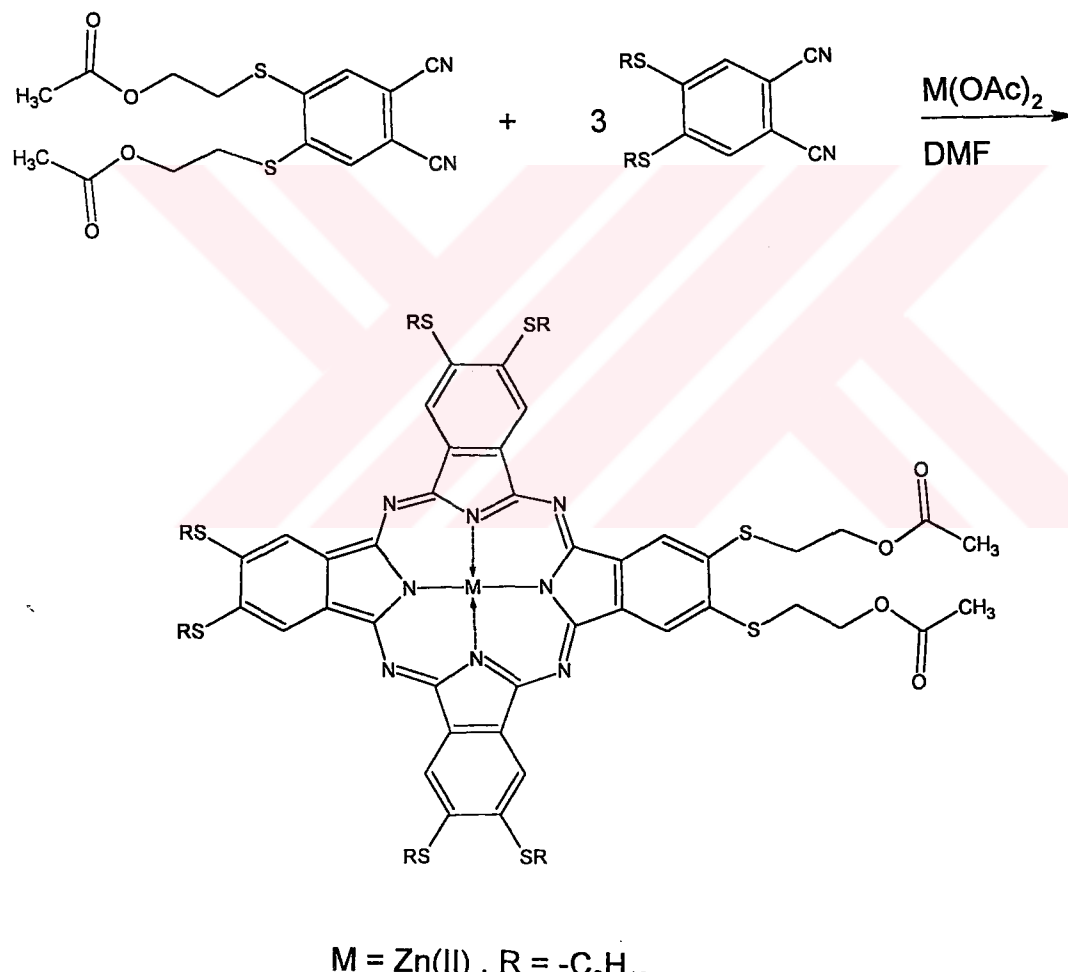
Oktasübstitüe sistemlere karşıt olarak tetrasübstitüe ftalosiyanler mono sübstitüe ftalonitril veya türevlerinden yola çıkılarak dört yapısal isomerin istatistik karışımı olarak elde edilirler. Saf izomerlerin elde edilmesi için prensip olarak iki yöntem mümkündür: İstatistik karışımının kromatografik olarak ayrılması ve tek izomerin seçici olarak sentezi.

Son birkaç yıldır diğer bir sübstitüe ftalosiyanın türü ilgi çekmiştir: farklı tür isoindolin üniteleri içeren asimetrik olarak sübstitüe ftalosiyanler. Bu bileşikler non-lineer optikte bile ilginç özellikler göstermekte ve LB filmleri için önemli

ftalosiyanların sentezi ve saflaştırılması sentez kimyacıları için hala bir problem olarak durmaktadır. Şimdiye kadar değişik gruplar tarafından geliştirilmiş üç sentez yöntemi vardır: polimer destekli yöntem, subftalosiyanın yöntemi ve istatistik kondenzasyon yöntemi. Sonuncu yöntem iyi geliştirilmiş kromatografik teknikler ve de belirli yapıda başlangıç maddelerini gerektirmektedir.

Bu çalışmanın ilk kısmında, iki asetilosietiltiyo ve altı alkiltiyo grubu içeren asimetrik olarak sübstitüe çinko ftalosiyantan sentezi ve karakterizasyonu yapılmıştır.

Asimetrik çinko ftalosiyanın 3 , 1,2-di(hekziltiyo)-4,5-disiyanobenzen 1 (3mmol) ve 1,2 -bis(2-asetilosietilmerkapto)-4,5-disiyanobenzen 2 (1mmol)'in DMF içerisinde 170-180°C 'de susuz çinko asetat varlığında istatistik kondenzasyon yoluyla elde edilmişdir (Şema 1). Bu ftalosiyanın bileşiği diğer ftalosiyanlerden mobil faz olarak önce CCl₄ / THF ve sonra kloroform kullanarak silikajel kolon 'dan ayrılmıştır. Yeni sentez edilen ftalosiyanın kloroform, diklorometan, THF, DMSO, DMF gibi organik solventlerde çözünmektektir. Yeni çinko ftalosiyanın üzerinde yapılan spektral incelemeler ileri sürülen yapıyı doğrulamaktadır.

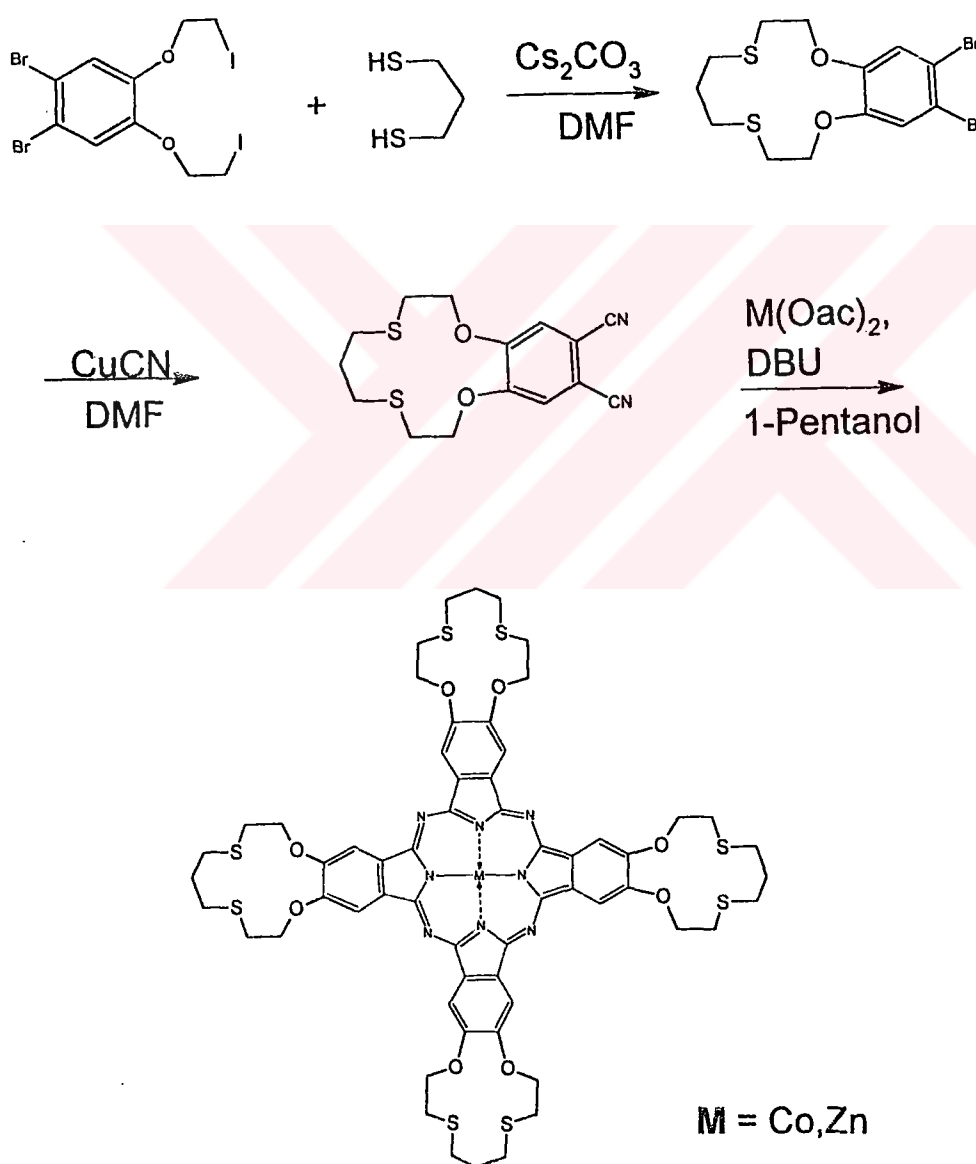


Sema 1 : Asimetrik olarak sübstitüte yeni $Z_{n(\text{II})}$ ftalosivanın sentezi

Siyano türevinden ftalosiyanın oluşumunu belirleyen özellik IR spektrumunda keskin CN titreşim bandının kaybolmasıdır. Elementel analiz sonuçları hesaplanan değerler ile uygunluk içindedir. 3 bileşığının $^1\text{H-NMR}$ spektrumu beklenen yapı için karakteristik kimyasal kaymaları vermiştir. FAB mass spektrumu $m/z = 1510$ mol

pikini vermiştir. Asimetrik çinko ftalosiyanyanın UV-görünür bölgede karakteristik Q bandı absorpsiyonu 709 nm'de ve B bandı 364 nm'de çıkmıştır.

Çalışmanın ikinci kısmında 13-üyeli simetrik dioksaditita makrosikliği ve bundan yola çıkılarak Co ve Zn ftalosiyanyanlar sentez edilmiştir. 1,2-bis(2-iyodoetoksi)-4,5-dibromobenzen ve 1,3-propanditiol'den yola çıkılarak yeni ftalosiyanyanların sentezi yöntemi Şema 2'de gösterilmektedir. 1,2-bis(2-iyodoetoksi)-4,5-dibromobenzen 1,3-propanditiol ile DMF içerisinde sezyum karbonat bazı varlığında reaksiyona sokularak 13-üyeli simetrik dioksaditita makrosikliği 4 elde edilmiştir. Bu iki fonksiyonel maddeler arasındaki halka kaynatma reaksiyonunun verimi oldukça yüksektir. Tabiki, 1:1 kondenzasyonu geliştirmek için iki başlıticının ekivalent miktarda kullanılması gereklidir. 4 bileşiği bütün çalışmalarla rağmen Cu(II) ftalosiyanyine dönüştürülememiştir. 4 bileşiğinin Rosenmund von Braun reaksiyonuyla DMF içerisinde yüksek sıcaklıkta bakır siyanür ile 12 saat muamele edilmesi ile siyano türevi 5'e dönüştürülmesi başarılı olmuştur.



Şema 2 : Periferal olarak dört tane 13-üyeli dioksaditita makrosikliği ile sübstitüe yeni ftalosiyanyanların sentezi.

4 bileşiginin 5'e dönüştüğü IR spektrumunda 640 cm^{-1} de aromatik brom bandının kaybolması ve 2238 cm^{-1} yeni CN bandının görülmesiyle açık bir şekilde ispat edilir. Spektrumun kalan kısmı 4 bileşiginin spektrumuna oldukça benzerdir. 4 bileşiginin $^1\text{H-NMR}$ spektrumunda, bekleniği gibi aromatik protonlar 7.09 ppm 'de singlet ve alifatik protonlar $4.16-2.19\text{ ppm}$ ppm'de üç triplet ve bir pentet olarak görülmüştürler. 4'ün $^{13}\text{C-NMR}$ spektrumunda bekleniği gibi aromatik protonlar $148.16-114.8\text{ ppm}$ arasında üç farklı sinyal olarak görülür. Alifatik karbon atomları simetrik yapının sonucu olarak 70.13 ve 30.53 ppm arasında dört farklı sinyal verirler. 5 bileşiginin $^1\text{H-NMR}$ spektrumu 4 bileşigininkine oldukça benzerdir. 5 bileşiginin mass spektrumunda mol piki $m/z = 320$ 'de gözlenmiştir.

Metal ftalosiyanlerin eldesi için genel sentez yöntemi uygulanmıştır. 5 bileşiginin DBU gibi kuvvetli baz varlığında 1-pentanol içerisindeki reaksiyonu monomerik ftalosiyanleri($\text{M}=\text{Zn},\text{Co}$) vermiştir. Ürünlerin verimi diğer hacimli gruplar taşıyan ftalosiyanlerde olduğu gibi düşüktür.

Ftalosiyanın 6, 7'nin tetraaza ve crown-eter sübstütüe ftalosiyanlere karşı olarak belirleyici bir özelliği çok kullanılan organik solventlerde çözünür olmamalarıdır. Sadece 7 DMSO'da belirli bir dereceye kadar çözünmektedir. 7'nin DMSO'da alınan VIS spektrumunda 674 nm. 'de kuvvetli Q bandı absorpsiyonu göstermektedir.

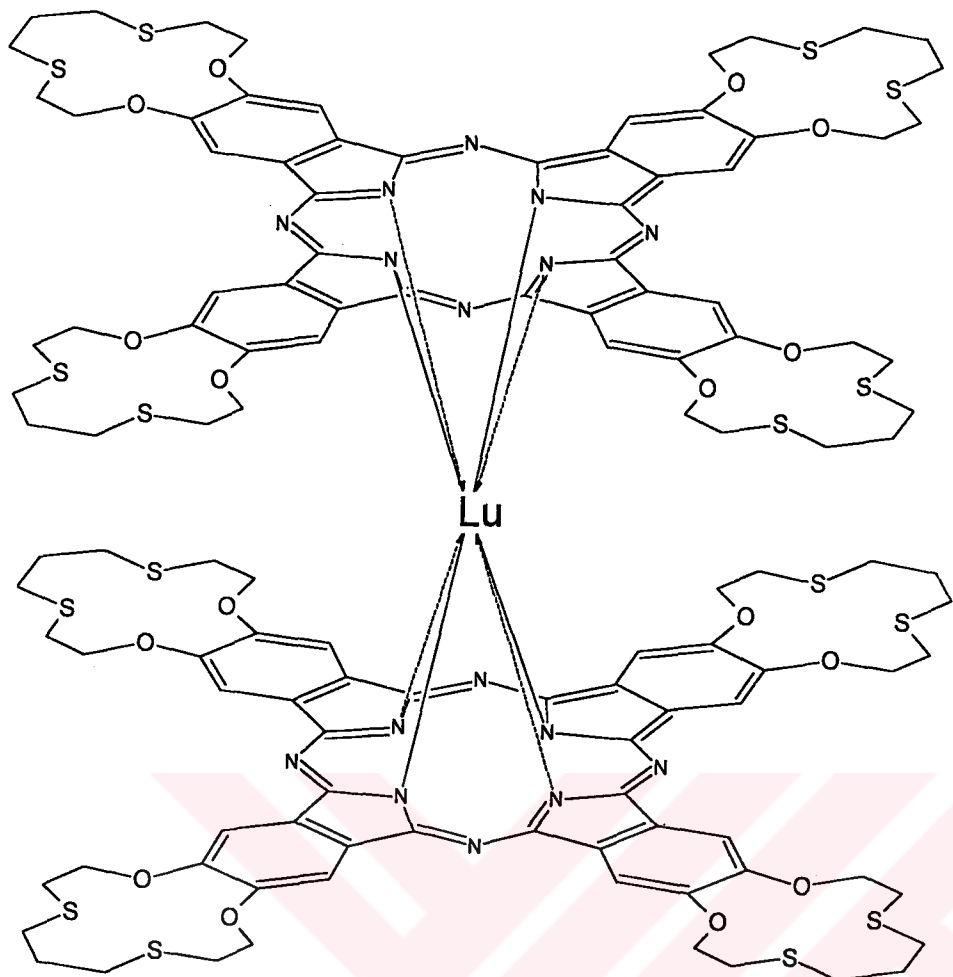
Bu çalışmanın son kısmında, lutesyum bis(ftalosiyanın) $[\text{LuPc}_2]$ 8, dinitril türevi 5'in lutesyum asetat ile 1-hekzanol içerisinde DBU gibi kuvvetli baz varlığında 20 saat riflaks edilmesiyle sentez edilmiştir (Şema 3). Bu bileşik DMSO'da çözünmektedir.

Maddenin IR spektrumunda LuPc_2 için karakteristik olan band 1465 cm^{-1} de gözlenmiştir. 8 bileşiginin paramanyetik yapıya sahip olması ve organik solventlerde çözünürlüğünün az olmasından dolayı tatmin edici NMR spektrumu vermemiştir.

8'in elektronik spektrasi 679 nm de Q bandını, 344 nm de B bandını ve radikal ftalosiyanın anyonu için karakteristik olan 340 nm de bir omuz içermektedir.

Elektron spin rezonans verisi yeşil lutesyum kompleksinin serbest-radikal yapısını doğrulamaktadır. 8'in ESR spektrumunda $g=2.007$ deki sinyal ortaklanmamış spini ve ftalosiyanının radikalik olarak bulunduğu ispat etmektedir. LuPc_2 'nin manyetik suszeptibilitesi de ölçülmüştür. 8 için etkin manyetik moment, μ_{eff} , 13.39 BM bulunmuştur.

Sonuç olarak, iki farklı yapıda ftalosiyanın sentezini başardık. Alkiltiyo ve asetiloksi-tilmerkapto zincirleri içeren ilk ftalosiyanın yaygın olarak kullanılan solventlerde çözünmektedir. Simetrik dioksaditiya makrosiklik sübstituentli ikinci ftalosiyanın çözünür değildir.



Şema 3: Lutesyum Bis(ftsatosiyinan)

THE SYNTHESIS AND PROPERTIES OF NEW SUBSTITUTED PHTHALOCYANINES

SUMMARY

Coordination compounds containing macrocyclic ligands have been known and studied since beginning of the century ; however, until quite recently, the number and variety of these compounds was limited. Complexes of porphyrins, corrins, and phthalocyanines have been investigated because of their relation to important naturally occurring species containing macrocycles such as heme, cytochromes, or chlorophyll, or because of their potential as dyestuffs or pigments.

The phthalocyanine was first observed as a highly coloured by-product in the chemical conversion of some ortho-(1,2)-disubstituted benzene derivatives. Braun and Tcherniac observed a dark insoluble material during the preparation of ortho-cyano benzamide from phthalonitrile and acetic acid.

Similarly, de Diesbach and von der Weid obtained a 23 % yield of an exceptionally stable, blue material during the reaction of ortho-dibromobenzene with copper cyanide in refluxing pyridine. These by-products are interpreted as being metal-free and copper (II) P_c , respectively. The structures of these phthalocyanines were determined only about a quarter of century later by the comprehensive researches of Linstead and x-ray diffraction analyses of Robertson, since that time, and with almost all the metal ions in the Periodic Table, numerous metal phthalocyanines have been prepared.

Recently they have been used as photoconducting agents in photocopying machines, as sensing elements in chemical sensors, as electrochromic display devices, as photodynamic reagents for cancer therapy and for other medical applications. Other applications include uses for optical computer read-write disc and related information storage systems, as laser dyes, in liquid-crystal colour display applications, in photovoltaic cell elements, as catalysts for control of sulphur effluents, for oxidizing saturated hydrocarbons at low temperature, and for increasing the octane rate of gasoline, this suggests that their potential usage in many fields of technology is likely to increase significantly.

Phthalocyanines, metal phthalocyanines, and peripherally substituted, for example tetra-, octa-, and hexadeca-substituted, phthalocyanines are normally synthesized starting from the appropriate phthalonitriles or diiminoisoindolines. Tetra- and symmetrically octasubstituted derivatives are useful compounds in nonlinear optics as Langmuir-Blodgett (LB) films as well as organic semiconductors.

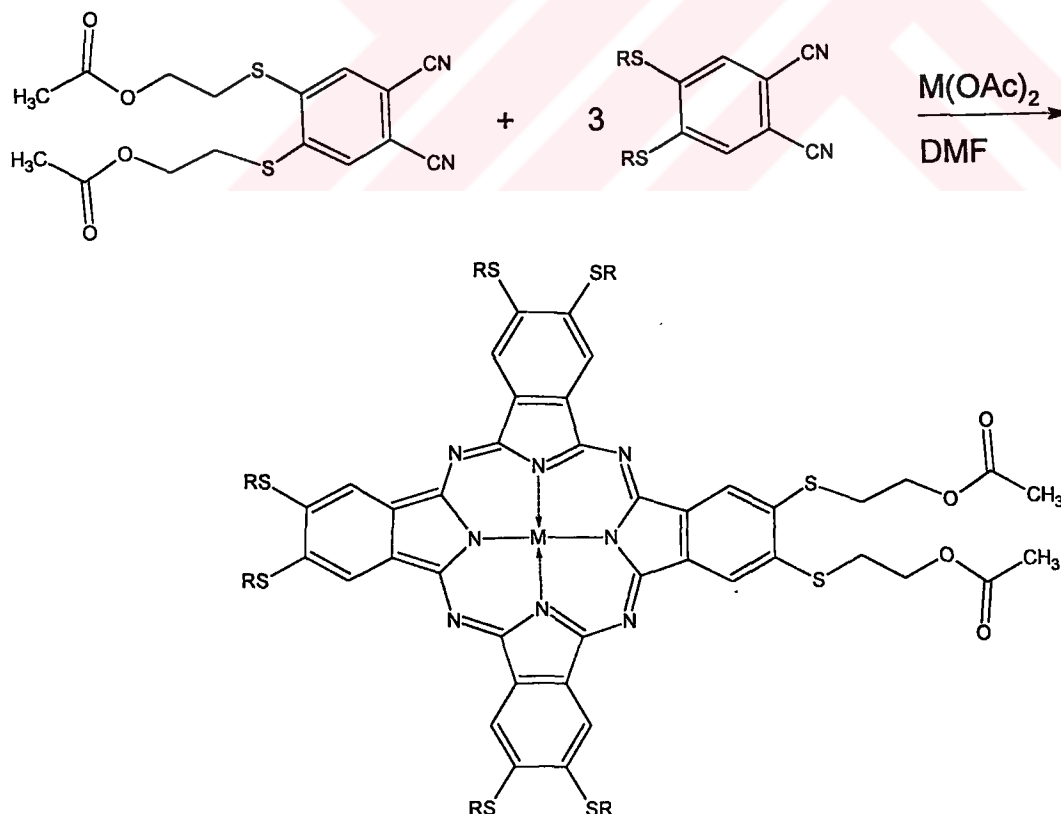
In contrast to octasubstituted systems tetrasubstituted phthalocyanines are obtained as a mixture of four constitutional isomers by statistical synthesis starting from monosubstituted phthalonitriles or their derivatives. To obtain pure isomers two methods are in principle possible: the chromatographic separation of the statistical mixture and the selective synthesis of one isomer.

In the last few years, another class of substituted phthalocyanines has attracted interest: unsymmetrically substituted phthalocyanines which contain different kinds of isoindolenin units.

These compounds also show interesting properties in non-linear optics and are important materials for LB films. Moreover their zinc and aluminyum derivatives are proposed to be well suitable for application in the photodynamic therapy of cancer. However, the synthesis and isolation of asymmetrically substituted phthalocyanines still remains a challenge for synthetic chemists. Until now three strategies have been developed by various groups to obtain them: the polymer support route, the subphthalocyanine route, and the statistical condensation route. The last one requires well developed chromatographical methods as well as definite structural preconditions of the precursor molecules.

In the first part of this work, we report on the synthesis and characterization of a new asymmetrically substituted zinc phthalocyanine containing six alkylthio and two acetoxyethylthio groups.

The asymmetrical zinc phthalocyanine **3** was obtained statistical condensation of 1,2-Di(hexylthio)4,5-dicyanobenzene **1** (3 mmol) and 1,2-bis(2-acetoxyethylmercapto)-4,5-dicyanobenzene **2** (1 mmol) in DMF at 170–180°C in the presence of anhydrous zinc (II) acetate (1 mmol) (Scheme 1). The phthalocyanine zinc compound **3** was separated from other phthalocyanines by column chromatography on silica gel with CCl_4 / THF and then CHCl_3 as the mobile phases. The newly synthesized phthalocyanine is soluble in common organic solvents, e.g. chloroform, dichloromethane, THF, DMSO, DMF etc. Spectral investigations on the new zinc phthalocyanine **3** is in accord with the proposed structure.



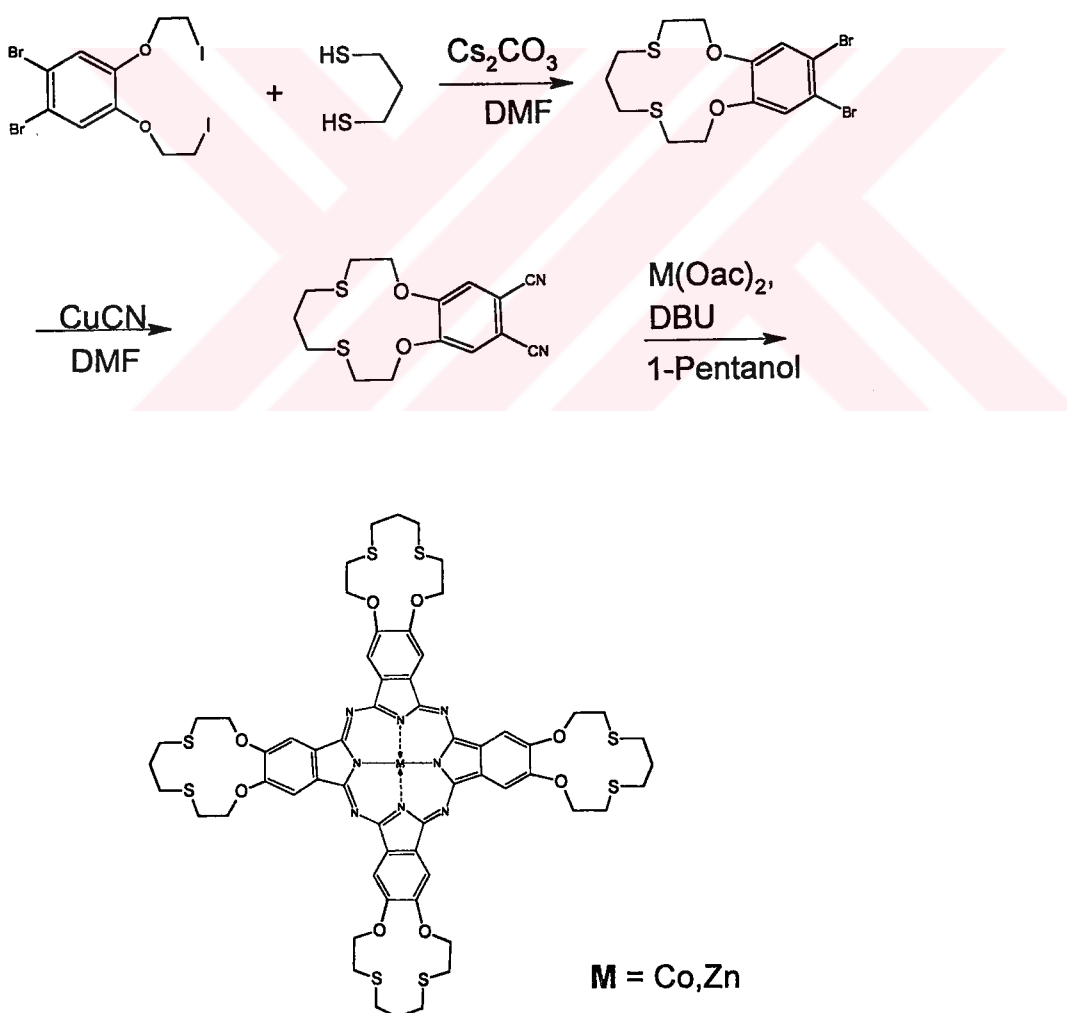
Scheme 1: Synthesis of a new asymmetrically substituted Zn (II) phthalocyanine.

A diagnostic feature of the phthalocyanine formation from the cyano derivatives is the disappearance of sharp intense C ≡ N vibration bands of the reactants in the IR spectrum.

Elemental analysis results closely follow the values calculated for C₇₆H₁₀₀N₈O₄S₈Zn. ¹H-NMR investigation 3 has provided the characteristic chemical shifts for the structure expected. The FAB mass spectrum of 3 gave the molecular ion peak at m/z=1510. The asymmetrical zinc phthalocyanine shows typical electronic spectra with two strong absorption regions, one of them in visible portion at 709 nm (Q band) and other in the UV region at 364 nm (B band).

In the second part of this work, we synthesized a 13-membered symmetrical dioxadithia macrocycle and metal phthalocyanines (M = Co, Zn) derived from it.

Starting from 1,2-bis(2-iyodoethoxy)-4,5-dibromobenzene and 1,3-propanedithiol, the general route for the synthesis of new phthalocyanines has been illustrated in Scheme 2. 1,2-bis-(2-iyodoethoxy)-4,5-dibromobenzene reacted with 1,3-propane dithiol under cesium carbonate base condions in DMF to form the 13-membered symmetrical dioxadithia macrocycle 4. The yield of this ring closure reaction between two bifunctional reactants is relatively high. Of course, it was necessary to use equivalent amounts of the two reagents to promote a 1:1 condensation.



Scheme 2: Synthesis of new phthalocyanines peripherally substituted with four 13-membered dioxadithia macrocycles.

All our efforts to convert **4** into the copper (II) phthalocyanine were unsuccessful. Conversion of **4** into the cyano derivative **5** was accomplished by the Rosenmund von Braun reaction by the treatment with CuCN in DMF at elevated temperature for 12h. Comparation of the IR spectral data of **4** and **5** clearly indicates the conversion of the aromatic bromo groups into cyano derivatives by the disappearance of the C-Br band at 640 cm⁻¹ in **4** and the apperence of a new C≡N band at 2238 cm⁻¹ in **5**. The rest of the spectrum is closely similar to that of **4**. In the ¹H-NMR spectrum (CDCl₃) of **4**, aromatic protons appear as a singlet at 7.09 ppm and aliphatic proton as three triplets and a pentate at 4.16 – 2.19 ppm as expected. ¹³C-NMR spectrum of **4** shows three different signals between 148.16 – 114.8 ppm for aromatic C-atoms as expected. As a consequence of the symmetric structure, the alifatic C-atoms also give 4 different signals between 70.13 and 30.53 ppm. The ¹H-NMR spectrum of **5** is closely similar to that of **4**. The mass spectrum of **5** gave molecular ion peak at m/z = 320.

The usual synthetic route was applied to obtain phthalocyanine metals. The reaction of **5** in 1-pentanol with the presence of a strong base such as 1.8-diazabicyclo [5.4.0] undec-7-ene (DBU) gave the monomeric phthalocyanines (M=Zn^{II}, Co^{II}). The yields of the products are low, as encountered for phthalocyanine with other bulky groups.

A common feature of the phthalocyanines **6-7** in contrast to the tetraaza-macrocycle or crown-ether substituted analogues, is their insolubility in the usual solvent. Only **7** is soluble DMSO to a certain extend. The VIS spectra of the phthalocyanine **7** in DMSO shows the intense Q band at 674 nm.

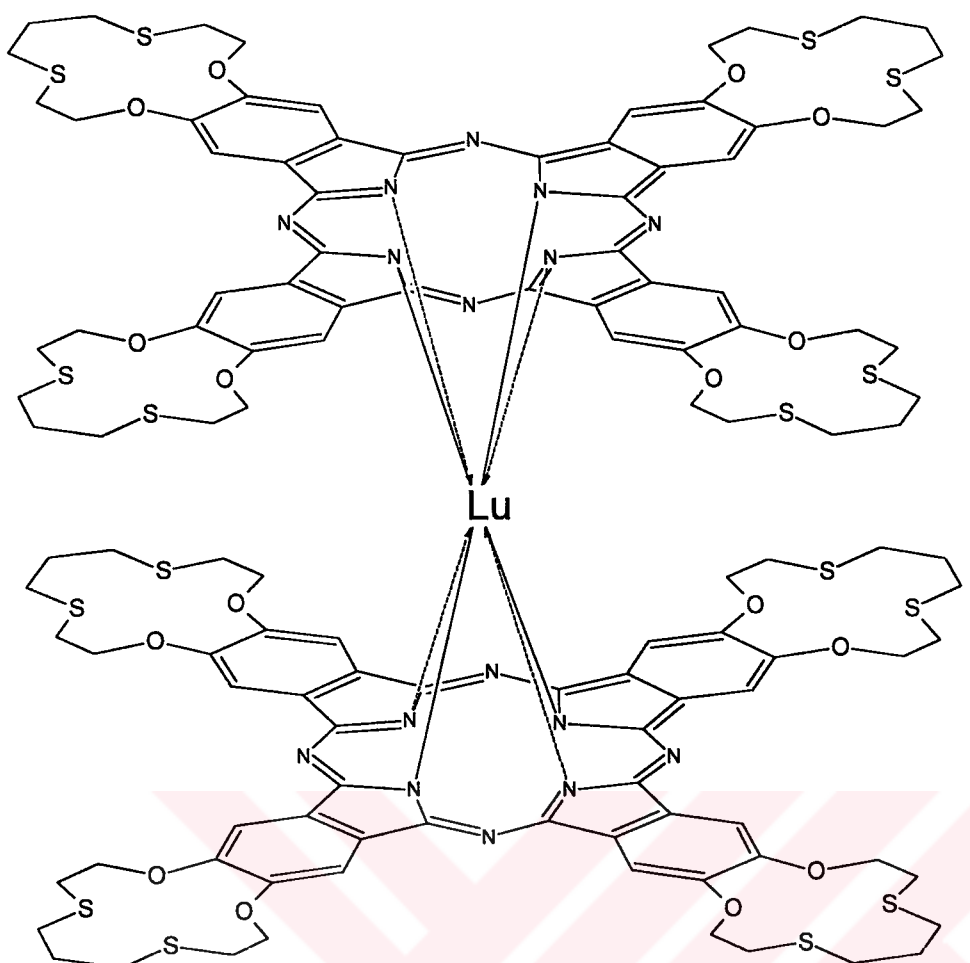
In the last step of this work, lutetium bis(phthalocyanine [LuPc₂] **8** was synthesized from reaction of dinitril derivative **5** with Lu(Oac)₃.3H₂O in the presence of 1.8-diazabicyclo [5.4.0] undec-7-ene (DBU) in 1-hexanol at reflux temperature for 20 h (Scheme 3). This compound is only soluble in DMSO.

In the IR spectrum **8**, the characteristic band of LuPc₂ at 1465 cm⁻¹ is observed. Compound **8** didn't give staticfactory NMR spectra because of its paramagnetic nature associated with unpaired electron in one of the Pc rings, and its limited solubility in common organic solvents.

The electronic spectra of **8** contained a Q band at 679 nm, a solet band 344 nm and a typical radical phthalocyanine anion band as a shoulder in the 430 nm.

Electron spin resonance data for LuPc₂ confirmed the free-radical nature of the green LuPc₂ complex. The ESR spectrum of **8**, which show a strong signal at g=2.007 confirms the presence of an unpaired spin and is consistent with the occurrence of a phthalocyanine radical. We also measured magnetic susceptibilty of **8**. The effective magnetic moment, μ_{eff} , of LuPc₂ is 13.39 BM.

In conclusion, I have accomplished to synthesize two different types of phthalocyanines. The first one with long alkyl-thio and acetoxy-ethylmercapto chains on the periphery is highly soluble in common organic solvents. The second group with four symmetrrcal dioxadithia macrocycle substituents is not soluble.



Scheme 3. Lutetium Bis(phthalocyanine)

1. GİRİŞ

Bu yüzyılın başında sentezlenen ftalosiyaniner mavi ve yeşil boyalar olarak bilinmektedir. Önemli endüstriyel ürün olan ftalosiyaniner, 1987 yılında 45.000 ton olarak üretilmişlerdir ve öncelikle mürekkep (özellikle tükenmez kalemlerde), plastiklerin ve metal yüzeylerinin ve de diğer giysilerin renklendirilmesinde kullanılmışlardır. Gelecek on yilda, ticari kullanımı daha geniş alanlara yayılacaktır.

Ftalosiyaninerin gelecekte potansiyel kullanıcıları için yapılan son çalışmalar (I) kimyasal hassaslaştırıcılarda hassas elementler, (II) elektrokromik display cihazlar, (III) kanserin fotodinamik terapisi ve diğer tıbbi uygulamalar, (IV) optiksel bilgisayarda okuma/yazma disklerindeki ve ilgili bilgi depolama sistemlerindeki uygulamaları, (V) yakıt hücresi uygulamalarında elektrokataliz, (VI) enerji üretiminde fotovoltaik hücre elementleri, (VII) lazer boyaları, (VIII) kırmızıya hassas yeni fotokopi uygulamaları, (IX) sıvı-kristal renkli display uygulamaları ve (X) moleküller metaller ve iletken polimerleri içermektedir.

Son zamanlarda ftalosiyanin kimyasının temel akademik beklentilerini keşfetmek için kurulan laboratuarların sayısı artmaktadır. Yapılan çalışmalar çözümün yeni tiplerin ve asimetrik ftalosiyaninerin sentezi, polinükleer köprü ve polimerik yapıların sentezine yeni yaklaşımların geliştirilmesi, elektronik yapıları ve redoks özellikleri, elektro ve fotokatalitik reaktivitesi üzerinde yoğunlaşmıştır. Ftalosiyanin kimyası üzerinde yapılan çalışmaların en önemli amaçlarından biri çeşitli solventlerde çözünürlüklerini artırmaktır [1].

Ftalosiyaninerin periferal pozisyonlarına hacimli grupların sübstiyonu organik solventlerde çözünürlüklerini artırmıştır. Bundan dolayı tetra ve oktasübstitüte ftalosiyaniner çok geniş bir biçimde çalışılmışlardır. Özellikle tetrasübstitüte ftalosiyaniner oktasübstituentlere nazaran daha yüksek çözünürlük gösterirler [2]. Periferal sübstiyon ftalosiyaninerin çözünürlüğünü artırması yanında spektral ve elektrokimyasal özelliklerinde etkili bir şekilde değişir [3].

Sübstitüe ftalosiyaninlerin diğer bir sınıfı, farklı türde isoindolin üniteleri içeren asimetrik olarak sübstitüe ftalosiyaninlerdir. Bu bileşikler non-lineer optikte ilginç özellikler gösterirler ve Langmuir-Blodgett film ve merdiven polimerler için önemli malzemelerdir.

Ayrıca çinko ve alüminyum türevlerinin kanserin fotodinamik terapisinde uygulamaları için uygun oldukları saptanmıştır [4].

2. GENEL BİLGİLER

2.1. Ftalosiyanyinler

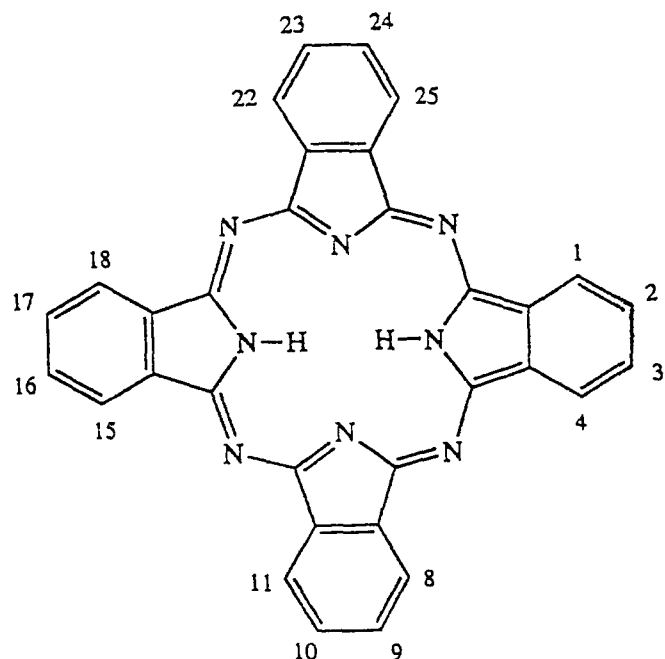
2.1.1 Ftalosiyanyinlerin Keşfi ve Yapılarının Aydınlatılması

Ftalosiyanyin olarak adlandırılan bileşik ilk olarak bazı orto-1,2-disübstitüe benzen türevlerinin kimyasal dönüşümünde oldukça renkli yan ürün olarak gözlenmiştir. Braun ve Tcherniac ftalimid ve asetik asitten orta-siyano benzamid'in hazırlanması sırasında koyu, çözünür olmayan bir madde gözlemlenmiştir. Benzer olarak De Diesbach ve Von der Weid, orto-dibromo benzen ile bakır siyanürün riflaks sıcaklığındaki piridin içerisindeki reaksiyonu sırasında % 23 verimle oldukça kararlı mavi madde elde etmişlerdir [5,6]. Hindsight bu yan ürünleri sırasıyla metalsiz ve Cu (II) ftalosiyanyin olarak yorumlamıştır.

Ftalosiyanyin yapısının tam değerlendirilmesine varan olaylar zinciri İskoçya'da 1928 yılında ftalik anhidritten ftalimidin endüstriyel olarak hazırlanmasında başlamıştır. Cam kablı reaksiyon kabındaki çatlaktan dış çelik kısma sızan reaksiyon karışımı mavi-yeşil bir maddenin oluşumuna neden olmuştur. İskoçya boyalarının iş ilgilerinden dolayı, bu madde Dandridge ve Dunsworth isimli iki çalışan tarafından incelenmiştir. Bu ikilinin ilk çalışmaları demir içeren bu yan ürünü oldukça kararlı ve çözünür olmayan pigment olarak bir potansiyele sahip olduğunu göstermişlerdir. Bu maddenin hazırlanması ve özelliklerini içeren bir patent 1929 yılında alınmıştır [7].

İmperial Kimya Endüstrileri (ICI) 1928 yılında İskoçya boyalarını satın almıştır. ICI ve Linstead arasındaki ortak çalışma ftalosiyanyinin yapısı ve bazı metal türevlerinin sentezini tanımlayan altı makalenin Journal of the Chemical Society'de yayınlanmasıyla son noktaya ulaşmıştır [8-12].

Linstead serbest ftalosiyanyinin doğru yapısına ulaşmak için elementel analiz, ebiliyoskopik moleküler kütle belirlenmesi ve yüksekgeyici parçalanmayı (ftalimid verir) içeren bir kombinasyonu kullanmıştır (Şekil 2.1).



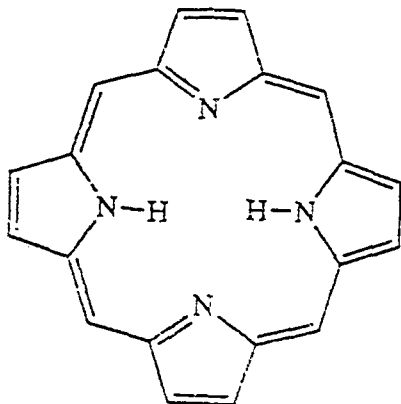
Şekil 2.1: Fталосианın molekülüün yapısı.

Fталосианın çeşitli metal iyonlarının girmesini sağlayan uygun büyüklükte merkezi kaviteye sahip 4-iminoisoindolin ünitesinden oluşmuş simetrik bir makrosikliktir. Bu yapı daha sonra X-ışını difraksiyonu teknikleriyle ispatlanmıştır.

Fталосианın yapısı doğal olarak bulunan porfirin halka sistemine oldukça benzerdir, farklılıklar 4-benzo-alt üniteleri ve meso pozisyonunda bulunan dört azot atomudur (Şekil 2.2). Bu yüzden Fタルосианın genellikle tetrabenztetraaza porfirin olarak adlandırılır.

Yapısal tanımlamaya ilave olarak Linstead'ın ftalonitril'den Fタルосианların hazırlanması ile ilgili deneysel detayları içeren ilk çalışmaları hala Fタルосиyanın sentezi için en iyi başlangıç maddesi olarak gözönünde bulundurulmaktadır.

İmperial Kolej'de ikinci dünya savaşına kadar devam eden Fタルосиyanın araştırma programı, naftタルосиyanların sentezini, 24 farklı metal iyonu ile kompleks yapabilen Fタルосиyanların gerçekleştirilmesi, heterosiklik birimler içeren 1,2-disiyano türevlerinden Fタルосиyanın analoglarının sentezini ve Fタルосиyanın halka sistemleri ile porfirin arasındaki ilişkinin incelenmesini içermekte idi.



Şekil 2.2: Porfirin molekülünün yapısı.

2.1.2. Ftalosiyanyanların Adlandırılması

Şekil 2.1 Pc halka sisteminin kabul edilen numaralandırılmasını göstermektedir. Makrosiklik sübstansiyon için benzen üniteleri üzerinde 16 tane uygun yer vardır. 2,3,9,10,16,17,23,24 numaralı karbon atomları periferal ve 1,4,8,11,15,18,22,25 numaralı karbon atomları periferal olmayan (np) yerlerdirler. t-kısaltması genellikle dört izomerden oluşan periferal olarak tetra-sübstansiyon bir Pc'yi ifade eder. Örneğin metalsiz tetra-tersiyer-butil Pc, H₂Pc-t-tb olarak kısaltılır. Makrosiklige bağlanmış olan sübstansiyentler Pc kısaltma formundan sonra yer alırlar. Bir sentez yöntemi kurulmasına rağmen, periferal olmayan tetra-sübstansiyon Pc'lerin madde özellikleriyle ilgili rapor yoktur [13]. Buna karşı olara, periferal ve periferal olmayan sübstansiyentlerin her ikisinde taşıyan okta(o)-sübstansiyon ftalosiyanyanlarından oluşmuş önemli maddeler vardır ve bunlar sırasıyla O_p ve O_{np} kısaltmaları ile gösterirler. Örneğin 1,4,8,11,15,18,22,25-oktaheksiftalosiyanyanatoNikel(II), NiPc-onp-C₆ olarak kısaltılır ve C₆ her biri altı karbon atomu içeren sekiz periferal olmayan alkil sübstansiyentini gösterir (örneğin hekzil, -C₆H₁₃).

Merkez metal atomuna bağlı her aksiyel ligand kısaltılmış yapıdaki iyondan önce yer alır. Örneğin 2,3,9,10,16,17,23,24 oktadodesilosiftalosiyanyanatosilisyum (IV) dihidroksit, a-(HO)₂SiPc-onp-OC₁₂ olarak kısaltılır.

2.1.3. Pc Molekülünün Fiziksel Yapısı

Ftalosiyanyanların dikkate değer kararlılığı, moleküler fizikte birçok dönüm noktası deneylerde kullanılmasına sebep olmuştur. Ftalosiyanyanlar çoğu yeni deneysel teknikler için, orijinal teknik geliştirmekten kullanılan kristal inorganik malzemeler

(örneğin metaller ve iyonik kristaller) ile bunların moleküler malzemelere uygulamaları arasındaki boşlukta bir köprü vazifesi görürler.

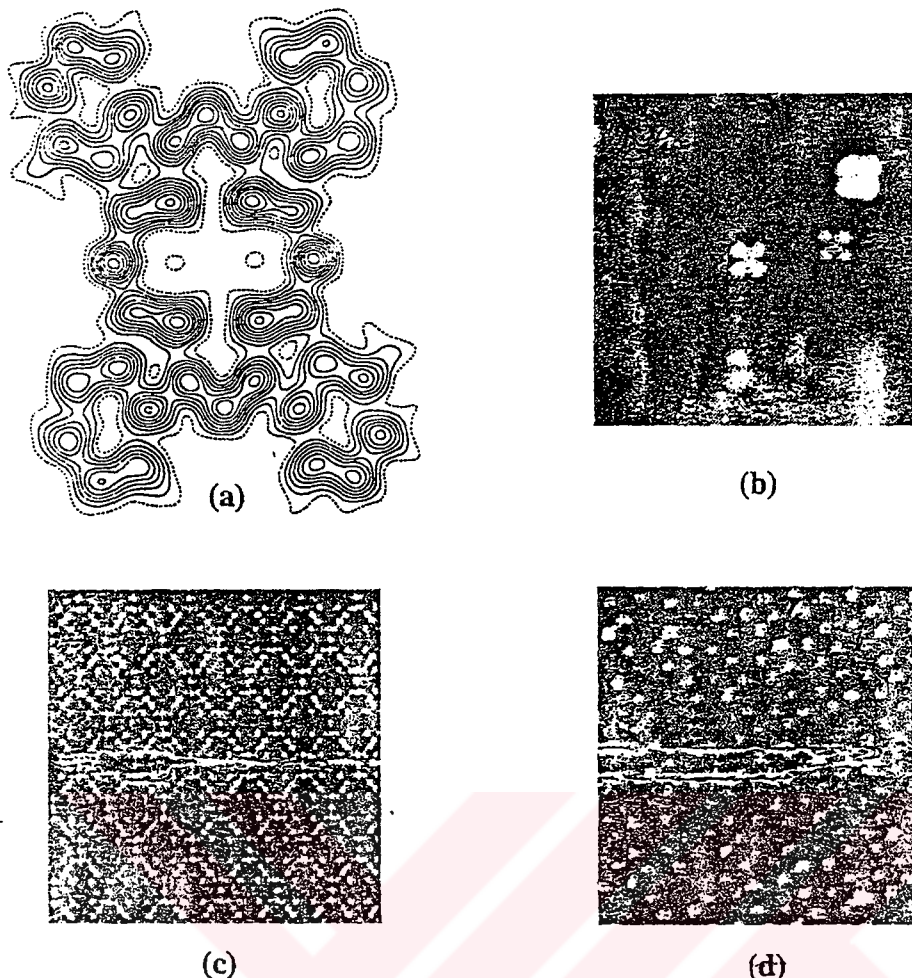
Linstead H_2Pc ve çoğu MPc'lerin vakumda süblimasyonla büyük single kristal oluşturarak saflaştırılabileceklerini göstermiştir. Robertson bilinen organik moleküllerin kristal yapıda düzenlenmeleri belirlemek için teknikler geliştirmiştir. Ftalosiyaniner, planar aromatik hidrokarbon olan naftalen ve antrasenin single kristal çalışmalarından elde edilen Robertson teknikleri ile oldukça uygunluk içindedirler [14]. Böylece H_2Pc kesin olarak direk X-ışını analiz sonucu veren ilk organik yapı olmuştur [15]. Elde edilen yapılar Linstead tarafından ileri sürülen yapıyı doğrulamış ve aromatik karakterden dolayı Pc π - elektron sisteminin elektronik delokalizasyonunu göstermiştir (Şekil 2.3a).

Müller alan-emisyon mikroskopunu kullanarak ilk defa direk resmini rapor etmiştir [16]. Vakumda ve sıvı azot sıcaklığında bulunan iyi bir platin elektrot üzerine süblime edilen CuPc molekülleri, yüksek voltajda floresanlı ekran üzerine bir model vermişlerdir. Molekülün klasik “dört yaprak yonca” biçimini resimden kolaylıkla ayırt edilebilir (Şekil 2.3b). Detaylı kristallografik yapı tesbiti için uygun olan ve genellikle daha uygulanabilir direk resim tekniği, yüksek ayırmalı elektron mikroskopudur (HREM).

Uyeda ve çalışma grubu klorlanmış Pc 'nin ilk HREM moleküler resmini elde etmiştir [17]. Bu bileşigin beklenmedik kararlılığı, benzer yüksek ayırmalar için gerekli olan kuvvetli elektron ışığı ile maddenin yapısının parçalanmasından önce resminin alınmasını sağlamıştır. Son olarak, minimum-poz teknikleri ftalosiyanın filmlerinde moleküllerin düzenlenmelerinin süper resimlerini sağlamıştır (Şekil 2.3c) [18].

Son zamanlarda geliştirilen elektron mikroskopu tekniğide metal yüzeylere absorbe olmuş bazı ftalosiyaninerin ilgi çekici moleküler resimlerini vermiştir (Şekil 2.3d) [19,20]. Bu resimler filmlerin yapı belirlenmesi için faydalıdır. İlave olarak, metal yüzeylerine süblime olmuş ftalosiyaniner, düşük-enerji elektron difraksiyonu (LEED) ile organik maddelerin ilk incelemelerinin biri için seçilmiştir [21].

Kristal ftalosiyaniner kullanarak organik malzemelerin ilk elektronik iletkenlikleri çalışılmıştır. Ftalosiyaniner hala en iyi çalışılmış moleküler elektronik malzemeler olma özelliklerini devam ettirmektedirler.



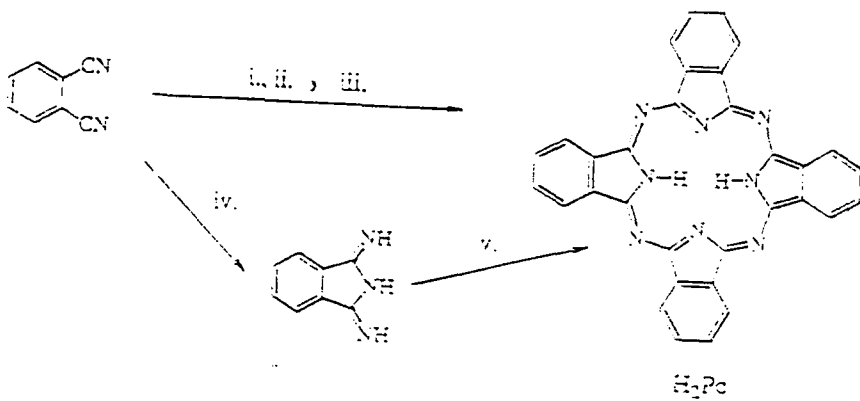
Şekil 2.3: Fталосиyanın alt-moleküler-ayırma resimleri ; a) Robertson'un H_2Pc için elde ettiği elektron yoğunluk haritası, b) $CuPc$ 'nın alan-emisyon mikroskopu resmi c) Kloro- $CuPc$ 'nın yüksek-ayırmalı elektron mikro grafiği d) Sublime $CuPc$ filminin elektron mikroskopu ile alınan resmi.

2.1.4. Fタルосиyanın Sentezi

Fタルосиyanın sentezinin en önemli kısmı, yan ürünleri ve reaksiyona girmemiş başlangıç maddelerini uzaklaştırmak için dikkatlice yapılan saflaştırma yöntemini içerir. Sentez sırasında bilmeyerek ilave edilen metal-iyonu safsızlıklarını Fタルосиyanın maddelerinin elektronik davranışlarını etkiler. Bu yüzden ultra-saf Fタルосиyanların hazırlanması için uygun metodlar tanımlanmıştır.

2.1.4.1. Substitüe Olmamış Metalsiz Fタルосиyanların Sentezi

Çok sayıda orto-disubstitüe benzen türevleri Pc başlangıç maddesi olarak davranışabilmektedirler, fakat çoğu sentez laboratuarlarında ftalonitril (1,2-disilyanobenzen) kullanılır (Şekil 2.4).



Şekil 2.4: Sübstitüe olmamış metalsiz ftalosiyanyan sentezi ; i.) Lityum, pentanol ve hidroliz, ii.) Hidrokinon ile eritme, iii.) DBU ile pentanol'de kaynatma, iv.) NH₃, NaOCH₃, metanol, v) Yüksek kaynamalı alkolde riflaks

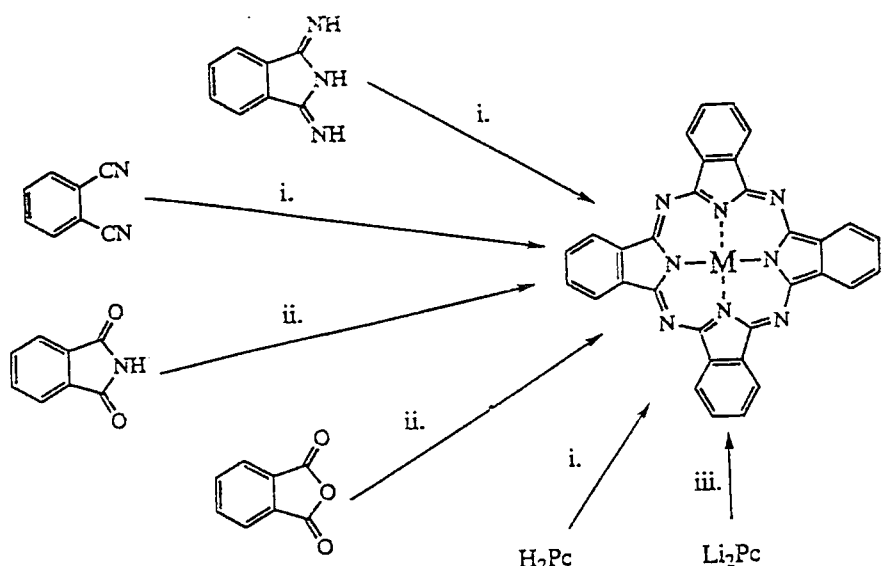
Ftalonitrilin siklotetramerizasyonu ile H₂Pc hazırlanmasıyla ilgili birçok metod vardır [22]. Buna ftalonitrilin amonyak ile reaksiyonundan diiminoisoindolin oluşumu dahildir. Diiminoisoindolinin metalsiz ftalosiyanyan vermesi daha ılımlı koşullarda gerçekleşir [23].

Ftalonitrilin hidrokinonun erime noktasındaki siklotetramerizasyonu ile de H₂Pc elde edilir [24]. Benzer olarak, 1,8-diaza bicyclo [4.3.0] non-5-en(DBU) gibi nükleofilik olmayan engellenmiş baz, ftalonitrilin erime noktasında veya pentanol çözeltisinde siklotetramerizasyonu için etkili maddedir [25]. İlave olarak, serbest ftalosiyanyan ftalonitrilin pentanol içerisinde çözünmüş lityum metali çözeltisi ile riflaks edilmesiyle elde edilir [26].

H₂Pc ticari kaynaklardan elde edilebilir, elektronik çalışmalar için H₂Pc'nin kristalize edilmiş ftalonitril ve hidrokinonun PTFE kuarz (metal iyonu kirliliğini camdan uzaklaştırılması için) reaksiyon kabından elde edilmesi tavsiye edilir [24]. Çözünür olmayan H₂Pc, soksilet ekstraksiyonu kullanarak çeşitli solventlerle yıkanmasıyla ve son olarak tekrar süblimasyon ile saflaştırılır. Metal iyonu safsızlıklarının seviyesi elektron paramagnetik resonans (EPR) spektroskopisi ile ölçülebilir. Fakat bu malzemeler geniş ölçüde MPc safsızları içerirler ve bu safsızlıklar süblimasyonla uzaklaştırılamazlar.

2.1.4.2. Metal İyonu İçeren Sübstitüe Olmamış Pc'ler (MPc)

Çoğu basit MPc'ler, siklotetramerizasyon için template etki gösteren metal iyonu kullanarak ftalonitril veya diiminoisoindolin'den direk olarak elde edilir (Şekil 2.5).



Şekil 2.5: Sübstitüe olmamış MPc sentezi ; i.) Metal tuzu ile yüksek kaynamalı solventte ısıtma ii.) Üre ve metal tuzu ile yüksek kaynamalı solventte ısıtma iii.) Metal tuzu ile etanolde ısıtma.

İlave olarak, ftalik anhidrit ve ftalimid metal tuzu (örneğin, bakır (II) asetat veya nikel (II) klorür) ve azot kaynağı (üre) varlığında bir başlatıcı olarak kullanılabilirler. Alternatif olarak, uygun metal iyonunun H_2Pc veya Li_2Pc ile reaksiyonundan metal ftalosiyaniner elde edilir. Ne yazık ki, H_2Pc 'lerin çoğu organik solventlerde çözünür olmaması, metallenmenin tamamlanmasını sağlamak için kinolin veya klornaftalen gibi yüksek kaynamalı aromatik solventlerin kullanımını gerektirir. Li_2Pc kompleksinin aseton ve etanolde çözünmesinden dolayı metalli ftalosiyanin sentezi için kullanılması daha yararlıdır ve çözünür olmayan metal ftalosiyanin ürünü, metal-iyon-yer değiştirme reaksiyonu tamamlanmasıyla kolayca elde edilir.

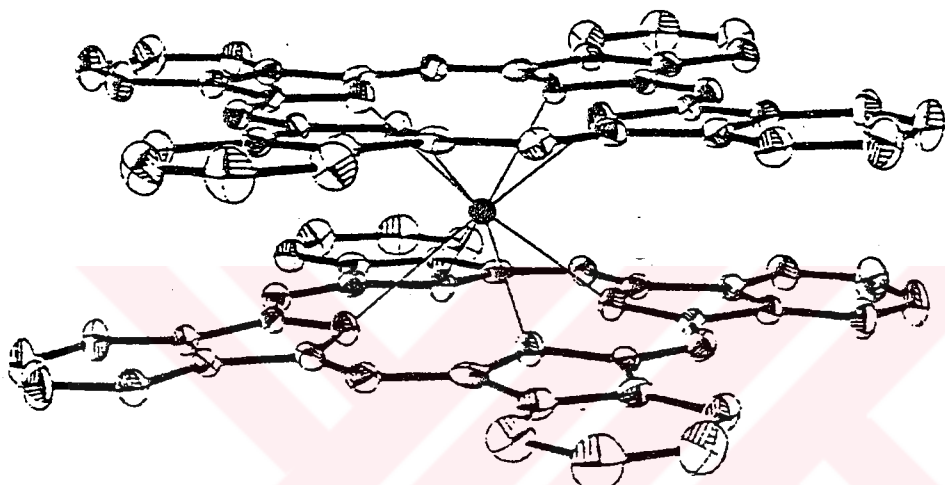
Ticari olarak elde edilebilen metal ftalosiyaninerin çoğu elektronik çalışmalar için yeterince saf değildir.

Saf Ni-ftalosiyanin hazırlanması üzerine son zamanlarda yapılan çalışmaların esası, istenilen metal ftalosiyaninin, saf metal tuzunu içeren kinolin:1-klornaftelen (1:10) karışımı içerisinde serbest ftalosiyanin riflaks sıcaklığında çözülmesiyle elde edilebileceğini göstermektedir [24]. Metal ftalosiyanin safsızlıklarını uzaklaştırmak için reaksiyon kuarz yada PTFE'den yapılmış kap içerisinde yürütülmelidir. İstenilen metal ftalosiyanin, daha önce serbest ftalosiyanin için tanımlanan süblimleşme ve yıkama yoluyla saflaştırılır. Ard arda süblimasyonu kullanan kesin bir saflaştırma metodu, optoelektronik çalışmalarında kullanılan ftalosiyanin malzemeleri için tavsiye

edilmiştir. Bu proses H₂Pc, PbPc, CuPc, MgPc ve a-OvPc için etkili olduğu ispatlanmıştır.

2.1.4.3. P_c Sandviç Kompleksleri (MPc₂)

Lantanid (nadır toprak metalleri) metal iyonları (örneğin Lu⁺³) iki ftalosianin halkası içeren kompleksler oluştururlar. Sandviç kompleksler olarak adlandırılan bu bileşikler kararlı nötral radikal durumları ve sıkı bağlı iki ftalosianin halkası arasındaki elektronik etkileşimden dolayı ilginç elektronik özelliklere sahiptirler (Şekil 2.6).



Şekil 2.6: Lantanid metal sandviç komplekslerinin yapısı.

İlave olarak, bunlar çoğunlukla elektrokromik ftalosianin malzemeler olarak çalışılmışlardır. Sandviç kompleksler ftalonitril ile uygun lantanid asetat tuzunun erime reaksiyonuyla hazırlanabilirler. Saf olmayan ürün karışımı metal tuzu, metal ftalosianin, serbest ftalosianin ve bazı triftalosianin kompleksini (M₂Pc₃) bile içerir. Süblimasyon ile yapılan saflaştırma kısmi başarılı olmasına rağmen örnek hala serbest ftalosianin safsızlığını içerir. Çok kullanılan organik solventlerde çözünür olmalarından dolayı, kromatografik saflaştırma ve önceki süblimasyon istenilen sandviç kompleksini, M₂Pc₃ ve serbest ftalosianin yan ürünlerinden ayırrı.

2.1.4.4. Aksiyel Olarak Sübstitüe Ftalosianinler

Aksiyel ligandların metal ftalosianinin metal iyonuna bağlanması mümkündür. Aksiyel sübstitusyon çözünürlüğü artırılabilir ve yüzey-yüzey inter moleküller etkileşimi azaltır, buda ilginç optiksel ve optoelektronik özelliklere sahip malzemeleri oluşturur. Genel olarak kovalent olarak bağlı aksiyel ligandlar merkez

metal iyonlarını +3 veya +4 oksidasyon kademesinde olmasını isterler. Aksiyel olarak sübstítüe çok sayıda SiPc, GePc ve SnPc türevleri vardır. İlave olarak uygun ligandlar (örneğin piridinler) çok sayıda merkez metal iyonları ile koordinasyon bağları yaparlar [28]. Bu, metal ftalosiyaninerin piridin ve kinolin içerisinde çözünürlüğünün artmasını açıklar.

2.1.4.5. Okso-Titanyum (IV)Pc ve İlgili Bileşikler

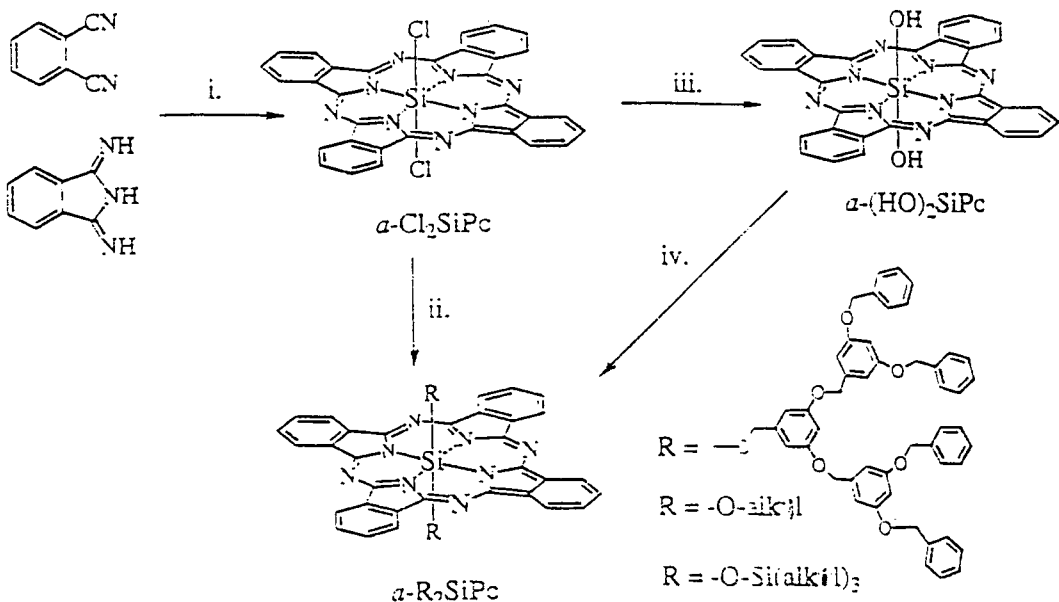
Foto iletken olarak ticari öneme sahip olan okso titanyum, a-OTiPc, ftalonitril veya diiminoizoindolinin titanyum üç klorür ile reaksiyonunu takip eden hidroliz ve eş zamanlı olarak sonuç a-CITiPc kompleksinin oksidasyonu yoluyla hazırlanır [29]. Benzer metod ilgili a-OVPc kompleksinin hazırlanmasında kullanılabilir. Çok çalışılmış a-ClAlPc kompleksi ftalonitril ve alüminyum klorür arasındaki benzer reaksiyonla hazırlanır. Bu bileşliğin sulu asit veya baz ile hidrolizi a-HOAlPc'yi verir.

2.1.4.6. Aksiyel olarak sübstítüe SiPc, GePc, SnPc ve Benzo Sübstítüe Ftalosiyaniner

Ftalonitril veya diiminoizoindolinin silisyumtetraeklorür varlığında siklotetramerizasyonu a-Cl₂SiPc verir. Sulu sodyum hidroksitle hidrolizi ara ürün başlatıcısı olan a-(HO)₂SiPc'yi verir [30]. A-Cl₂SiPc ve a-(HO)₂SiPc'nin alkoller, alkil halojenürler ve klorosilanlar ile aksiyel sübstítüsyon reaksiyonları çok sayıda ilginç malzemeler verirler (Şekil 2.7) Bu kompleksler çok kullanılan organik solventlerde artan çözünürlük gösterirler. İki farklı aksiyel sübstítuent ile farklı şekilde sübstítüe olmuş SiPc'ler hazırlanabilir. İlave olarak, (HO)₂SiPc'nin kontrollü dehidratasyonu oksijen köprü atomları ile bağlı eş-yüzeyli dimerik veya oligomerik SiPc'ler verir [31]. Bu oligomerik kısımlar, terminal SiPc birimlerinin aksiyel sübstítüsyonuyla organik solventlerde çözünürlüğün artmasına yardımcı bulunabilirler.

İlave olarak, bu sentez tekniği aksiyel olarak sübstítüe naftalosiyaninerin hazırlanmasında uygulanmıştır. Son zamanlarda aksiyel olarak sübstítüe bazı SiPc'ler ve SiNPc'ler ticari olarak elde edilebilirler. Aksiyel olarak sübstítüe GePc ve SnPc analog kimya kullanarak başarılıabilir [32].

Benzo sübstítuentleri içermeyen H₂Pc ve MPc'ler çok kullanılan organik solventlerde genellikle çözünür değildir (bazı istisnalar Li₂Pc, MgPc ve aksiyel olarak sübstítüe Pc'lerdir).



Şekil 2.7: Aksiyel olarak sübstitüe SiPc'lerin Sentezi ; i.) SiCl_4 ile yüksek kaynamalı solventte ısıtma, ii.) Uygun alkol ile reaksiyon, iii.) Asidik veya bazik ortamda hidroliz, iv.) Uygun alkil veya silil klorür ile reaksiyon

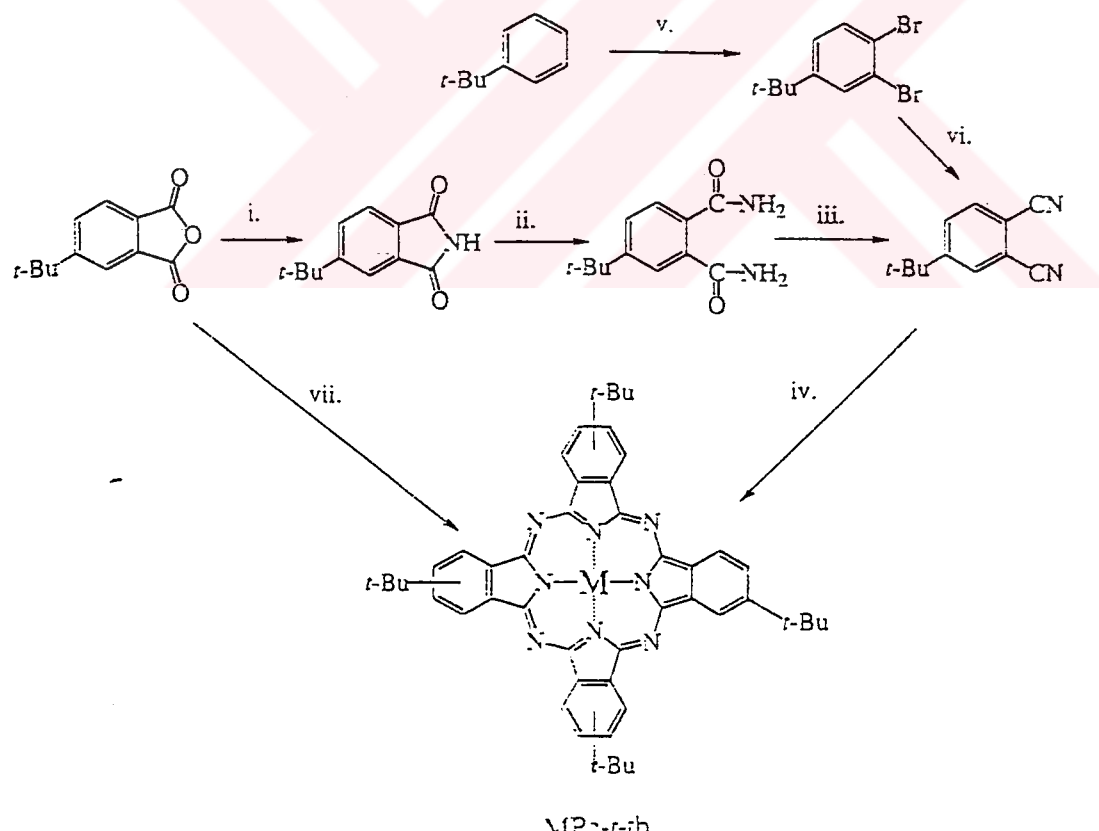
Sadece protonlanmış formlar olarak derişik sülfürik asitte, veya 1-klornaftelen gibi yüksek kaynamalı organik solventlerde ısıtma ile çözünürlükleri Pc halkasındaki periferal ($p = 2,3,9,10,16,17,23,24$) ve periferal olmayan ($np = 1,4,8,11,15,18,22,25$) benzo kısımlarında sübstituentlerin yer almasıyla büyük ölçüde artırılabilir. Halkanın uygun sübstitüsyonu sıvı kristal ve diğer kendiliğinden -sıralanan madde türevleri oluşturur veya ftalosianının sisteminin elektronik özelliklerini değiştirir.

Organik bileşiklerin saflaştırılmasında kullanılan kromatografi ve kristallendirme gibi sıradan metodlar çözünür ftalosianlere uygulanabilir. İlave olarak, $^1\text{H-NMR}$ gibi çözelti üzerine kurulmuş tekniklerle saflık ve rutin yapı tayini başırlabilen.

Çoğu durumlarda, sübstitüe ftalosianın istenilen sübstituentleri taşıyan bir ftalonitril türevinden hazırlanır. Böylece, sentetik yol sübstitüe ftalonitril başlatıcısının sentezlenmesidir. Ticari olarak boyalar ve pigmentler olarak kullanılan sırasıyla sulfolanmış ve halojenlenmiş türevleri buna dahil değildir. Bunlar, önceden hazırlanmış Pc halkasının direk sübstitüsyonu (genellikle bir aromatik elektrofilik mekanizmasıyla) ile hazırlanırlar ve farklı derecelerde sübstitüsyon ürünleri karışımını verirler [33]. Genellikle, saf olmayan karışımın madde özellikleri incelenmemiştir.

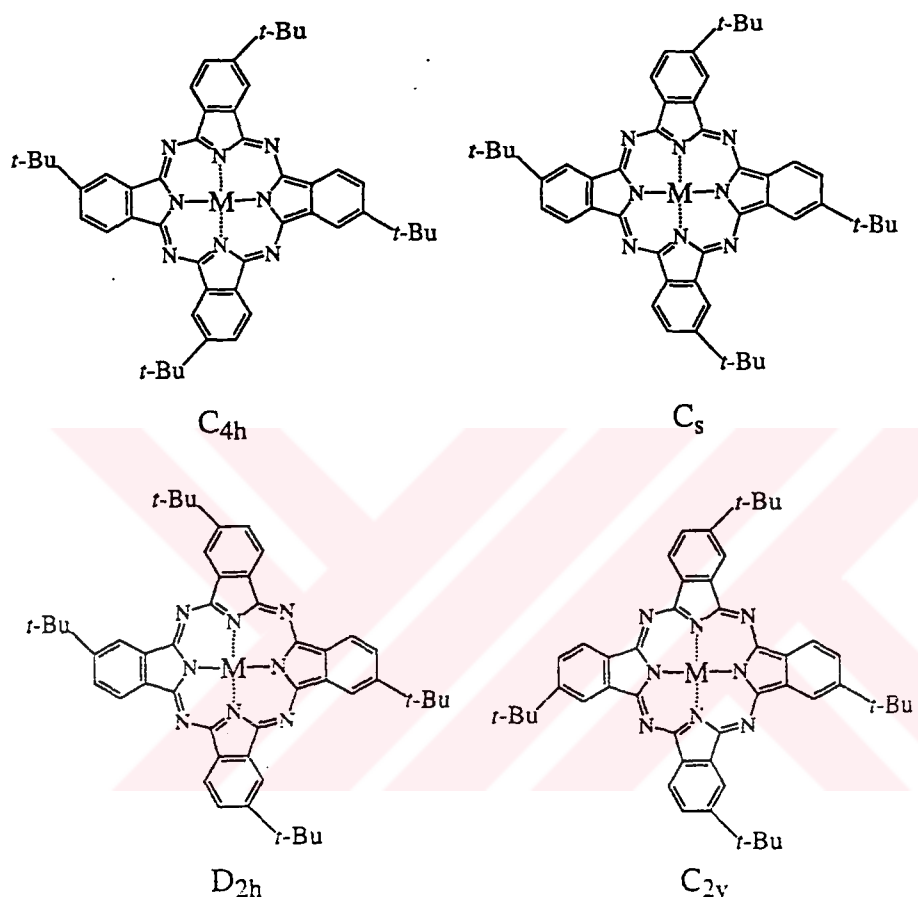
2.1.4.7. Tetra-Substitüe Ftalosianinler

Tetra-tersiyer-butil Pc, çok kullanılan organik solventlerde çözünür olmalarından dolayı en çok çalışılan Pc türevlerinden biridir. Organik solventlerde çözünürlüğü dört hacimli sübstiyent sağlar. İlave olarak, tersiyer butil gruplar, ftalosianin sisteminin çözelti elektrokimyası ve görünür absorpsiyon spektrumu gibi elektronik etkiye sahiptirler. Bu yüzden, tetra-tersiyerbutil metalftalosianin sübstiyte olmamış ftalosianinler için iyi çözünen bir modeldir. İlk defa bir Rus araştırma grubu tarafından sentez edilmiştir ve bu sentezin genişletilmiş hali rapor edilmiştir (Şekil 2.8 i-iv) [34,35]. Tersiyer butil benzenden başlayarak ftalonitril başlaticısının hazırlanmasındaki alternatif sentetik yol tanımlanmıştır (Şekil 2.8 v-vi) [36]. İlave olarak, tersiyer-butil metalftalosianin kompleksleri tek kademe ile elde edilebilirler (Şekil 2.8 vii) [37]. Bu sisteme ilgiden dolayı, 4-tersiyer butil ftalonitril, tetra-tersiyer serbest ftalosianin ve çok sayıda metal türevleri ticari olarak elde edilebilirler.



Şekil 2.8: Tetra-substitüe ftalosianinlerin sentezi ; i.) Üre, ısıtma, ii.) Amonyak, iii.) PCl_5 ile dehidratasyon, iv.) Siklotetramerizasyon, v.) Bromlama, vi.) CuCN , DMF, riflaks, vii.) Metal tuzu ve üre ile eritme.

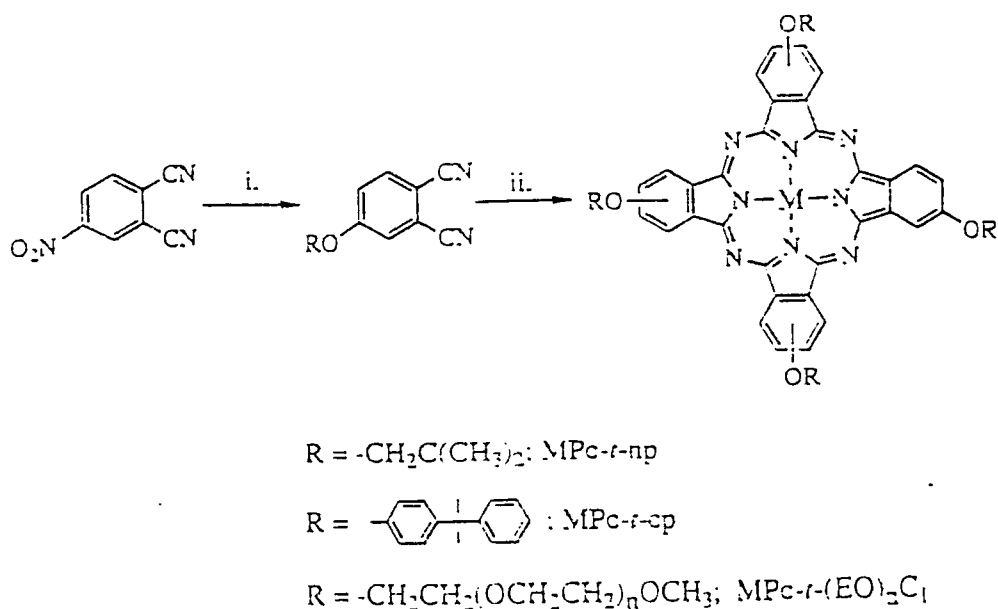
Genel olarak, tetra-tersiyer-butil metalftalosiyanın gibi tetra-sübsitüte ftalosiyanınlar D_{2h} , C_{4h} , C_{2v} ve C_s simetrisinin dört regioisomerleri karışımı olarak hazırlanırlar (Şekil 2.9.). Bu izomerler kromatografik teknikler kullanılarak ayrılmaları başarılıabilir [38,39]. İzomerlerin varlığı kristal yapı sırasının bozulmasına sebep olur ve böylece çözünürlük artar; ancak kristal sıranın bozulması ince film oluşumu için bir dezavantajdır.



Şekil 2.9: Tetra-sübsitüte ftalosiyanınların dört yapısal isomerleri.

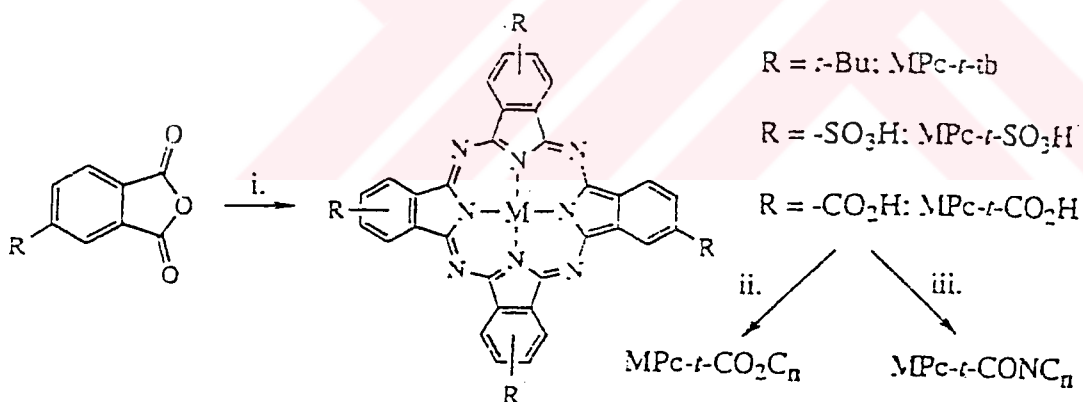
Isomerik karışımlar, 4-tersiyer-butil ftalonitril gibi asimetrik başlaticıların siklotetramerizasyonu sırasında hazırlanırlar, halbuki simetrik 3,6 ve 4,5 disübsitüte ftalonitriller tek-isomer olan okta-sübsitüte ftalosiyanın ürünlerini verirler.

Tetra-sübsitüte ftalosiyanınların hazırlanmasından çok kullanılan ve en verimli olan yöntem, ticari olarak elde edilebilen 4-nitroftalonitrilin bir alkolle (aromatik sübsitusyon reaksiyonu) nitro yer değiştirme reaksiyonu ile eter bağlı sübsitüte ftalonitrilin hazırlanmasıdır (Şekil 2.10.). Çoğu tetra-sübsitüte ftalosiyanınlar bu yolla hazırlanırlar [40].



Şekil 2.10: 4-nitroftalonitril kullanarak tetra-süstüte ftalosiyaniinlerin sentezi ; i.) Uygun alkol, K_2CO_3 , DMF, 50°C , ii.) Ftalonitrilin siklotetramerizasyonu.

Suda çözünen tetra-sülfonil metalftalosiyaniin ve tetra-karboksilikasit metal ftalosiyaniin türevlerinin dahil olduğu tetra-süstüte metalftalosiyaniinlerin hazırlanmasında süstüte ftalik anhidritlerin template siklotetramerizasyonu yararlı bir sentez yöntemidir (Şekil 2.11) [41,42].



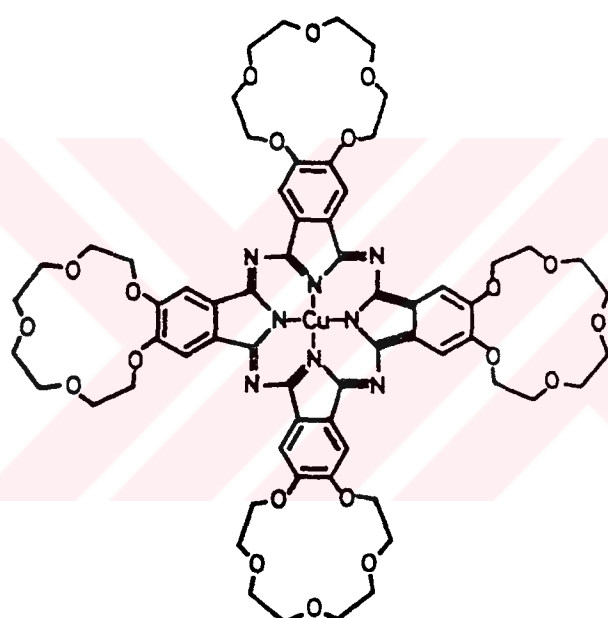
Şekil 2.11: Ftalik anhidrit yoluyla tetra-süstüte MPc'lerin sentezi ; i.) Üre ve metal tuzu ile eritme, ii.) SOCl_2 ile asitklorür ara ürününün oluşturma, sonra alkolle reaksiyon, iii.) SOCl_2 ile asitklorür ara ürününü oluşturma ve sonra uygun alkil amin ile reaksiyon.

2.1.4.8. Periferal okta(op)-süstüte ftalosiyaniinler

Bu tek-izomer ftalosiyaniinler uygun 4,5-disüstüte ftalonitriillerden hazırlanırlar [43]. Makul uzunlukta (genellikle beşen büyük alkil grubu, $(-\text{C}_5\text{H}_{11})$) olan alkil yan zincirlerine sahip türevler çok kullanılan organik solventlerde çözünürler ve kolon şeklinde sıvı kristaller oluştururlar. 4,5-dialkilftalonitril başlatıcıların sentez metodu,

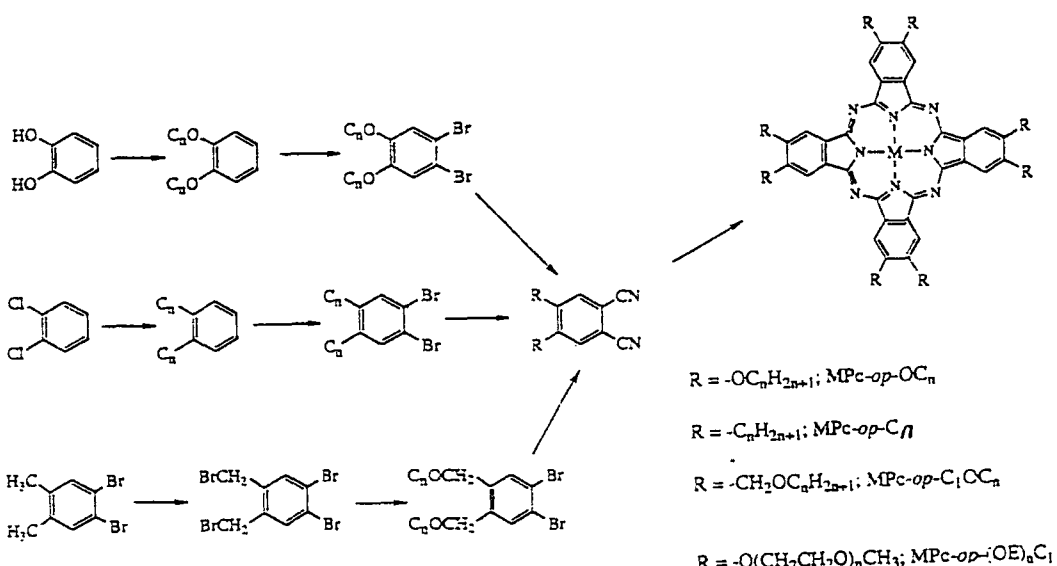
şeklinde sıvı kristaller oluştururlar. 4,5-dialkilftalonitril başlatıcıların sentez metodu, aromatik halka ile esnek alkil zinciri arasındaki bağlantı grubu ile ilgilidir. Bu, basit bir kovalent bağ ($MPc\text{-}op\text{-}C_n$), bir eter bağı ($MPc\text{-}op\text{-}OC_n$) veya bir oksimetilen kısmı ($MPc\text{-}op\text{-}C_1OC_n$) olabilir. Herbir durumda, en yaygın ara ürün 1,2-dibromo benzen türevidir. Buda, riflaks sıcaklığındaki DMF içerisinde bakır(I) siyanür kullanılarak ftalonitril türevine dönüştürülür. Elde edilen, 4,5-disübstitüe ftalonitril türevi dikkatli olarak saflaştırılmaz ise, bakır safsızlıklarını ftalosiyanyan oluşumunu engelleyebilir.

Periferal herbiri benzo kısımlarına bağlı dört crown-eter grubu taşıyan ftalosiyanyan sentezi başarılı olmuştur (Şekil 2.12) [44]. İlave olarak, poli(etenoksi)-sübstitüe ftalosiyanyanlar, $MPc\text{-}op\text{-}O(EO)_nC_1$ 'de hazırlanmıştır (Şekil 2.13) [45].

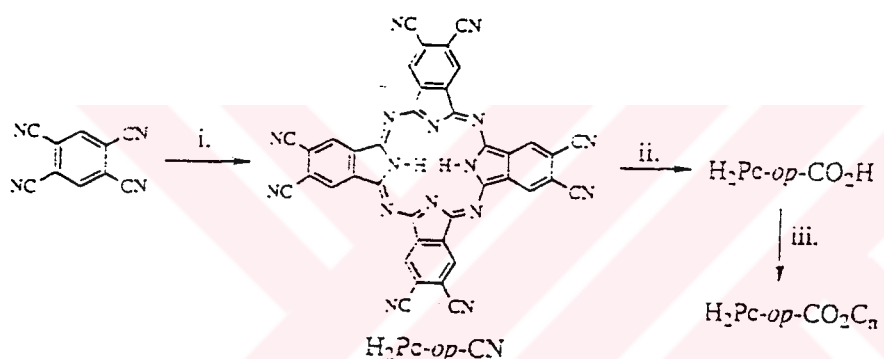


Şekil 2.12 : 15-crown-5 sübstitüeli ftalosiyanyan sentezi.

Daha ılımlı koşullar altında, 1,2,4,5-tetrasiyanobenzen kullanılarak oligomerik yan ürünler olmadan okta-siyanoftalosiyanyan ($H_2Pc\text{-}op\text{-}CN$) hazırlanabilir (Şekil 2.14.) [46].



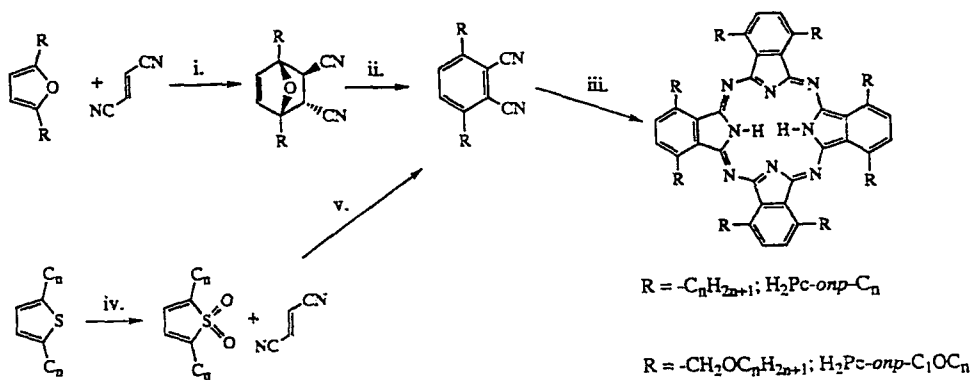
Şekil 2.13: Okta-Sübstitüe ftalosiyanyinlerin sentezi



Şekil 2.14: Okta-siyanophthalocyanine ($\text{H}_2\text{Pc}-op-\text{CN}$) sentezi ; i.) Li, propanol, riflaks, seyreltik çalışma, ii.) Bazla hidroliz, iii.) SOCl_2 ile asitklorürü ve uygun alkol ile reaksiyon.

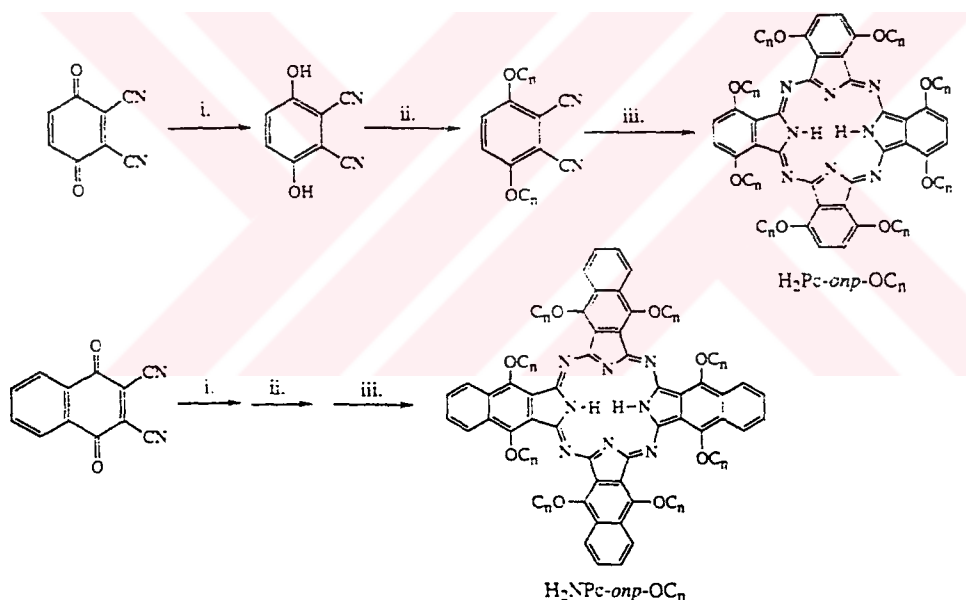
2.1.4.9. Periferal olmayan okta(onp)-sübstitüe Pc 'ler

Cook ve çalışma grubu sıvı-kristal özelliğe sahip periferal olmayan okta-alkil-sübstitüe ftalosiyanyinlerin ($\text{MPc}-onp-\text{C}_n$) sentezi için iki sentetik yol geliştirmiştir [26]. 3,6-dialkilftalonitriyl başlatıcıları uygun 2,5-dialkilfuran (veya tiyofen)'den yola çıkılarak sentez edilir (Şekil 2.15). Esas reaksiyon 5 üyeli heterosiklik ile fumaronitriyl arasındaki Dies-Alder sikloadisyon reaksiyonunu içerir. Tiyofen yöntemi basit $\text{MPc}-onp-\text{Pc}$ türevleri için daha etkilidir, fakat furan yöntemi, asimetrik ftalosiyanyinlerin sentezinde kullanılan uygun bir şekilde korunmuş karboksilikasit veya alkol fonksiyonel gruplarını içeren ftalonitrillerin hazırlanmasını sağlayacak kadar esnektir. Furandaki sıvı kristal özellik gösteren $\text{MPc}-onp-\text{CO}_2\text{C}_n$ serilerinin hazırlanmasında dahi kullanılır [47].



Şekil 2.15: Periferal-olmayan okta-sübstítüe ftalosiyaniñlerin sentezi , i.) Aseton, 0°C, ii.) Lityum bis(trimetilsilikil)amid, THF, Su iii.) Lityum, pentanol (riflaks), hidroliz, iv.) 3-kloroperbenzoik asit, 200°C.

Aynı araştırma grubu kolaylıkla elde edilebilen başlangıç maddesi 2,3-disiyano-1,4-benzokinondan yola çıkarak MPc-onp-OC_n serisinin sentezi için daha etkili bir yöntem bulmuşlardır (Şekil 2.16) [48] .



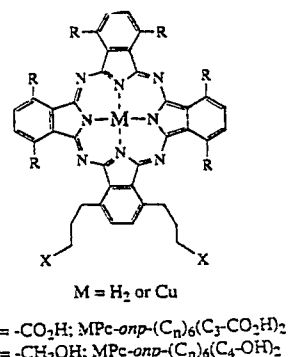
Şekil 2.16: Periferal-olmayan okta-alkoksi-sübstítüe ftalosiyaniñler ve naftalosiyaniñler ; i.) Sodyum metabisülfit ile indirgeme ii.) Uygun alkil halojenür, K₂CO₃, aseton, iii.) Lityum, pentanol (riflaks), hidroliz.

Benzer bir sentez yöntemi okta-sübstítüe NPcs'lerin hazırlanmasında kullanılmıştır.

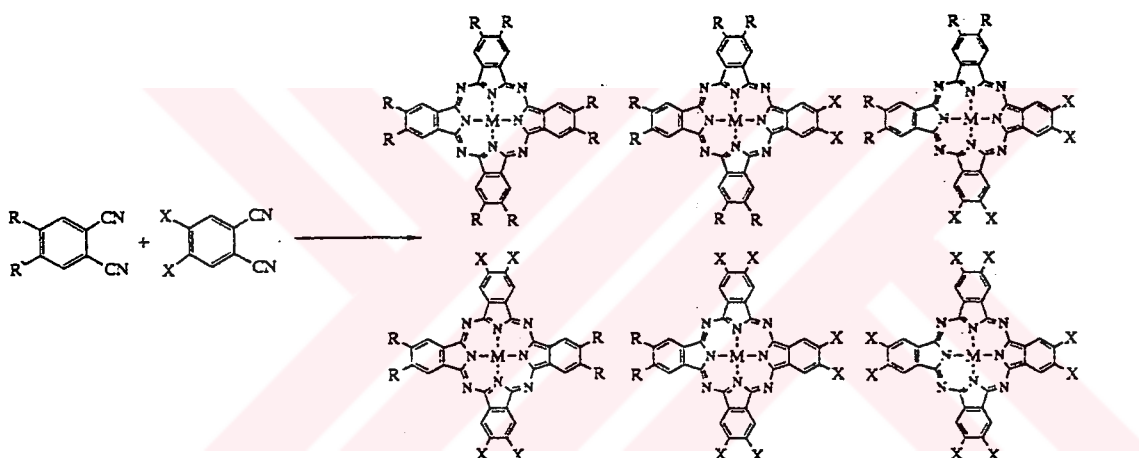
2.1.4.10. Asimetrik Olarak Sübstítüe Ftalosiyaniñler

Asimetrik olarak sübstítüe ftalosiyaniñler oligomer ve polimerlerin sentezinde ve Langmuir-Blodgett (LB) film fabrikasyonunda kullanılırlar (Şekil 2.17). Çoğu sıvı kristal özellik gösterirler. Asimetrik ftalosiyaniñlerin sentezinde kullanılan en yaygın

yöntem karışık ftalonitril (veya diiminoizoindolin) türevlerinin siklotetramerizasyonunu içerir. İki farklı ftalonitril türevi kullanıldığı zaman teorik olarak altı ürünün elde edilmesi mümkündür (Şekil 2.18) [39,49].



Şekil 2.17: LB teknigi için özel olarak dizayn edilmiş asimetrik ftalosianin türevlerinin moleküler yapısı.



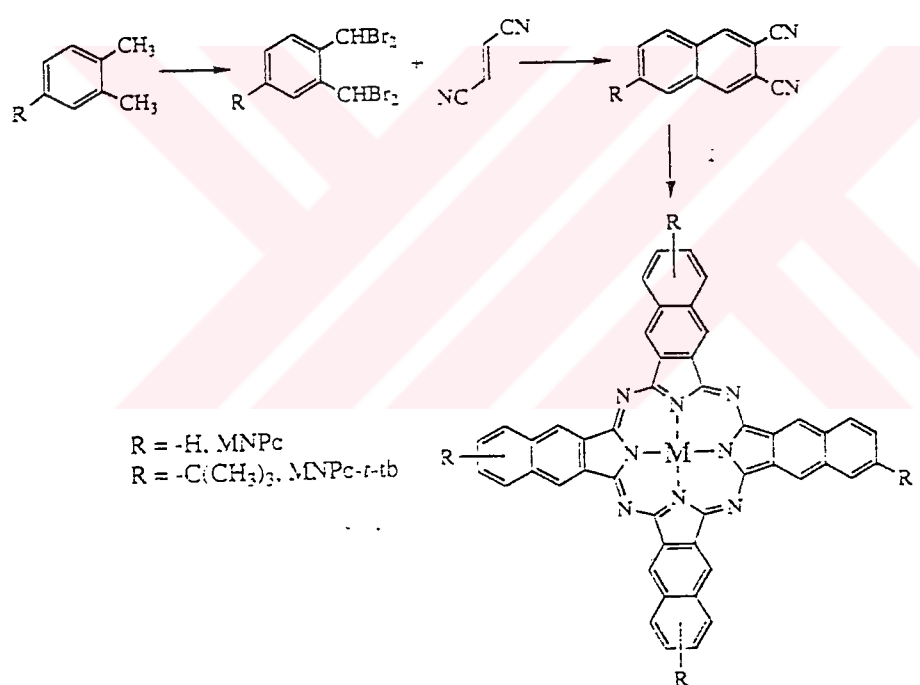
Şekil 2.18: Karışık ftalonitrlillerin siklotetramerizasyonu ile asimetrik olarak sübstitüe ftalosianinlerin sentezi.

Bazı durumlarda, istenilen asimetrik ftalosianinin verimi iki başlangıç maddesinin relatif miktarlarının kontrol edilmesiyle artırılabilir. Ancak karışık ftalonitril reaksiyonları pratik olarak her zamam en az iki ftalosianin oluşturur ve bu ftalosianinler kromatografik yöntemle ayrılırlar. Böylece elde edilen çözünür ftalosianinlerin farklı kromatografik özelliklere sahip olmaları (örneğin polariteler) için iki farklı tip sübstituentin seçilmesi gereklidir. Karışık ftalonitril reaksiyonları hem oligoetenoksi hemde alkil yan zincirleri içeren ftalosianinleri oluştururlar. Dendritik ve polietilenoksi gibi makromoleküller alt ünitelerine bağlı ftalosianinler, asimetrik sıvı kristal ftalosianinler ve periferal olmayan sübstitüe ftalosianinler LB film oluşumu için dizayn edilmişlerdir. İlave olarak, dört benzen alt ünitelerinin biri

üzerinde farklı sübstiyentler içeren asimetrik olarak sübstitüe ftalosiyinler, subftalosiyinin (sub-BPc) halka açılması reaksiyonuyla sentezlenmiştir [50]. Karşı benzen alt üniteleri üzerinde benzer gruplar içeren asimetrik disübstitüe ftalosiyinler, diiminoizoindolinin türevlerinin triklorizoindolinin karışımının siklotetramerizasyonuyla hazırlanırlar [51].

2.1.4.11. Naftalosiyanınlar (NPc'ler)

Infrared bölgesinde, 800 nm. dalga boyundaki ışınları absorbe eden konjugate yapılarla sahip olması özelliği ile naftalosiyanler fotoelektronik malzeme olarak ilgi çekici maddelerdir. İlk olarak naftalosiyanın sentezinde izlenen yol Luk'yanets ve çalışma grubu tarafından belirtilmiştir (Şekil 2.19). Bu yöntemle çözünürlüğü fazla olan ve periferal olarak sübstitüte naftalosiyanlar sentezlenmiştir. Şekil 2.16 da belirtilen sentez yöntemi, 2,3-disiyano-1,4-naftalokinon başlangıç maddesi sübstitüte NPcs sentezinde kullanılmıştır [48].



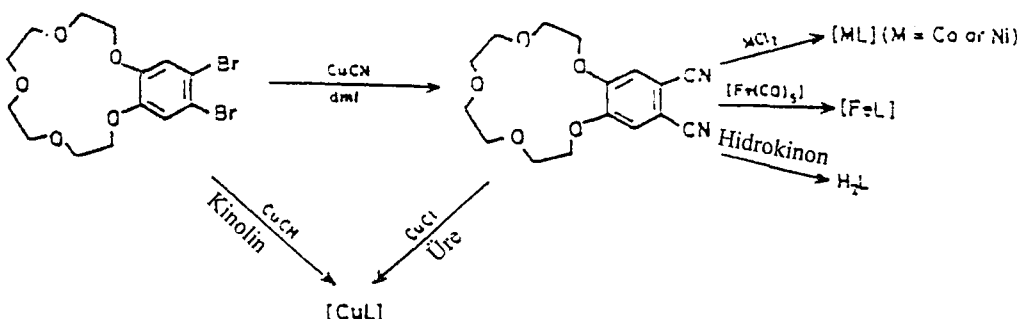
Şekil 2.19: Naftalosiyanın sentezi.

2.1.5. Makrosiklik Gruplar Taşıyan Pc'lerin Sentezi

2.1.5.1. O_n Makrosik Grup taşıyan P_c'ler

15-crown-5 grubu taşıyan CuPc'lerin sentezi birbirinden bağımsız olarak çalışan üç ayrı grup tarafından kısa zaman aralıklarında sentez edilip yayınlanmıştır. Dört tane

benzo-15-crown grubu taşıyan molekül çözünür ftalosiyainlerin yeni bir sınıfının ilk örneğidir. Bu bileşik diklorometan, kloroform, aseton, etanol, metanol, piridin, DMSO ve DMF' de kolaylıkla çözünmektedir (Şekil 2.20) [52].

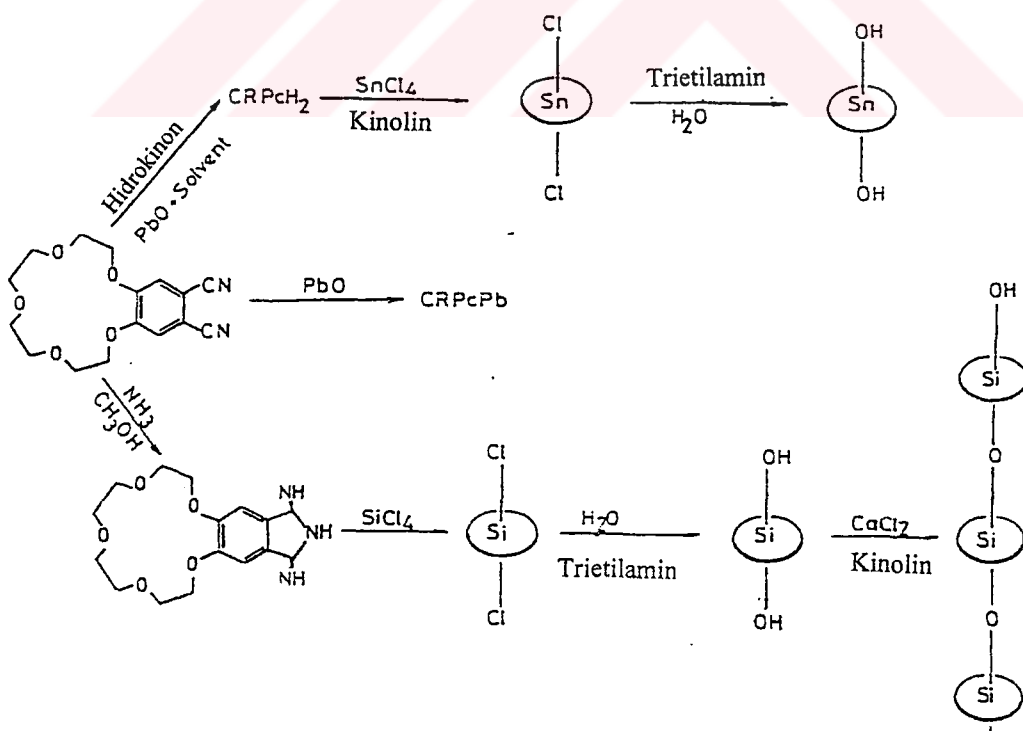


Şekil 2.20: Benzo-15-crown-5 içeren metalli ve metalsiz ftalosiyainlerin sentezi.

Crown-eter grubu taşıyan metalsiz ftalosiyainin (cpc), disiyanobenzo-15-crown-5 türevinin hidrokinon ile kapalı tüp içerisinde ısıtılmasıyla elde edilir (Şekil 2.21).

Crown-eter grubu taşıyan metalli ve metalsiz ftalosiyainlerin alkali-metal bağlama özellikleri alkali tuzlarının sudan kloroform fazına ekstraksiyonuyla incelenmiştir. Bütün bileşikler en yüksek eğilimi potasyum iyonuna karşı göstermişlerdir.

Ayrıca crown-eter grubu içeren 4A grubu metal ftalosiyainlerde sentez edilmiştir.

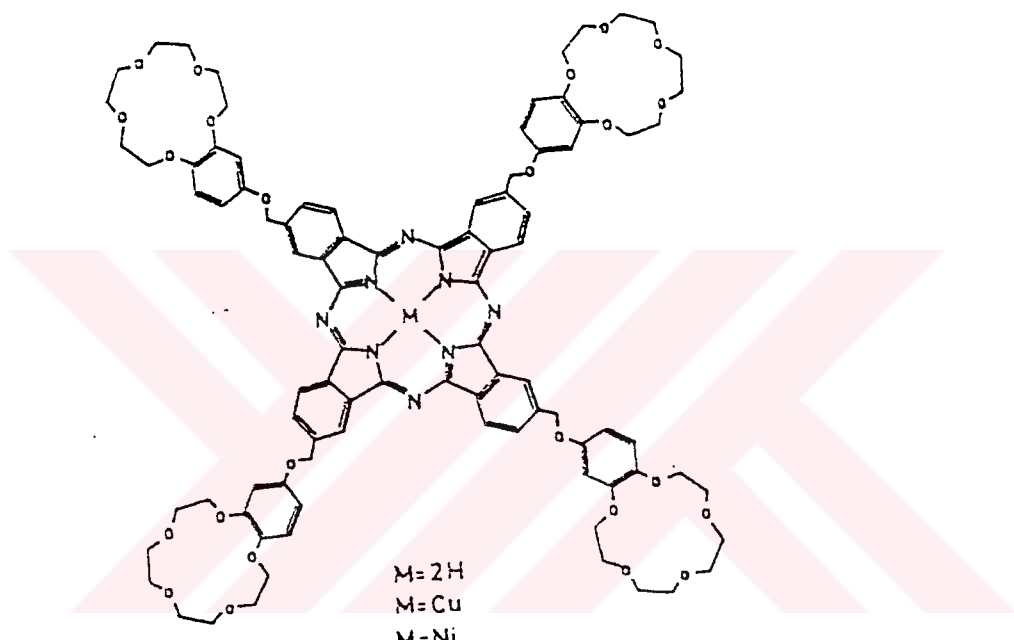


Şekil 2.21: Crown-eter sübstitüe IV-A Grubu ftalosiyainlerin sentez şeması.

2.1.5.2. Oksijen ve Kükürt Köprülü (O_n) Makrosiklik İçeren Ftalosiyanyinler

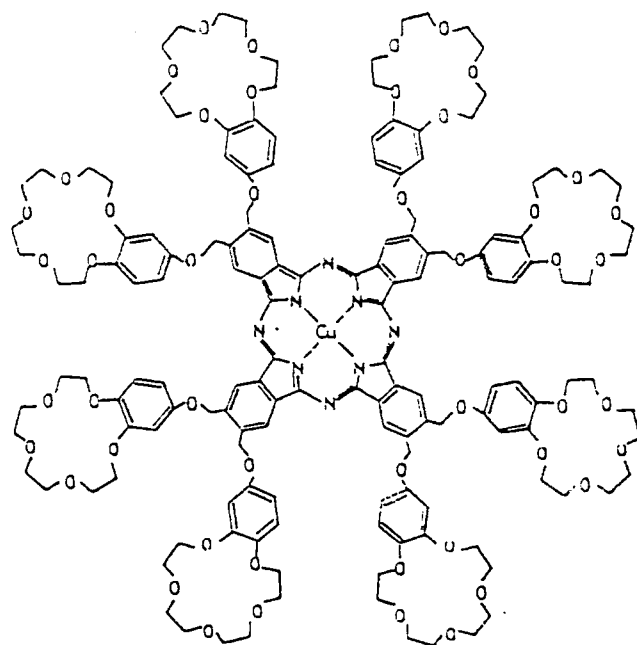
Bu tip bileşiklerde crown-eter halkası esnek $-CH_2-O-$ köprüleri vasıtasyyla ftalosiyanyanın çekirdeğine bağlanmıştır.

1-bromometil-3,4-dibromobenzen ve 4-hidroksi-(benzo-15-crown-5)'den başlayarak crown-eter makrosiklikleri taşıyan serbest, bakır ve nikel ftalosiyanyinler hazırlanmıştır (Şekil 2.22) [53]. Bu ftalosiyanyinlerin alkali iyon bağlama kabiliyetlerinin ölçümü K iyonuna karşı en yüksek affiniteti gösterdikleri gözlenmiştir ve $CuPc > NiPc > H_2Pc$ sırasını takip eden kararlılıkta moleküllerarası sandviç kompleksler oluştururlar.



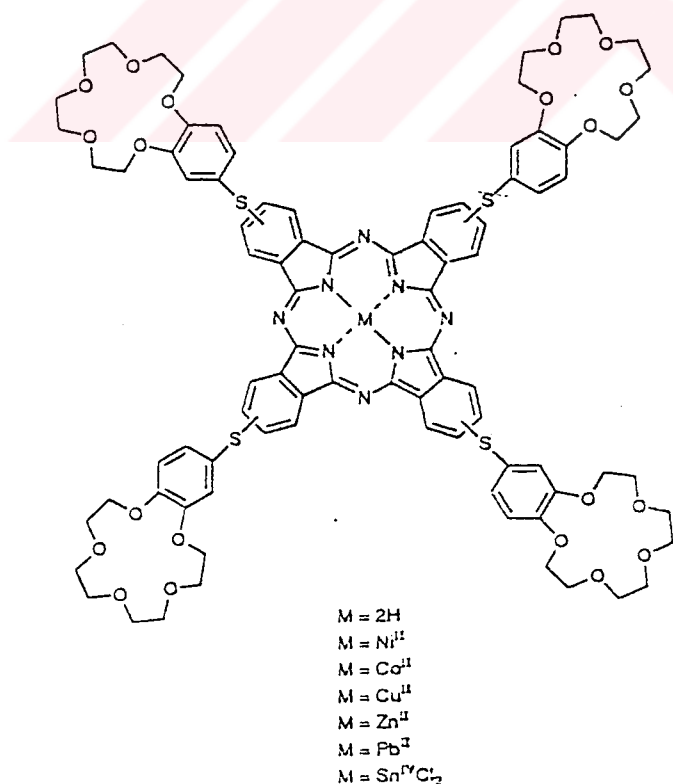
Şekil 2.22: Dört esnek $-CH_2-O-$ -köprüsü üzerinde crown-eter sübstitüe ftalosiyanyinler.

$-CH_2-O-$ zincirleriyle bağlı sekiz crown-eter grubu içeren bakır ftalosiyanyinlerde sentez edilmiştir (Şekil 2.23) [54]. Alkali metal iyonu varlığında UV-Vis spektrumlarının değerlendirilmesi, bu ftalosiyanyindeki taç eter gruplarının alkali metaller ile molekül içi kompleksleşme yaptığı ve ftalosiyanyanın çekirdeğinin agregasyona yol açacak moleküller arası etkileşimin meydana gelmediğini ortaya koymuştur.



Şekil 2.23: Sekiz esnek $-\text{CH}_2\text{-O}$ köprüsü üzerinden crown-eter sübstítüe bakır ftalosiyanyan.

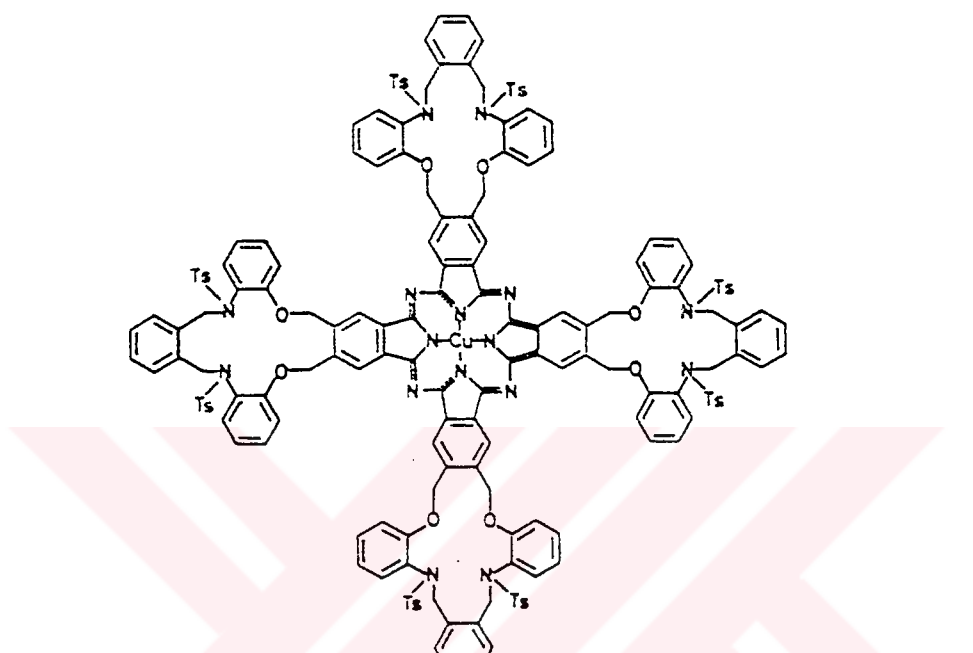
Son zamanlarda, sulfonil köprüleri üzerinden dört crown-eter grubu ile birleşmiş nikel(II), bakır(II), kobalt(II), çinko(II), kurşun(II) ve kalay (IV) ftalosiyanyan kompleksleri hazırlanmıştır (Şekil 2.24) [55]. Tüm bu ftalosiyanyanler diğer crown-eter ftalosiyanyanler gibi çoğu organik solventlerde çözünürler.



Şekil 2.24: Dört S köprüsü üzerinden crown-eter sübstítüe ftalosiyanyanler.

2.1.5.3. (O_nN_n) Makrosiklikleri İçeren Ftalosiyanyinler :

o-nitrofenol'den yola çıkılarak 16-üyeli simetrik tetrabenzodiazadiokza makrosiklik grubu içeren bakır ftalosiyanyinin sentez edilmiştir (Şekil 2.25) [56]. Bu ftalosiyanyinin kloroform, diklormetan, DMF'te çözünmektedir. Çeşitli yöntemler kullanılmasına rağmen tosil grubunun hidrolizi mümkün olmamıştır ve bu yüzden dizadiokza makrosiklik gruplarının geçiş-metali kompleksleri hazırlanamamıştır.



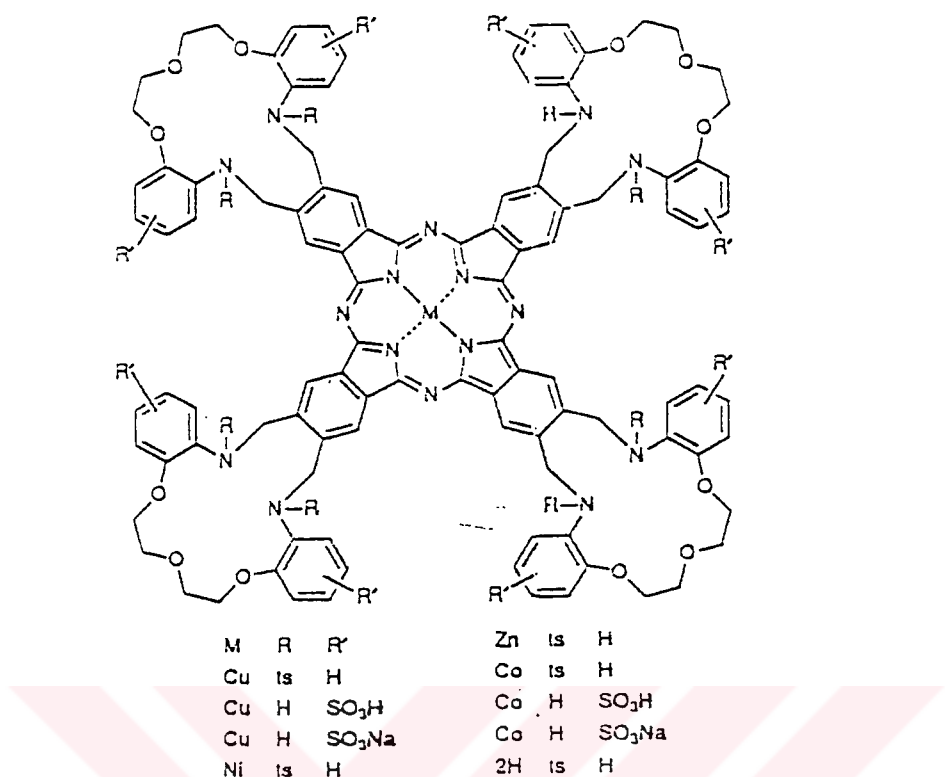
Şekil 2.25: Dört tane 16-üyeli diazadioksa-makrosiklik gruplar içeren bakır ftalosiyanyinin.

17-üyeli diazatrioksa-makrosiklik içeren ftalosiyanyinin kompleksleride hazırlanmıştır (Şekil 2.26) [57]. Metal iyonuna bağlı olarak elde edilen ftalosiyanyanyinlerin verimi düşüktür. N-tosil türevleri çoğu organik solventlerde çözünmektedirler.

Tosil gruplarını hidrolizi yüksek sıcaklıkta sülfirik asit kullanarak başarılmıştır. Ancak, bu makrosiklik grubun aromatik halkalarının sülfolanmasına neden olmuştur. Bu polar gruplardan dolayı, ftalosiyanyinler suda çözünmektedir. Sekiz $-SO_3H$ grubunun $NaOH$ ile $-SO_3Na$ 'ya dönüştürülmesi, suda oldukça çözünür ürünlerin oluşmasını sağlamıştır. Bu yüzden alkali-metal bağlama özellikleri incelenmemiştir. Triokzadiaza-makrosiklik gruplarının geçiş-metali kompleksleri izole edilememiştir.

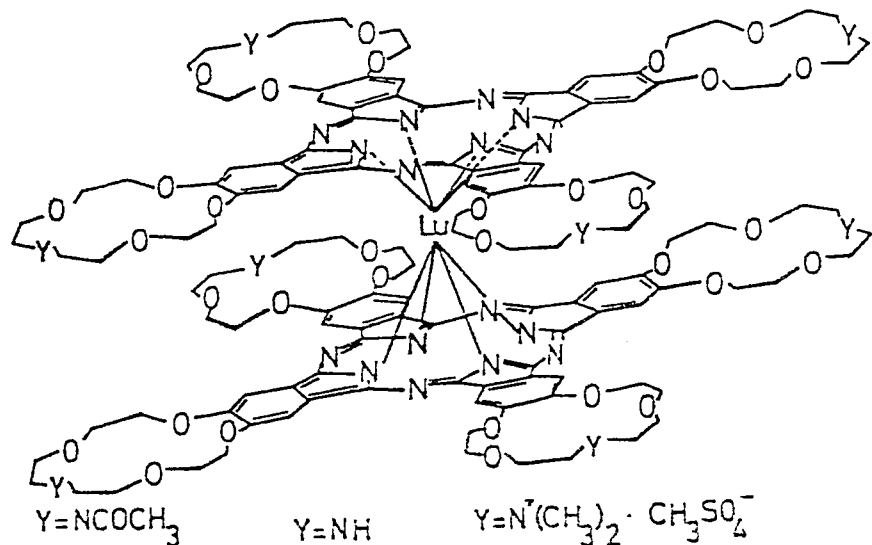
Dibromo bileşiği ve $CuCN$ ile başlanarak monoazabenzo-15-crown-5 (acpc) grubu taşıyan ftalosiyanyinin dimetilsülfat ile metilasyonu kuaternize bakır ftalosiyanyinin

oluşturan kuaternize amonyum tuzunu vermiştir. Bu iki ftalosiyanyan sırasıyla DMSO ve suda çözünmektedir.



Şekil 2.26: Diazatrioqua halkaları ile sübstitüe ftalosiyanyanın.

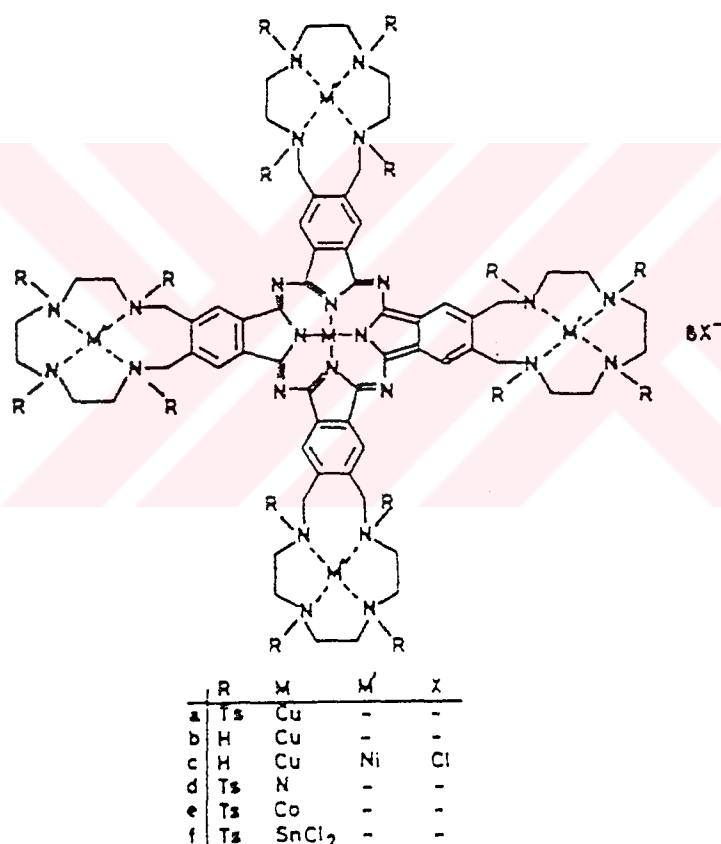
Suda çözünen ilk lutesyum (acpc)₂ dahi sentez edilmiştir (Şekil 2.27) [58]. $\text{Lu}(\text{acpc})_2$ komplekslerinin çözelti renkleri (kloroform ve suda) yeşildir, bu durum komplekslerinin nötral Lu(III) formunda olduğunu gösterir.



Şekil 2.27: N-asetil $\text{P}_{\text{C}}_2\text{Lu}$ ve N-kuaternize $\text{P}_{\text{C}}_2\text{Lu}$.

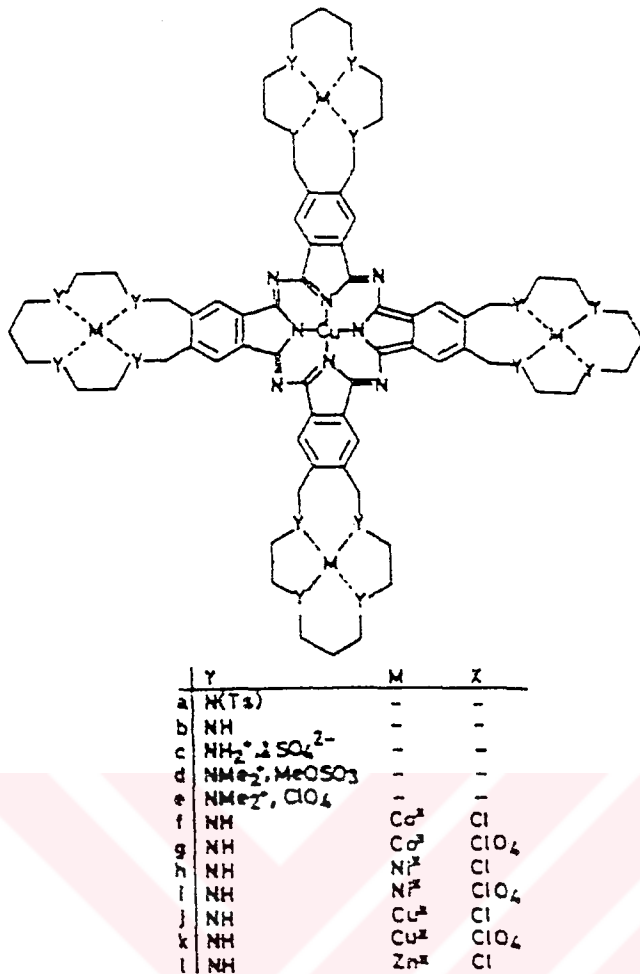
2.1.5.4. (N_n) Makrosiklikleri İçeren Ftalosiyinler :

Dibrom bileşiklerinden yola çıkılarak 14 ve 15 üyeli tetraaza-makrosiklik grupları içeren Cu(II), Ni(II), Co(II) ve Sn(IV) ftalosiyinlerin sentezi gerçekleştirılmıştır [59-60]. Poliaza-makrosiklik grupları içeren ftalosiyinler homo ve hetero-penta nükleer geçiş metali kompleksleri oluşturabilirler. Tetraaza-dibrombenzenin CuCN varlığında TMÜ içerisinde kapalı tüpte siklotetramerizasyonu dört tetraazamakrosiklik içeren bakır ftalosiyinini vermiştir (Şekil 2.28). Bu ftalosiyindeki tosil grupları 100°C H_2SO_4 ile muamele sonucunda hidroliz edilmiştir. Bu bakır ftalosiyin NaOH ile nötralizasyonundan sonra stokiyometrik oranda NiCl_2 ile etanolde muamele edilmesiyle pentanükleer kompleks elde edilmiştir. Bu kompleks suda çözünmektedir.



Şekil 2.28: Dört tane 14-üyeli tetraaza-makrosiklik içeren ftalosiyinler.

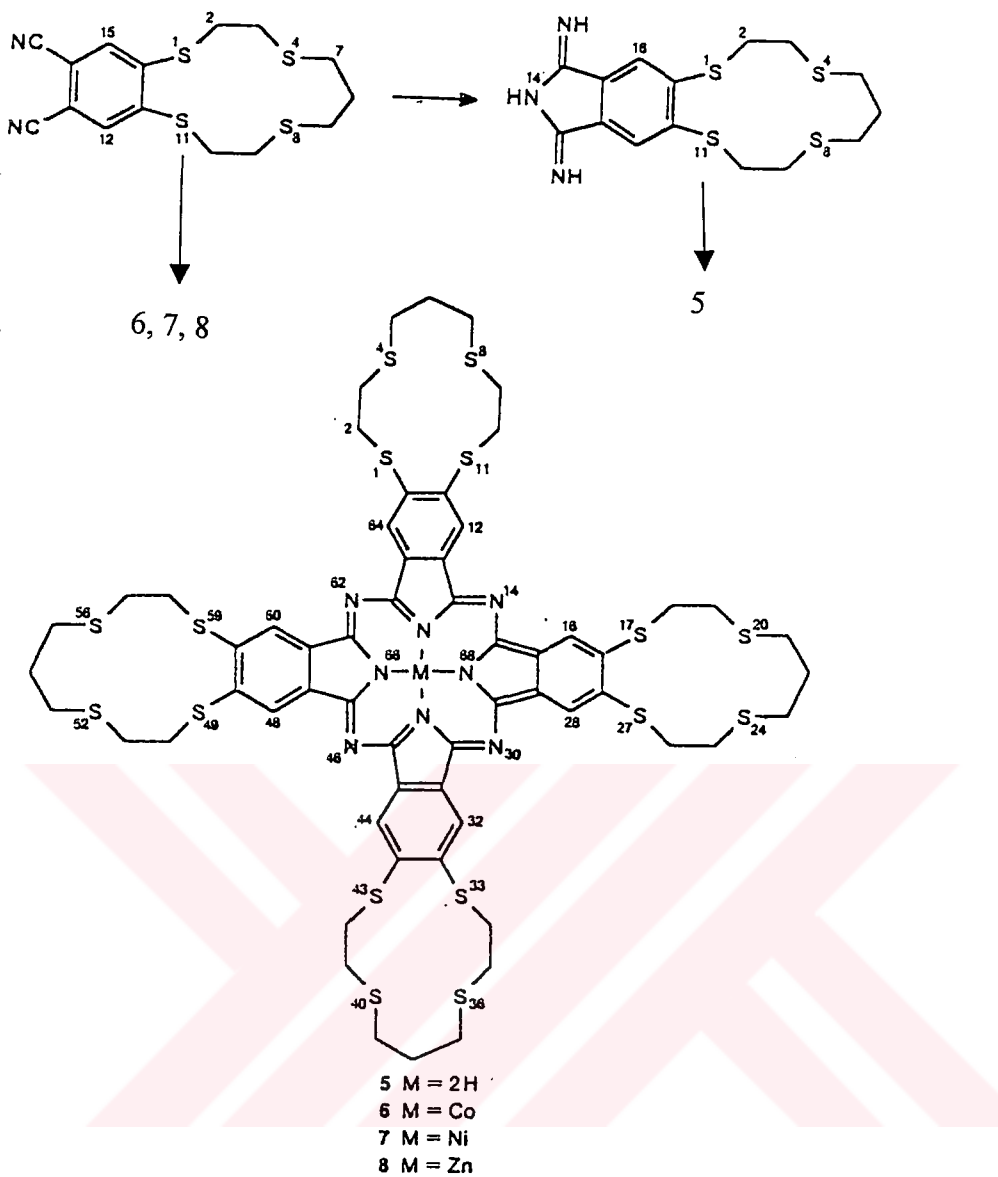
Dört tane 15-üyeli tetraaza-makrosiklik grupları ile sübstidue olmuş ftalosiyin takdirinde (Şekil 2.29), pentanükleer kompleksler içeren Cu(II) ve Zn(II) sentezlenmiştir.



Şekil 2.29: Dört tane 15-üyeli tetraazamacrosiklik içeren ftalosianinler.

2.1.5.5. (S_n) Makrosikliklerini İçeren Ftalosianinler

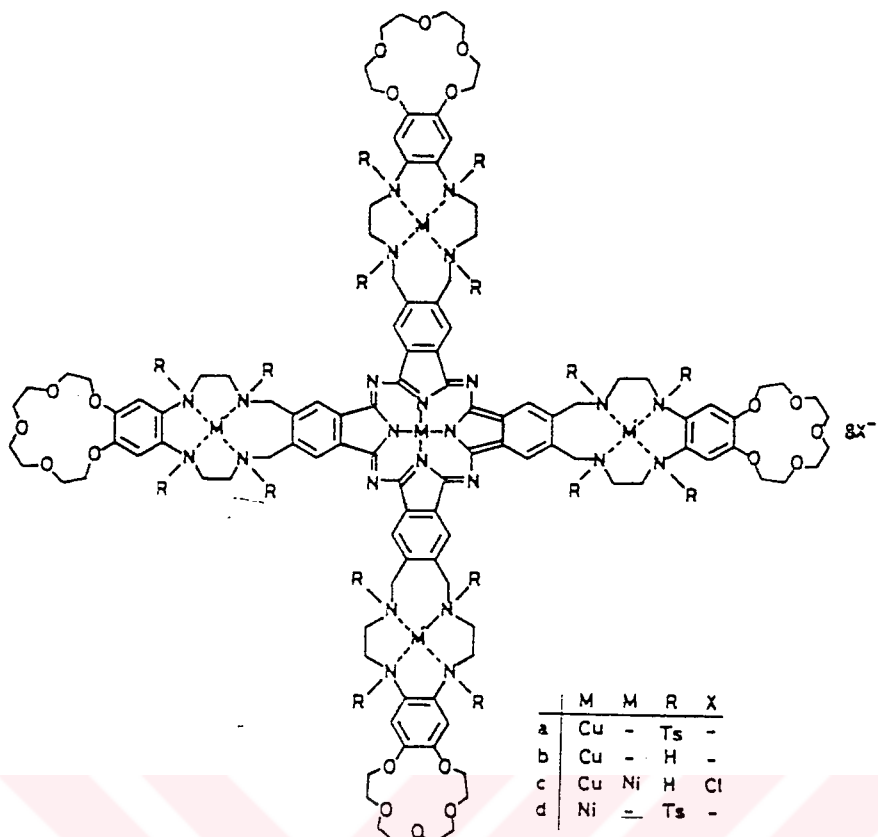
Son yapılan çalışmalarda tetratiya makrosiklik gruplar taşıyan ftalosianin türevi sentez edilmiştir. Bu ftalosianin için kullanılan sentez yöntemi diğer makrosiklik grup taşıyan ftalosianin sentezinden farklıdır. Dibrom türevi yüksek kaynamalı solvent kullanarak kapalı tüpte ftalosianine dönüştürülemediği gibi, Rosenmund Von Braun yöntemini kullanarakta dinitril türevine dönüştürülememiştir. Tetratiya makrosiklik gruplar taşıyan ftalosianin, 4,5-dikloroftalonitril ile bir ditiyol arasındaki nükleofilik yer değiştirme reaksiyonu ile elde edilmiştir (Şekil 2.31) [61]. Tetraaza makrosiklik crown-eter substitüte analoglarıyla karşılaştırıldığında elde edilen bu ftalosianin türevi yaygın olarak kullanılan organik solventlerde çözünmemektedir.



Şekil 30: Tetratiya sübstitüe ftalosiyanipler.

2.1.5.6. (N_n) ve (O_n) Makrosikliklerinin Herikisiinde İçeren Ftalosiyanipler :

Bu çalışmaların ileriki bir adımda, herbiri bir 15-crown-5 üntesine bağlanmış 4 tane 14-üyeli tetraaza-makrosiklikleri taşıyan ftalosiyani sentezlenmiştir (Şekil 2.31) [62]. Bu iki makrosiklik grubun kombinasyonu, hem geçiş metali hemde alkali-metal iyonlarıyla iyonik yapıda bileşikler oluşturan ve çözünürlükleri farklı olan ftalosiyanipler vermiştir.



Şekil 2.31: Herbiri 15-crown-5 ünitesine bağlanmış 4 tane 14-üyeli tetraaza-makrosiklik içeren ftalosiyanipler.

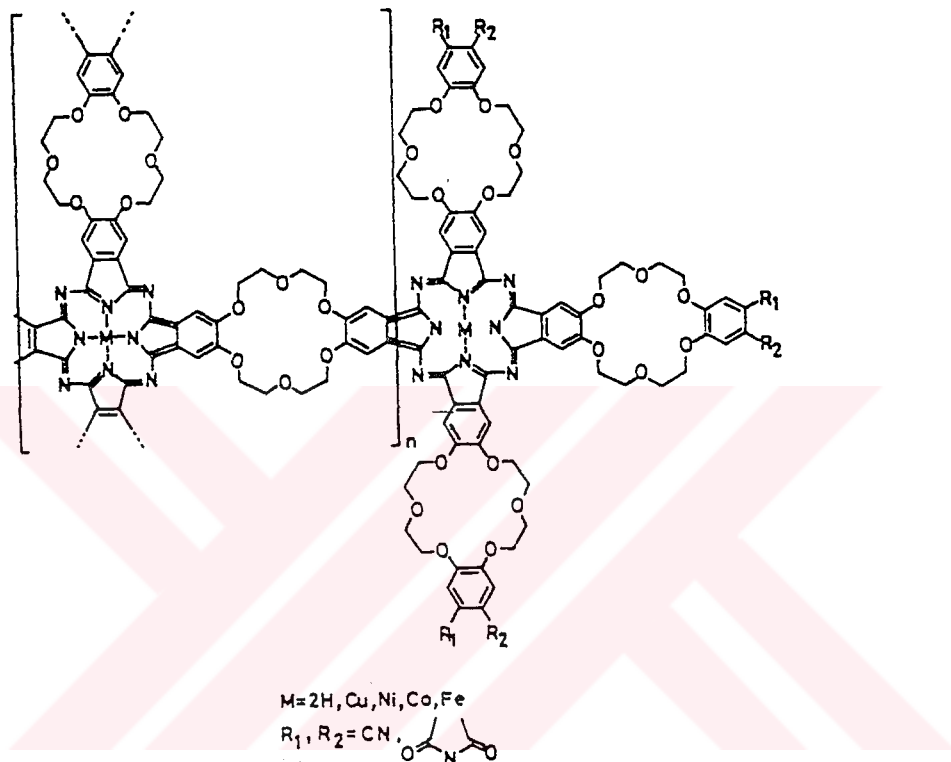
Bakır ftalosiyinin türevinin crown-eter grupları alkali metal pikratlarıyla etkileşimi kloroformda yapılmıştır. Alkali metal iyonları arasında en yüksek affinitenin K^+ iyonuna karşı olduğu gözlenmiştir. Bu durum, crown-eter üniteleri ile K^+ iyonu arasında sandviç tipi kompleksin oluşumuna atfedilebilir. Tosil grublarının H_2SO_4 ile hidrolizinden sonra elde edilen kompleksin halojenlenmiş solventlerde çözünürlüğü çok düşük olmasına rağmen, metanol ve etanolde çözünürlüğü artmıştır. Tosil grubu içermeyen bu bileşigin pentanükleer kompleksi, $NiCl_2$ ile absolu metanol içerisinde muamele edilmesiyle elde edilmiştir.

2.1.5.7. Makrosiklik Gruplar Taşıyan Polimerik Ftalosiyanipler

Ftalosiyanipler esas olarak iki tip polimer oluşturabilirler : Biri yüzden-yüze yönelmiş eş yüzeyli polimerlerdir. Bu üstüste yiğilmiş ve köprü oluşturmuş ftalosiyinato-metal kompleksler, metal-ftalosiyanipler ile diğer organik ve inorganik difonksiyonel maddelerin reaksiyonuyla elde edilebilirler.

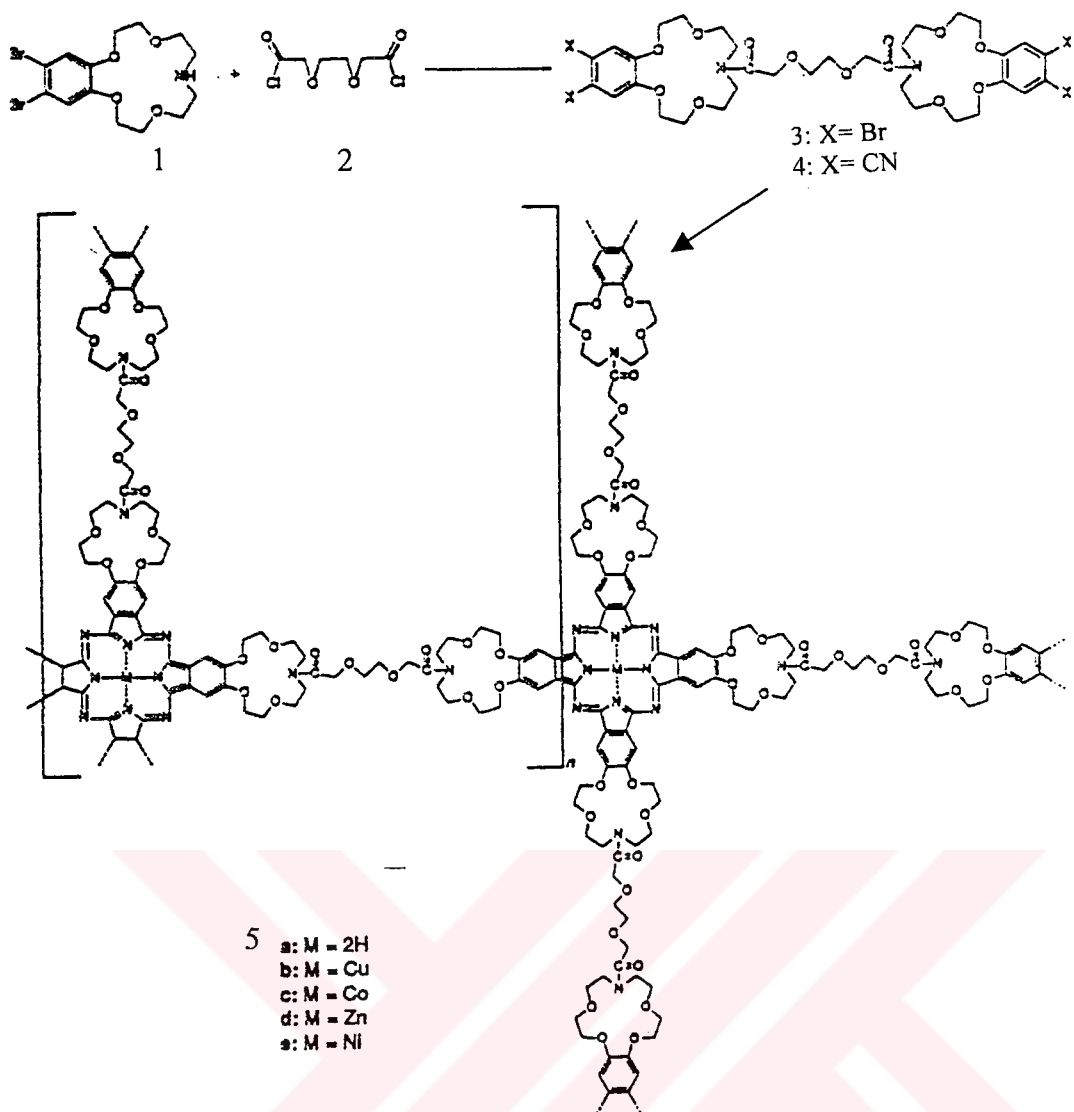
İkinci tip ftalosiyinin polimeri network polimerleridir ; Bu polimerler ideal olarak bis(ftalonitril) monomerlerinden elde edilirler.

Crown-eter grubu içeren network polimer tipinde ftalosiyainlerin ilk örneği tetrabromodibenzo-18-crown-6'dan yola çıkılarak sentez edilmiştir. Polimerleşme reaksiyonları solvent olarak piridin kullanılarak kapalı tüp içerisinde gerçekleştirılmıştır (Şekil 2.32) [63,64]. Alkali-metal iyonları ile bağ yapma özellikleri polar solvent olan THF içerisinde yapılmıştır. Bu ölçümlerin sonuçları dibenzo-18-crown-6 ünitelerinin Na^+ iyonuna nazaran K^+ iyonuna karşı daha yüksek bir eğilim gösterdiklerini ispat etmiştir.



Şekil 2.32: Crown-eter içeren polimerik ftalosiyainler.

Monoaza-15-crown-5 bileşığının dibrom türevi ile bis(asitklorür) türevlerinden yola çıkılarak iki boyutlu network polimerler elde edilmiştir (Şekil 2.33) [65]. Bu ftalosiyainlerin havada ve oda sıcaklığında elektriksel iletkenlikleri ölçülmüş, ve hacimli gruplar içeren ftalosiyainlerden daha düşük değerlere sahip oldukları bulunmuştur [66-70].



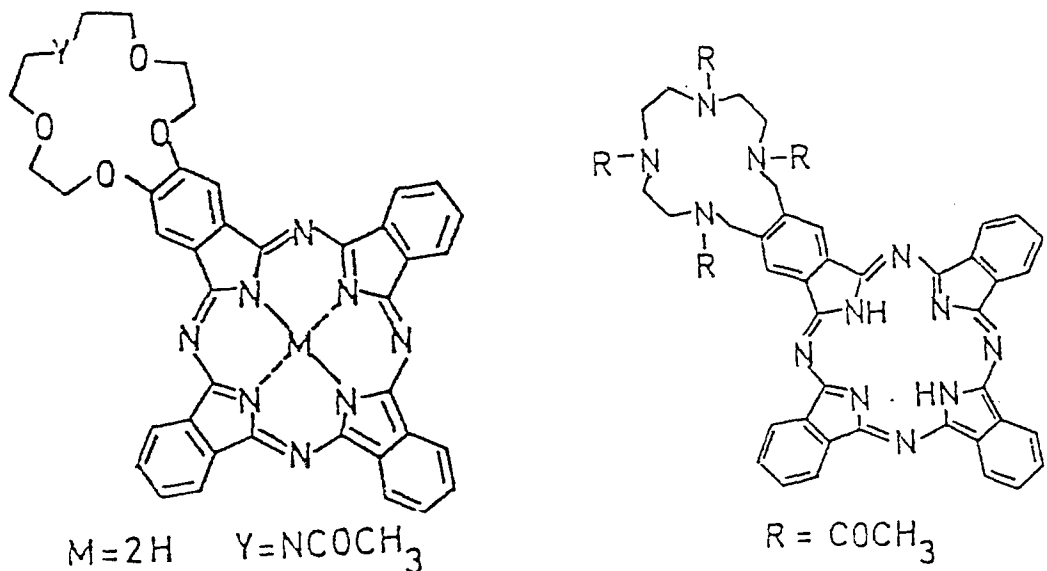
Şekil 2.33: Monoaza crown-eter içeren polimerik ftalosiyainler.

2.1.5.8. Makrosiklik Gruplar İçeren Asimetrik Ftalosiyainler

Subftalosiyain ve iminoizoindol bileşiklerinden yola çıkarak, dimetilsülfoksit, klorbenzen, o-diklorbenzen, 1-klornaftalen veya 2-klornaftalen solvent karışımında ve 80°C de bazı yeni asimetrik ftalosiyainler sentez edilmiştir [71].

Tek bir makrosiklik grup taşıyan asimetrik ftalosiyainler bor kompleksleri ile 15-crown-5, monoaza-15-crown-5 ve iminoizoindol türevleri ve tetraaza-siklodekan ile reaksiyonundan elde edilmiştir (Şekil 2.34) [72].

Tüm bu asimetrik ftalosiyainler DMSO:1-Klornaftalen ortamından su ilave edilerek çöktürülmüş ve filtrasyon ile izole edilmiştir. Bu ftalosiyainlerin çözünürlüğü aynı grupları taşıyan tetra-sübstitüte ftalosiyainlere nazaran daha düşüktür.



Şekil 2.34: 15-crown-5 ve monoaza-15-crown-5 içeren asimetrik ftalosiyanipler.

2.1.6. Ftalosiyaniplerin Saflaştırılma Yöntemleri

Sübstitüe olmamış ftalosiyaniplar ve metalli türevlerinde; Süblimasyonla ve derişik asitte çözüp buzda çöktürme ile saflaştırma yapılmaktadır. Bu klasik saflaştırma yöntemlerinin uygulanabilirliği ftalosiyanipların bileşiklerinin kuvvetli asitlere karşı olan dayanıklılığına ve yüksek sıcaklıklara kadar ısıtıldıklarında ($500^{\circ}C$ 'nin üstü) gösterdikleri kararlılığa bağlıdır. Bunlara ilave olarak bu maddelerin çoğunun çözünürlüklerinin çok az olması yeniden kristallendirme ve kromatografik yöntemlerinin kullanımını imkansız kılmaktadır. Bu tür bileşikler için süblimasyon ve H_2SO_4 'de çözüp çöktürme işlemleride uygulanamadığından sadece suyla ve organik solventlerle yıkanarak saflaştırma yapılmaktadır.

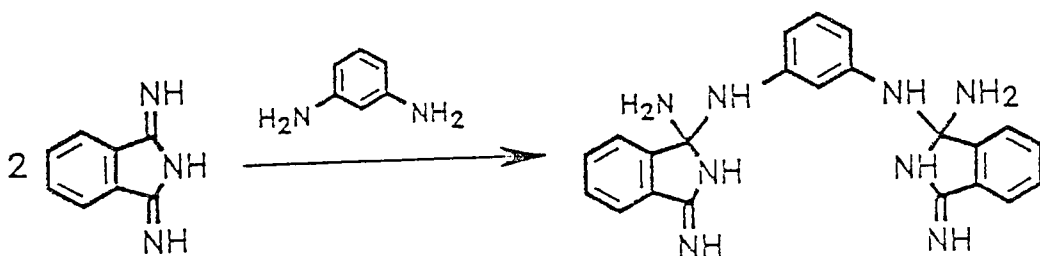
Sübstitüe ftalosiyanipler için öngörülen saflaştırma yöntemleri aşağıda sıralanmıştır [73].

- Derişik H_2SO_4 'de çözükten ve süzdükten sonra, soğuk suda veya buzlu suda yeniden çöktürme,
- Amino sübstitüe ftalosiyanipleri derişik hidroklorik asit ile suda çözünür hale getirip organik kirlilikleri ekstrakte ettikten sonra, seyreltik bazla çöktürme,
- Alümina üzerinden kolon kromatografisi ve çözücünün uçurulması veya yeniden kristallendirme,

- d. Normal, flaş ya da vakum metodlarını kullanarak silikajel üzerinden kolon kromatografisi yapıldıktan sonra çözüçünün uçurulması ya da yeniden kristallendirme,
- e. Jel geçiren kromatografisi (GPC),
- f. Safsızlıklar uzaklaştırıp, saflaştırılmış ftalosiyinleri elde etmek üzere çözünmeyen sübstitüe ftalosiyinleri çeşitli çözüçülerle yıkama,
- g. Çözünmeyen safsızlıklar uzaklaştırmak için çözünen sübstitüe ftalosiyinlerin çeşitli çözüçülerle ekstraksiyonu ve çözüçünün uçurulması ya da ekstrakte edilmiş sübstitüe ftalosiyin yeniden kristallendirilmesi,
- h. Süblimasyon yöntemleri,
- i. İnce tabaka kromatografisi (TLC) ve yüksek basınçlı sıvı kromatografisi (HPLC).

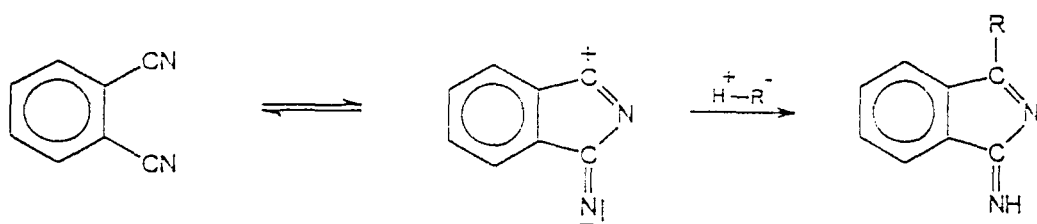
2.1.7. Ftalosiyinlerin Reaksiyon Mekanizmaları

Ftalosiyinlerin sentezlerinde kullanılan yöntemlerin bazlarında reaksiyonu bilinen bir ara ürün üzerinden ilerlerken, çoğunca oluşan mekanizmaları net olarak bilinmemektedir. Ftalosiyin oluşumunda model sayılabilcek bir ara ürün 1,3-diiminoisoindolin ile bir diaminin reaksiyonundan elde edilen stabil bir maddedir (Şekil 2.35).



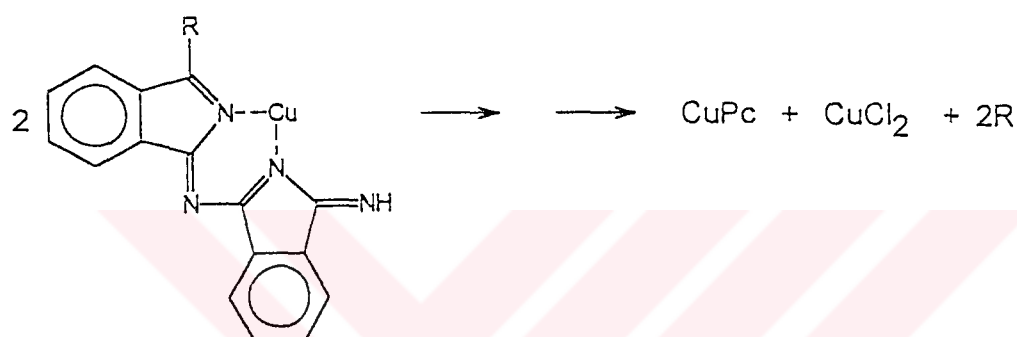
Şekil 2.35: Ftalosiyin oluşumunda bir ara ürün.

Gerek ftalonitrilden gerekse ftalikasitten üre ile ftalosiyin sentezinde ara ürün olan isoindolin ve poliisoindolinler oluşmaktadır. İlk kademedede polar bir bileşikle dinitrilden bazik bir isoindolin oluşmaktadır (Şekil 2.36) [74].



Şekil 2.36: Ftalosiyanyan sentezinde oluşan ara ürünler.

Polar bileşik olarak amonyak, primer veya sekonder amin, karbonsülfür, hidrojenbromür veya alkoksit bileşikleri kullanılabilir. Daha sonra bu iminoisoindolinlerin bir metal varlığında kondenzasyonları sonucu halka sistemi oluşarak ftalosiyanyan sentezi gerçekleşir (Şekil 2.37).

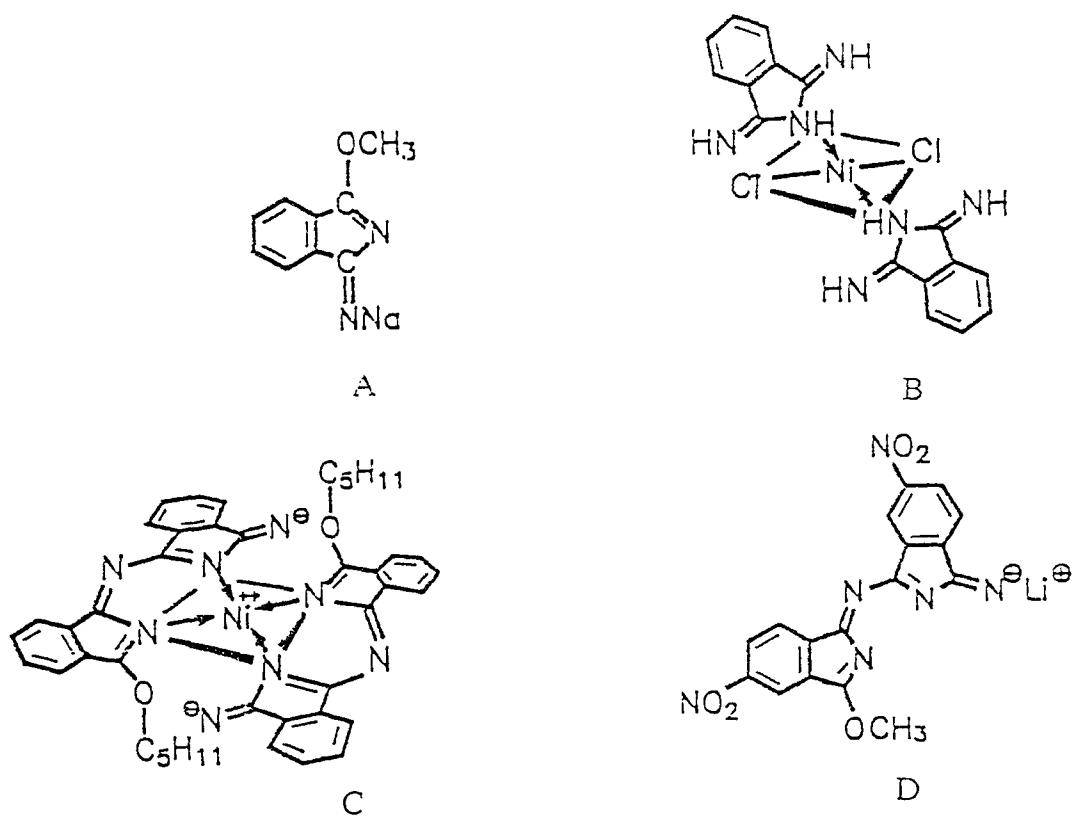


Şekil 2.37: Ftalosiyanyanlarda halka oluşum mekanizması.

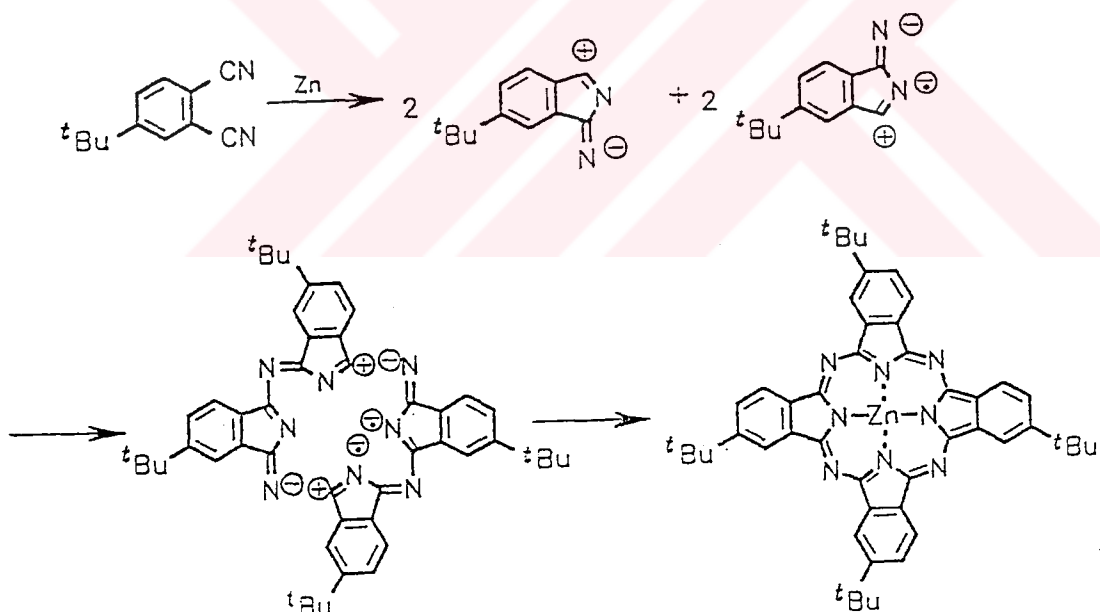
Yakın zamanlarda sübstitüe ftalosiyanyanların sentezinin 1,3-diiminoisoindolin ve sübstitüe ditiyoimid bileşığının kondenzasyonu sonucu oluşan bir ara ürün üzerinden yürüdüğü fikri ortaya atılmışsa da bu ara ürünler izole edilememiştir.

Boradkin tarafından 1,3-diiminoisoindolin'in sıcak formamid içinde NiCl_2 ile nikelftalosiyanyan sentezinde ara ürün olarak metoksiiminoisoindolinin bir sodyum türevi izole edilmiştir (Şekil 2.38A). Daha sonra Hurley aynı reaksiyonda ara ürünler nikel kompleksler izole etmiştir (Şekil 2.38B,C). Son yıllarda ise dimerik lityum tuzu (Şekil 2.38D) tetranitroftalosiyanyan oluşumu için bir ara ürün olarak izole edilmiştir.

2,9,17,24-tetra-t-butil ftalosiyanyanatoçinko(II)'nin 4-t-butil ftalonitril ve çinko tuzunun reaksiyonuyla sentezinde, farklı bir tetra-sübstitüe ftalosiyanyan izomeri elde edilir. Bu ftalosiyanyanının oluşumu sırasında görüle ara ürünler oluşum mekanizmasını açıklamaktadır (Şekil 2.39).

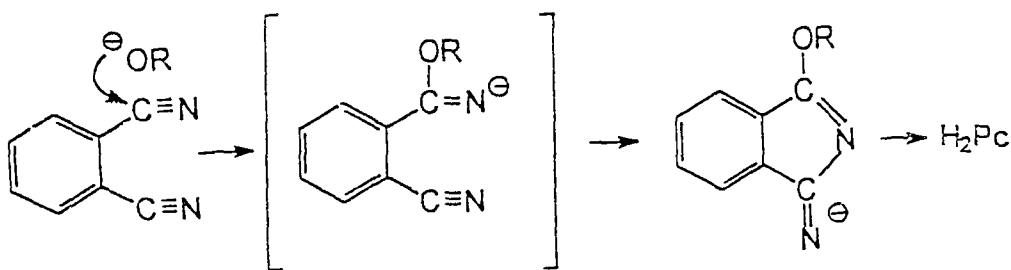


Şekil 2.38: Metal ftalosianin sentezinde izole edilebilen bazı stabil ara ürünler.



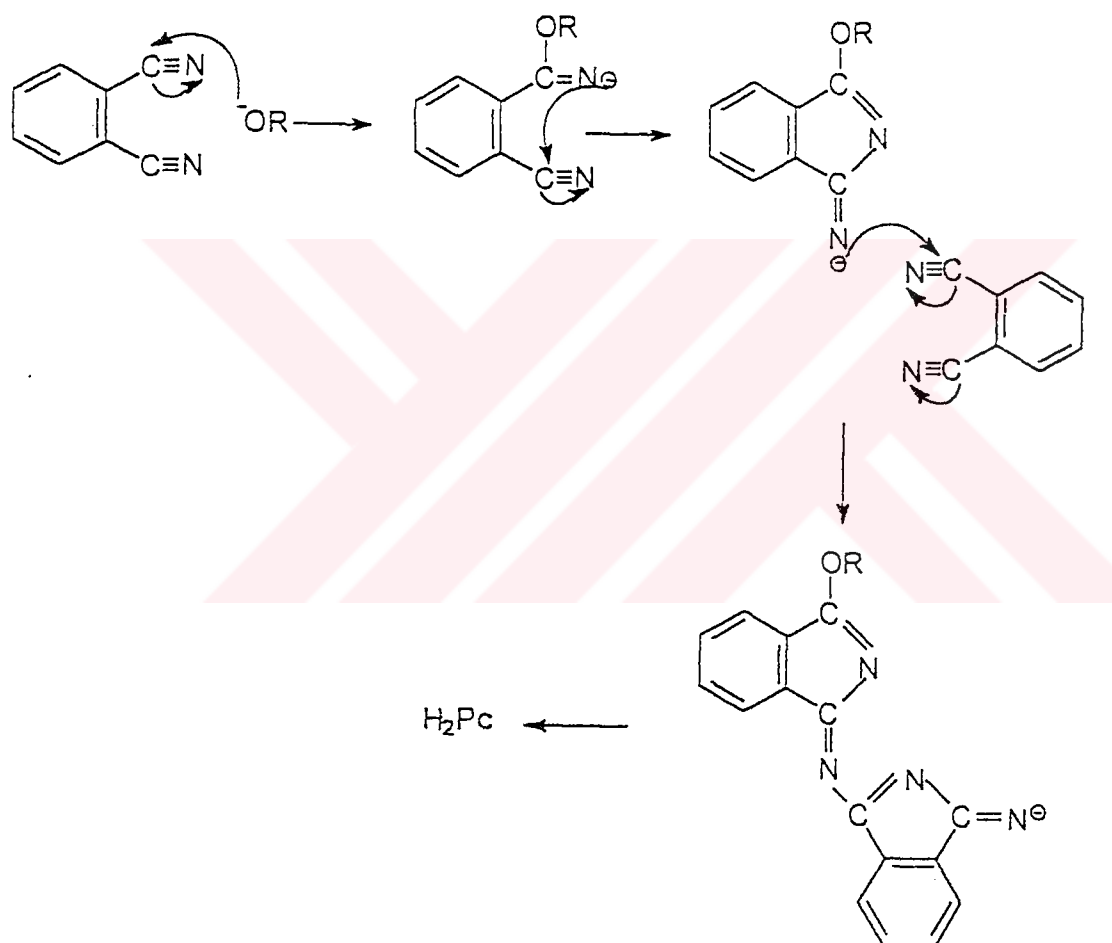
Şekil 2.39: 2,9,17,24-tetra-t-butil çinko (II) ftalosianinin oluşum mekanizması.

Yapılan birçok çalışma, ftalonitrilin alkollü çözelti içinde oda sıcaklığında dahi, katalitik miktarda sodyum alkoksit varlığında metalsız ftalosianin oluşturduğunu göstermiştir [75]. Ftalonitrilin nitril gruplarına nükloefilik atak yapan alkoksit anyonunun oluşturduğu, 1-alkoksi-3-iminoisoindolin (II) adlı ara ürün üzerinden ftalosianin elde edilmektedir (Şekil 2.40).



Şekil 2.40: Ftalonitrilden alkoksit anyonu varlığında H_2Pc sentezi.

DBU veya DBN gibi bazı organik kuvvetli bazlar kullanılarak metalsiz ftalosiyanyanın oluşum mekanizması (Şekil 2.41)'de görülmektedir. DBN'nin DBU'dan verim açısından 2 kat daha etkili olduğu yapılan çalışmalarla bulunmuştur.



Şekil 2.41: Ftalonitrilden DBU varlığında H_2Pc oluşumu.

Ftalosiyanyanın sentezinde reaksiyon, kinetik açıdan yüksek termik akvitasyon yada fotokimyasal aktivasyon enerjisi gerekmektedir. Yüksek reaksiyon ısısında ftalosiyanyanın çok hızlı olması, ara ürünlerin izole edilmesine engel olmakta ve reaksiyon mekanizması tam olarak aydınlatamamaktadır.

2.1.8. Ftalosiyanyanın Malzemelerinin Çeşitli Özellikleri ve Kullanımları

Ftalosiyanyanların çoğu önemli uygulamaları çözelti-bazlı özelliklerdir

2.1.8.1. Heterojen Katalizler

Özellikle redoks-aktif merkezi metal iyonlar içeren ftalosiyanyanlar, çoğu önemli kimyasal reaksiyonları katalizledikleri bilinmektedir ve sık sık stokrom p450 gibi biyolojik olarak çok önemli metalo-enzim içeren porfirinlerle karşılaşılırlar [76]. Buna rağmen katalitik proseslerin çoğu homojendir (örneğin, hem reaktanlar hemde Mpc kataliz çözeltideler), katı halde bulunan metal ftalosiyanyanlarda heterojen metodlara, katalizin iyileştirilmesi ve yeniden devrinin çok kolay olmasından dolayı büyük ilgi duyulmaktadır.

2.1.8.2. Suyun ve Oksijenin İndirgenmesi

Maliyet-etkili yakıt hücrelerinin geliştirilmesiyle ilgili heterojen katalitik sistemlerin en iyi çalışılmış oksijenin elektroindirgenmesidir. Bu proses elektrik enerjisini direk olarak kataliz edilmiş reaksiyondan serbest bırakır. Pahali platin metal elektrodun metal ftalosiyanyan kataliz ile kaplanmış ucuz, oldukça yönelmiş pirolitik grafit(HOPC) ile değiştirilmesi incelenmiştir. Ne yazık ki, çoğu ftalosiyanyanların su oluşumunu sağlayan daha yararlı dört elektron indirgenmesini katalizlemeden ziyade sadece oksijenin peroksit üreten iki-elektronlu indirgenmesini kataliz eder. Oksijenin dört-elektron indirgenmesini yapan eşyüzeyle porfirin dimerlerinden oluşmuş makrosiklik kataliz örnekleri vardır. Bu çalışma, metal ftalosiyanyanların moleküller yapı ve kendiliğinden-birleşme özellikleri kontrol edildiğinde artan stabilité ile ftalosiyanyan bazlı katalizlerin elde edilebileceğini ileri sürmektedir. Son yapılan çalışmalar, bazı periferal sübstítüe CoPc ve FePc türevlerinin dört-elektron indirgenme prosesini kataliz edebileceklerini göstermiştir. Örneğin, crown-eter sübstítüeli CoPc ve FePc'nin HOPG elektrotlar üzerinde artan absorplanma eğilimlerinden dolayı özellikle iyi davranış sistemleri üretirler [77]. Karşılaşılan sonuçlar sübstítüe olmamış a-CIRhPc için dahi elde edilmiştir [78].

Oldukça polar polimer poli(viniliden florür) içinde dağılmış ve geçirgen indiyum-kalay oksit elektrot üzerine depolanmış çinko ftalosiyanyan oksijenin indirmesi için etkili bir katalizdir.

Bir yüzey aktif madde kullanarak sulu ortamda küçük partiküller halinde dağılmış fotoaktif X-polimorf serbest ftalosiyanın (H_2Pc), EDTA gibi indirgeyeci madde varlığından yine oksijen hidrojenperoksiteme indirgenmesini kolaylıkla fotokatalizlerler. Ancak, bu prosesin rapor edilen kuantum verimi (Gelen her fotonun indirgediği oksijen molekülü sayısı) sadece % 0.05 dir [79].

Metal ftalosiyaniner (MPc) yararlı bir yakıt olan hidrojenin suyun indirgenmesiyle elde edilmesinde fotohassaslaştırıcılar olarak tavsiye edilmiştirler. Bu reaksiyonu başarmak için gerekli kompleks sulu sistem, suda-çözünen bir metal ftalosiyanın (örneğin, MPc-t-SO₃H), bir elektron donörü olan metil violojen ve platin metalinden oluşur [80]. Metal ftalosiyanın, elektron donörü olarak etkili sistein veya EDTA varlığında elektrokimyasal olarak metil violojen dikatyonunu monokatyon'a indirger. Metil violojen katyonu, platin yüzey üzerindeki suyun hidrojene indirgenmesini katalizler. Ancak bu çözelti-bazlı sistemler güneş enerjisinden yakıt elde edilmesinde çok yetersiz bir metoddur.

Gelişmeler, polimer-bağılı ftalosiyaniner ve sadece EDTA varlığında hidrojen oluşumunu fotokatalizlediği rapor edilmiş olan platin-kaplı bakır ftalosiyanın (CuPc) partikülleri kullanarak araştırılmıştır. Elektrod yüzeyinde depolanmış a-ClGaPc ince filmi dahi sulu çözeltiye daldırıldığı zaman hidrojenin oluşumunu fotokatalizler. Ne yazık ki, bu sistemlerin enerji-dönüşüm verimleri düşüktür. Buna rağmen, güneş enerjisinden faydalananak sudan hidrojen elde etmek için ftalosiyanın malzemelerinin kullanımının kabulü, son yıllarda ftalosiyaninerin fotoaktivitesinden anlaşılmasında yapılan dikkate değer ilerlemelerden dolayı tekrar değerlendirilmesi gereklidir.

2.1.8.3. Diğer P_c Katalitik Prosesler

Oksijenin reaktivitesi uygun bir metal ftalosiyanın ile kompleks oluşturması ile artırılır. Bu yüzden ftalosiyanın malzemeleri çok sayıda yüksekgenme reaksiyonu katalizler. Saf olmayan yağıda bulunan pis kokulu tiollerin uzaklaştırılması heterojen yüksekgeyici katalizler olan kristal CoPc ve FePc'lerin kullanılması ile başarılıır. Bu "Merox" prosesi olarak adlandırılır [81]. Merox prosesindeki değişiklikler MPc'nin çözünür olmayan polimerlere bağlanması ve silikajel'le birleşmiş kolloidal partiküllerin kullanımını içerir. Hidrojen sülfit'in eliminasyonunda benzer davranışlar gösteren FePc ve CoPc'ler deodorant malzemeleri olarak kullanılırlar [82].

Zeolit- içine hapsedilmiş ftalosiyaninler heterojen katalizde önemli bir gelişmedir. Bu malzemeler MPc'lerin kendiliğinden yükseltgenmesini engellediğinden dolayı özellikle yüksekgeyici reaksiyonlar için önemlidirler. Zeolit- içine hapsedilmiş FePc'ler alkanların yükseltgenmesinde kullanılırlar ve homojen sistemlerle karşılaşıldığında artan bir spesifiklik gösterirler [83].

Faydalı heterojen reaksiyonlara diğer örnekler karbondioksitin elektrokimyasal olarak karbonmonokside indirgenmesini içerirler ve daha ileri bir adımda karbonmonoksit metanol'e indirgenir. Her iki indirgemedi CoPc kullanımı ile başarılı olmuştur.

2.1.8.4. Pc Homojen Katalizlerinden Beklentiler

Homojen MPc katalizleri yerine yeni homojen MPc katalitik sistemleri geliştirmek için büyük potansiyel vardır. Buna RhPc ile Hidrokarbonun aktivasyonu, SnPc'ler ile kükürtdioksitin yüksekgenmesi ve çevresel öneme sahip klorlanmış aromatiklerin suda çözünen FePc-t-SO₃H kullanarak yüksekgenip parçalanması örnek gösterilebilir. İlave olarak sodyum bor hidrür kullanarak aromatik nitro bileşiklerinin aminlere dönüşümü gibi çok sayıda indirgenme reaksiyonu CoPc kullanarak başarılı olmuştur [84]. Pc homojen katalizindeki diğer potansiyel iyileştirmeler zeolit- içine hapsedilmiş malzemelerin geliştirilmesini içerir.

2.1.8.5. Adsorpsiyon Özellikleri

Çoğu poliaromatik hidrokarbonlar kalsinojeniktir. Sıradan reaktif boyalar metodolojisi kullanarak Pc boyalarının kovalent olarak pamuğa bağlanması bu sınıf bileşiklere adsorplama özelliği kazandırır ve su kirliliğinin analizinde kullanılırlar [85].

Aromatik bileşiklerin tercihen Pc adsorplama kabiliyetleri ftalosiyaninler ile kaplı silika-jel substratlarının kromotografide kullanılması ile keşfedilmiştir. Fiziksel olarak adsorbe edilmiş ve kovalent olarak bağlı ftalosiyaninlerin her ikisi de kompleks ftalosiyanin karışımının dahil olduğu aromatik bileşiklerin kromatografik ayrılımlarında sabit faz olarak kullanılmışlardır [86]. Sabit Pc fazları son zamanlarda C₆₀ ve C₇₀ fullerenlerin reaksiyon sırasında oluşan karışımada kromatografik ayrılmasında başarılı bir şekilde kullanılmışlardır.

2.1.8.6. Manyetik Özellikleri

Moleküler malzemeler üzerine kurulmuş ferro manyetlerin geliştirilmesine dikkate değer bir ilgi vardır [87]. Komşu radikal kısımlar içeren polimerler ve çok sayıda

organometalik kompleksler dahil birçok sistem incelenmiştir. Bazı paramanyetik MPc'lerin katı halde ferrromanyetik moleküller arası etkileşimler gösterdikleri rapor edilmiştir. MnPc ve tetrasiyanoeten ferromanyetik yük-transfer kompleksi oluştururlar.

β -CuPc kristal istiflerinde tek-boyutlu manyetik etkileşimler incelenmiştir [88]. Benzer olarak, tek boyutlu ferromanyetik zincirler sandviç YPc₂ komplekslerinde incelenmiştir, fakat sadece kristal formda kristalizasyon solventi olarak diklorometan içerir. Kısmi olarak proliz olmuş MnPc, FePc ve CoPc gibi sodyum metali ile indirgenmiş Pc'ler büyük ölçüde manyetik özellikler gösterirler [89]. MnPc, FePc ve CoPc malzemeler diğer benzer organik-bazlı sistemlerle karşılaştırıldığında yüksek kritik sıcaklıklar gösterirler fakat yapıları tam olarak anlaşılamamıştır. Elde edilen moleküller manyetlerin ve devam eden araştırmalar amacı, çözünürlük, optiksel geçirgenlik gibi sıradan metalik sistemlerin sahip olduğu özelliklerden farklı malzemeler ile kombine olmuş manyetizm oluşturmaktır.

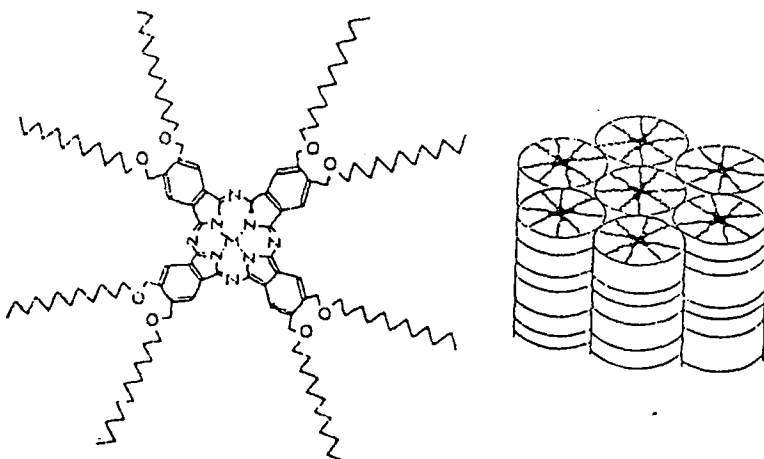
2.1.8.7. Nükleer Kimyada Uygulamaları

Pc malzemelerinin iyonlaşma radyasyonuna karşı mükemmel kararlılığından dolayı nükleer kimyada çok sayıda kullanıma sahiptirler. MPc'lerin nötronlarla yayılması zenginleşmiş radyonükleotidlerini üretirler (örneğin ⁶⁴Cu, ⁶⁰Co ve ⁹⁹Mo). Elde edilen radyonükleotidler artık Pc ile şelat oluşturmaz ve filtrasyonla reaksiyona girmemiş MPc ayrılır. Zenginleştirilmiş radyonükleotidler sulu ortamdadır. Bu “Szilard-Chalmers Prosesi” olarak bilinir [90].

Bu tekniği kullanarak çok sayıda farklı nükleotidler üretmek mümkündür, fakat bu tekniğin daha başarılı olması için MPc'nin sülfürik asit içinde metal iyonunu kaybetmemesi gereklidir. Çeşitli asidik ortamlar, ZnPc gibi asit etiketli MPc'lerden radyoisotopların hazırlanması için incelenmiştir [91].

2.1.9. Ftalosiyaninlerin Sıvı Kristal Özellikleri

Pc metal komplekslerinde periferal pozisyonlara uzun zincirli sübstiyentlerin girmesi ile diskotik sıvı-kristallerin elde edilmesi mümkündür (Şekil 2.42) [92,93].



Şekil 2.42: Uzun periferal sübstiyentler içeren ftalosianin.

2.1.9.1. Polimerik Olmayan Ftalosianin Sıvı-Kristalleri:

Polimerik olmayan sıvı-kristaller termotropik ve liyotropik sıvı-kristaller olmak üzere ikiye ayrılırlar. Çözeltide sıvı-kristal özellik gösteren bileşikler liyotropik sıvı kristal olarak adlandırılırlar. Burada solvent miktarı en önemli değişkendir.

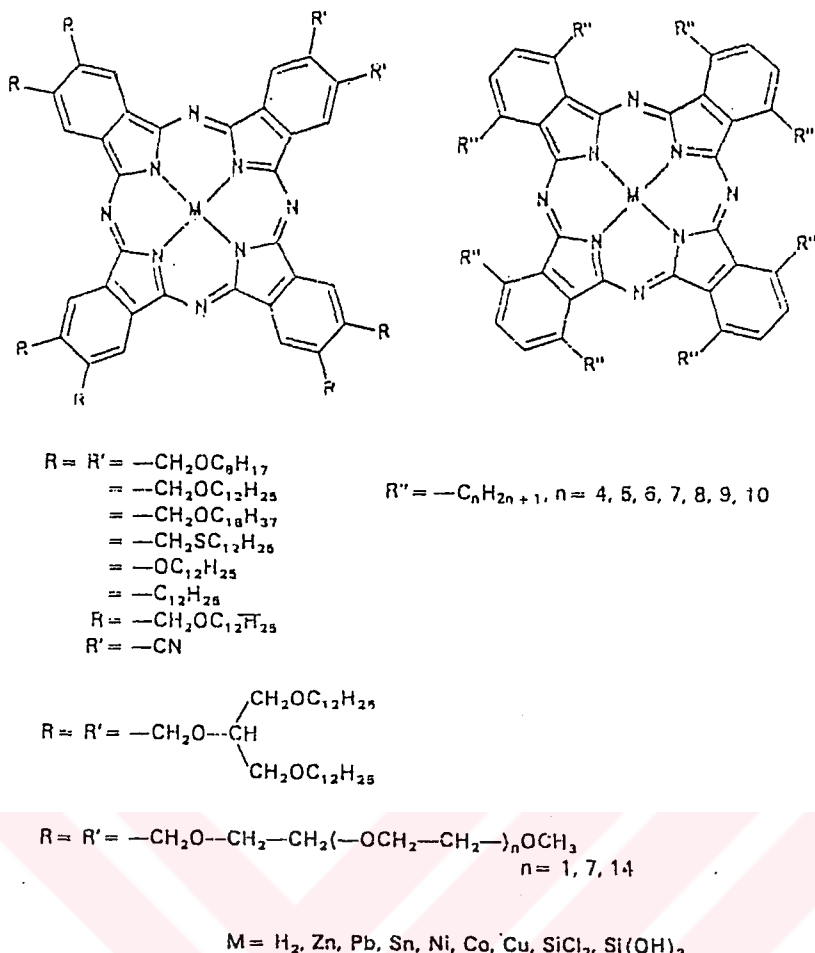
2.1.9.2. Termotropik Düşük Molekül Ağırlıklı Sıvı-Kristaller :

Çeşitli sübstiyent ve merkezi metal atomu içeren ftalosianinlerin termotropik sıvı-kristal özellik gösterdikleri bulunmuştur. Bazı örnekler şekil 2.43'de gösterilmektedir. İstenilen sıvı kristaller genellikle sübstiyü orto-dibromobenzen'den elde edilirler. Dibromo türevi Rosenmund von Braun reaksiyonu ile dinitril bileşигine dönüştürülür. Amonyakla isoindolin oradan sübstiyü ftalosianin elde edilir. Kolesterolik faz nematic fazın özel bir halini temsil eder. Kolesterolik termotropik sıvı-kristal ftalosianinlerde bilinmektedir.

(+)-2,3,9,10,116,17,23,24-oktakis[4-(dedosiloski)-2-oksapentil] ftalosianin kolesterolik fazlar için tipik bir örgü gösterir. Bu bileşik 160°C de sıvı izotropik faz verir. Soğutmaya bağlı olarak anisotropik faz 153°C'de görülür. Diskotik kolesterolik maddeler hariç sıvı fazlar sıvı-kristal ftalosianinler olarak gözlenmemiştir.

Ftalosianinler üzerine kurulu polimerik olmayan, termotropik, kristal yapılı sıvıların bazı özellikleri DSC-ölçümleri ve IR spektra yoluyla incelenir.

DSC ölçümleri sıvı-kristal ftalosianinler için endotermik geçiş değişimlerini gösterirler. Maddeler sıvı-kristal bölgesinden başlayarak soğutulduğunda, faz değişim sıcaklıklarında sık sık bir azalma olayı gözlenir [94].



Şekil 2.43: Termotropik sıvı-kristal özellik gösteren sübstitüe ftalosianinler.

Geçiş sıcaklıklarının periferal sübstituentlerin zincir uzunluklarının artmasıyla azaldığı dikkate değerdir. Uzun zincirler için moleküller arası dispersiyon kuvvetleri daha büyüktür. Bu tip bileşiklerde sıvı-kristal katı hale daha benzerdir. Bu yüzden kısa zincir içeren moleküllere zıt olarak mezofaz daha düşük bir sıcaklığa erişir. Entalpi değerlerini göz önüne alarak katıdan sıvı-kristal hale geçişte esnek zincirlerin erime noktasının etkili olduğu sonucu çıkartılabilir. Ancak simetrik malzemeler için değerler daha küçüktür [95].

Daha uzun alkil zincirleri içeren R'' -sübstitüe ftalosianinlerin geçiş sıcaklıkları daha düşük olur.

Ftalosianinlerin assosiasyonu U.V.spektroskopisi ile incelenirler. Çözünür ftalosianinler özellikle sıvı-kristal ftalosianin bileşikleri agregasyon oluşturmaya karşı hassastırlar [96].

Bu, görünür bölgedeki maksimum absorpsiyonda dikkate değer bir kaymaya ve piklerin yayvanlaşmasına sebep olur. Agregasyon derecesi, agregasyon özelliğine

sahip tetrakis (kumilfenoksi)-ftalosiyaninde incelenmesiyle gösterildiği gibi merkez metal atomunun yapısında bağlıdır. Oluşan denge hali monomerler, dimerler ve oligomerleri içerir. Bu durum konsantrasyona, ftalosiyanın üzerindeki sübstituentlere ve de merkez metal atomuna bağlıdır. Merkez metal atomu olarak Ni, Pd veya Pt içeren ftalosiyanınlar ikiden fazla molekülle asosiye olmuş agregasyon oluşturmaya eğimlidirler. Bu d^8 -elektron konfigürasyonuna sahip merkez metallerinden kaynaklanır. Agregasyon oluşumunu ispat etmek için 2,3,9,10,16,17,23,24-okta(1-dodesilosimetil)-29H, 31H ftalosiyanın emisyon spektrası kullanılmıştır [97].

Emisyonun konsantrasyon değişimine karşı hassas olmasından dolayı luminesans incelenmesi özellikle bu tür araştırmalar için uygundur. Bu ölçümler emisyon-özelliklerinin konsantrasyona kuvvetli olarak bağlı olduğunu gösterir. 2,3,9,10,16,17,23,24-okta(1-dodesilosimetil)-29H, 31H ftalosiyanın için $5 \cdot 10^{-4}$ mol/l konsantrasyonunda 755 nm ve 796 nm'de iki tane luminesans bandı gözlenir. Daha seyreltik durumda kırmızıya doğru küçük bir kayma meydana gelir. Aksi halde, spektrum sübstitüe olmamış bileşiginkine benzer. Ancak, solvent olarak benzen kullanıldığında sıcaklığa bağımlılık daha fazla olarak gözlenir. Burada tüm luminesans genlikleri sıcaklığın yükselmesiyle artar. Özellikle luminesans spektrasının konsantrasyona bağlı olmasından yola çıkarak agregasyonun muhtemelen oluşacağı kabul edilir, 755 ve 796 nm'deki bantlar agregasyonlara atfedilir.

2.1.9.3. Liyotropik Düşük Molekül Ağırlıklı Sıvı Kristaller :

4,4',4'',4''', tetrakarboksi bakır ftalosiyanın Li^+ ve Na^+ karşı iyonları bulunduğu durumda liyotropik sıvı kristal fazlar oluşturur [98].

Bununla birlikte, incelenen ftalosiyanınlardan sadece bakır kompleksi bu liyotropik davranışını gösterir. Aynı şekilde karboksilat gruplarının sulfo grupları ile yer değiştirmesiyle sıvı-kristal özellikleri kaybolur.

2.1.10. Ftalosiyanınların Elektrokromizm Özellikleri

Nadir-toprak metallerinin diftalosiyanları katı film yüzeylerinde elektrokimyasal olarak ortaya çıkan çok renkli bu değişimlerin ilk tanımı 1970 yılında Moskalev ve Kirin tarafından yapılmıştır [99]. Bu kişiler 0.1 M'lık KCl çözeltisi içerisinde, potansiyel gerilimin doymuş kalomel elektroda göre -0.9 - $+0.9$ V arasında değiştirerek saydam ve yarı iletken kalay oksit üzerindeki lutesyum diftalosiyanının

maviden yeşile ve tarçın rengine dönüşümünü gözlemişlerdir. Bu davranış operasyonel bakış açısı ile elektrokromizm olarak tanımlanmıştır. Birçok absorpsiyon spektrumları Neodyum, europium ve itriyum diftalosiyanları için incelendiğinde de benzer sonuçlar kaydedilmiştir. 1972 yılında aynı araştırmacılar lutesyum bileşiği için ilave bir data hazırlamışlar ve bu renk değişimlerini açıklamak için bazı kimyasal reaksiyonlar öne sürmüşlerdir [100].

Birkaç yıl sonra Moskalev ve Kirin'in gözlemlerinden başlayarak Nicholson ve Galiardi adlı iki araştırmacı lantanid diftalosiyanların elektriksel bilgi displaylerında kullanımı için çalışmalara başlamışlardır [101].

Günümüzdede elektrokromik diftalosiyanler üzerinde çalışmalar yapılmaktadır. Sovyet araştırmacılar, daha çok sentez, karakterizasyon, fizikokimyası, ve elektrokimyası üzerinde çalışırlarken; Amerikalılar, İngilizler, Fransız ve Japonlar, prensip olarak elektrokromik display uygulamalarında yoğun olarak çalışmaktadır.

Katı hal elektrokromizmi otuzdan fazla metalle oluşturulan ftalosiyanın bileşiklerinde gözlenmiştir. Özellikle lantanid ve aktanidler ve lantanyum, itriyum ve skandium gibi grup (III) elementlerinin sandviç tipi diftalosiyanları arasında baskın bir biçimde gözlenmiştir. Bu durum kalay, zirkonyum ve hafnium gibi grup (IV) elementleri ile oluşturulan diftalosiyanlerde de görülmektedir. Tek-halka elektrokromik ftalosiyanler metalsiz ve magnezyum elementleri içerdikleri gibi geçiş elementleri de (demir, cobalt, nikel, bakır, çinko ve molibden) içerirler. İletkenliği düşük olan maddelerde bu renk değişimlerinin gözlenmesi daha zordur.

Elektrokromizme dayalı pekçok kimyasal çalışmalar, çözünürlüğü artırmak için değişik sübstitüe gruplar içeren ftalosiyanlerin çözeltilerinde de yapılmıştır. Çözünürlüğü artırıcı gruplar, sülfonyik asit, tersiyer butil, dodesil gibi gruptlardır. Sübstitüe ftalosiyanler (çok büyük gruplar içereler bile) çözücsüz ortamda bile elektrokromizm özelliği gösterirler. Bu tip ftalosiyanler arasında tersiyer butil, propoksi grupları, siyano grupları, oktametil grupları ve dodesiloktametil grupları içeren lantanid ftalosiyanları önemli bir yer tutmaktadır. Crown-eter sübstitüe grup içeren lutesyum diftalosiyanları üzerinde yapılan son çalışmalar bunların elektrokromik davranış sergilediklerini göstermiştir [102].

Bütün ftalosiyanler aslında potansiyel olarak elektrokromik özellik gösterirler. Çünkü ftalosiyanlerin farklı görünür spektrumlarına karşılık gelen birçok yüksekgenme sayıları vardır.

Diftalosiyanınlar büyük madde gruplarını içerirler. Kirin ve Moskalev adlı araştırmacılar 1971 yılına kadar bilinen 20 elementin oluşturduğu diftalosiyanınları listelediler ve toplam olarak bu tip kompleksleri oluşturabilen 41 elementin bulunabileceği tahminini yapmışlardır [103]. Bu konuda temel nokta ftalosiyanın ligandi içindeki uygun olan $1,35 \text{ \AA}^{\circ}$ luk koordinasyon boşluğundan metal atomunun yarı çapının büyük olmasıdır. Böylece metal iyonu iki makrosiklik arasında yerleşebilir. Daha düşük iyonlar halkaya koordine olur ve monoftalosiyanınları oluşur bu durumda elektrokromizm olayı kolayca gözlenemez.

2.1.11. Metal Ftalosiyanınların Elektronik Yapısı

Metal ftalosiyanınlar D_{4h} nokta grubuna aittirler. MPc'lerin elektronik yapısı Gouterman ve çalışma grubu tarafından tanımlanmış Stillman ve Nyokang tarafından geniş olarak tartışılmıştır [104]. HOMO seviyesi $1a_{1u}$, sonraki düşük dolu orbital $1a_{2u}$ 'dır. LUMO orbital $1eg(\pi^*)$ ve sonraki $1b_{1u}(\pi^*)$ dır. Dolu üst iki π orbitalinden 1 eg (π^*) orbitaline geçiş Q (600-750 nm) ve Soret (veya B) $\pi \rightarrow \pi^*$ (300-450 civarı) olarak adlandırılan geçişleri oluşturur. Bunların herikisi $1E_u$ uyarılmış halini içerirler. Fakat $1a_{1u}$ ve $1a_{2u}$ orbitalleri arasındaki enerji farkından dolayı etkili olarak karışmazlar (Bu durum porfirin serisindekine benzemez). Ana grup Pc'lerin redoks aktiviteleri HOMO, $1a_{1u}$ 'dan elektronun başarılı uzaklaştırılması sonucu olan yüksekgemme ile direk olarak ilgilidir. Dört elektronun $1eg$ (LUMO)'ya kolaylıkla ilave olmasından dolayı (indirgenme) Pc(-5) ve Pc(-6) serilerini oluşturan Pc(-3), Pc(-4), Pc(-5) ve Pc(-6) halka indirgenmeleri sırasıyla $(a_{1u})^2eg$ $S=1/2$; $(a_{1u})^2(eg)^2$ $S=0$, $(a_{1u})^2(eg)^3$ $S=1/2$; ve $(a_{1u})^2(eg)^4$ $S=0$ temel hal elektron konfigürasyonlarına sahiptirler. Tek sayıda elektrona sahip Pc(-5) ve Pc(-3) iyonları ftalosiyanın ligandının serbest radikal anyonları gibi g faktörü serbest-elektroninkine yakın yerde paramanyetizm gösterirler. Pc(-4) kısımlarının temel halinin triplet olacağı beklenебilir fakat deneysel çalışmalar onun singlet olduğunu göstermiştir [105]. Mg(II), Ni(II) gibi diamanyetik merkez iyonları ile Pc(-4) kısımları ESR spektrumu göstermezler fakat Co(II) ve Cu(II) gibi paramanyetik kısımlar ile merkez iyonu için karakteristik olan ESR spektrumu gözlenir. Eğer Pc(-4) kısımları gerçekte $S=1$ fragmentinde ise, örneğin Cu(II) merkezi ile kapplingden sonra $S=3/2$ kısımlarını verebilir (Cu(II) tipi bir spektrum vermez). Böylece Pc(-4) kısımları için muhtemelen $S=0$ dır. Ancak, bazı metal iyonları için başarılı indirgenme proseslerininoluştugu birkaç anormal halde Pc(-4) için her zaman $S=0$ olmayacağı söylenebilir. Fakat bazı

metal iyonları durumunda S=1 olabilir. İlk iki indirgenme prosesi yaklaşık 0.4 – 0.5 V ile ayrılır.

Hidrojen ve Magnezyum gibi elektro pozitif merkez iyonları için üçüncü indirgenme 0.8 V olarak oluşur ve ikinci indirgenmeden daha negatiftir. Ancak, daha polarize merkez metal iyonları ile ayırma Zn(II) için yaklaşık 0.5 – 0.6 V'dan daha küçüktür. Ni(II) ve Cu(II) için yaklaşık 0.8 V kadar yükselir. Dördüncü indirgenme genellikle 0.4 – 0.5 V ve üçüncü prosesden negatif olarak gözlenir.

Geçiş metali ftalosiyanlerin redoks özellikleri ana grup metalin d enerji seviyelerinin ftalosiyanın ligandının HOMO (π) ve LUMO (π^*) orbitaleri arasında yer alabileceğinden dolayı ana grup metal ftalosiyanlerin redoks özelliklerinden farklıdır.

Bu bir veya daha fazla sayıda metal'den liganda veya ligand'dan metala yük transfer geçişlerinin görünür veya yakın-infrared bölgesinde gözlenebileceği sonucu elde edilir.

Metalin yüksekgenmesi veya indirgenmesi, halkanın yüksekgenme veya indirgenmesine benzer potansiyellerde oluşabildiği redoks sonucu elde edilir.

Benzer metal redoks prosesleri büyük ölçüde halkanın redoks potansiyellerini etkilediğinin bile farkına varılması önemlidir. Böylece, örneğin Co(II) Pc(-2)'nin (Co(II) Pc(-1))⁺ e) gibi kısımların halka yüksekgenmesi ile ftalosiyanın halkasının polarizasyonundan dolayı [Co(III)Pc(-2)]⁺ nin daha az pozitif potansiyel olacaktır.

Diyamanyetik merkezi metal ve ligandda tek sayıda elektron içeren yüksekgenmiş veya indirgenmiş ftalosiyanları paramanyetizmden dolayı ESR sinyalleri verirler bu yüzden ESR spektroskopisi ile incelenebilirler. Benzer yapılar genellikle organik serbest radikaller için karakteristik olan serbest elektronun g değeri civarında g ≈ 2'de bir sinyal verirler. Örneğin, Pc(-1) yapıları (1a_{1g})¹ konfigürasyonuna sahiptir. Agregasyondan kaynaklanan relaksasyon ve ftalosiyanın halkası üzerindeki spin yoğunluğunun geniş delokalizasyonundan dolayı genellikle aşırı iyi yapı gözlenemez.

ESR spektroskopisi ile Pc anyon veya katyon radikallarının karakterizasyonunda, serbest radikalın ESR sinyallerinin çok iyi değerlendirilmesi gereklidir. Çünkü çoğu diamanyetik ftalosiyanın bileşikleri nötral formda (indirgenmemiş veya yüksekgenmemiş) katı halde ve bazen çözelti halinde g = 2 'de zayıf bir sinyal

verirler. Bu ftalosiyainlerin ESR sinyalinin orjini, safsızlık terimleri ve π -bağlarının kırılması veya eksik yapılar göz önüne alınarak değerlendirilmiştir [106]. Diyamanyetik MPc'de serbest yapıların sayısının bağımlılığı ve moleküler oksijen varlığında ESR sinyalinin genliği, paramanyetizm oluşumuna O₂ ile ftalosiyain molekülü arasında yük-transfer reaksiyonun neden olduğunu inanılır. Böylece MPc ve H₂Pc H'ler için ESR sinyalleri, ftalosiyainin halkasının kısmi olarak yüksekgenmesine atfedilir.

2.2. Çalışmanın Amacı ve Kapsamı

Bu yüzyılın başında sentezlerinden bugüne kadar bir çok alanda kullanılmakta olan ftalosiyainlerin önemi her geçen gün daha da artmaktadır. Endüstriyel olarak büyük öneme sahip ftalosiyainler ilk olarak mürekkep, plastiklerin ve metal yüzeylerinin ve giysilerin renklendirilmesinde kullanılmışlardır. Ftalosiyainlerin boyalar, optik ve elektriksel malzemeler olarak ticari kullanım alanlarının yanında yakıt pilleri, kimyasal hassaslaştırıcılar, solar piller, fotodinamik kanser terapi, lazer boyaları, sıvı-kristal renkli display gibi yüksek teknolojik kullanım alanlarına uygulamalarında her geçen gün artmaktadır. Sübstitüe olmamış ftalosiyainlerin organik çözücülerde çözünür olmamalarından dolayı yapılan çalışmaların amacı çözünür ftalosiyainlerin elde edilmesidir.

Amaca uygun sübstitüe grupların ftalosiyainin halkasının periferal veya periferal olmayan pozisyonlara bağlanması ftalosiyainlerin çözünürlüğü yanında termal kararlılık, elektriksel iletkenlik ve redoks potansiyelleri gibi uygulamada önemli ek faktörler iyi yönde geliştirmesi sağlanabilir [107,108]. Bu amaçla grubumuz tarafından crown-eter, monoaza, tetraaza ve diazatrioksa makrosiklik gruplar içeren ftalosiyainlerin sentezi başarılı olmuştur. Bu gibi makrosiklik gruplar çözünürlüğünü artırması yanında ilave olarak değişik türde iyonlarla bağ yapma özelliği de kazandırmıştır.

Döner olarak tiyoeter grupları ile oksa ve aza- grupları arasında alkali ve geçiş metal iyonlarıyla kompleks oluşturma eğilimi karşılaştırılabilir [109]. Daha önce yayınlanmış çalışmalarında, alkiltiyo-sübstitüe ftalosiyainlerin Q bandı absorpsiyonlarının daha düşük enerji bölgesine kaydığını görülmektedir [110,111,112]. Bu çalışmanın ilk aşamasında farklı ftalodinitril türevlerinden yola çıkarak asimetrik olarak sübstitüe çinko(II) ftalosiyainin sentezlenmiştir. Altı tane uzun zincirli alkiltiyo

grubu taşıyan bu ftalosiyanın yaygın olarak kullanılan organik solventlerde oldukça iyi çözünmektedir.

İkinci aşamada dört adet periferal olarak 13-üyeli dioksaditiya makrohalkaları içeren yeni tip ftalosiyanınlar sentezlenmiştir. Bu amaçla, katehol'den yola çıkılarak ele edilen dioksaditiya makrosiklik türevinden (5) kobalt ve çinko ftalosiyanınlar sentez edilmiştir.

(5) bileşininin 1-hekzanol içerisinde kuvvetli baz olan DBU varlığında susuz Lu(Oac)₂ ile reaksiyona sokularak Lutesyum Bis(ftalosiyanın) bileşiği de elde edilmiştir.

Ftalosiyanınların ve ara ürünlerin önerilen yapıları, elementel analiz, IR, ¹H-NMR, UV/VIS, MS, ESR ve atomik absorpsiyon spektrumları, yardımıyla tespit edilmiştir.

3. KULLANILAN MADDE VE ALETLER

3.1. Maddeler

4,5-dikloro-1,2-benzendikarboksilik asit, asetik asit, asetik anhidrit, 40-60 petrol eteri, dietil eter, formamid, amonyum hidroksit (% 25), etil alkol, metil alkol, tiyonil klorür, dimetil formamid, 2-merkapto etanol, asetil klorür, piridin, diklormetan, kloroform, sodyum sülfat, dimetil sülfoksit, tetrahidrofuran, potasyum karbonat, n-pentanol, katehol, 2-kloretanol, sodyum hidroksit, benzen, brom, sodyum iyodür, 1,3-propan ditiyol, sezyum karbonat, 1,8-diazabisiklo[5.4.0]-undek-7-ene(DBU), cobalt (II) asetat, çinko (II) asetat, bakır siyanür, merck, fluka ve aldrich firmalarının kimyaca saf çözücü ve kimyasal maddeleridir.

3.2. Aletler

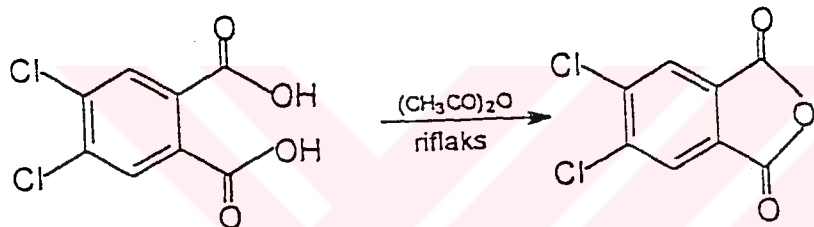
Infrared spektrofotometresi	: Mattson 1000 FTIR
Ultraviole-visible spektrofotometresi	: Unicam UV/VIS
Elementel Analiz	: Carlo-Erba 1106
NMR Spektrometresi	: Bruker AC-200 MHz
Kütle Spektrometresi	: VG ZAB Spec
Elektron Spin Rezonans Spektrometresi	: Bruker 380 EMX
Atomik Absorpsiyon Spektroskopisi	: 180 - 80 Hitachi

4. DENEYSEL KISIM

4.1. Başlangıç Maddelerinin ve Yeni Maddelerin Sentezi

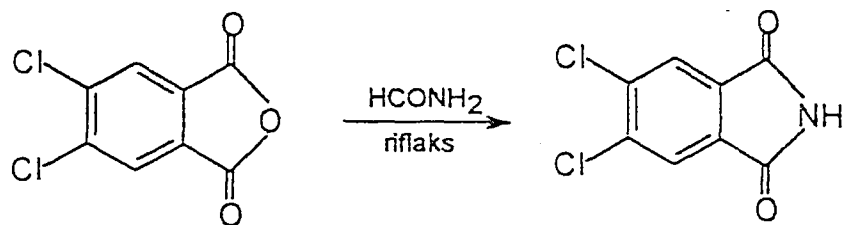
4.1.1. 5,6-Dikloro-1,3-izobenzofurandion [113] :

30 gr (0.127 mol) 4,5-dikloro-1,2-benzendikarboksilik asit, 70 ml asetik anhidrit ile 12 saat süreyle yağ banyosu üzerinde geri soğutucu altında kaynatılır ve oluşan asetik asit yavaş olarak kuruluğa yakın olacak şekilde destillenir. Geriye kalan açık beyaz renkli çökelti soğutulur ve önce petrol eteri ve daha sonra dietileterle yıkandır. Vakumda 100°C de kurutulur. Verim : 25.7 gr (% 93), E.N. : 184-186°C.



4.1.2. 5,6-Dikloro-1H-izoindol-1,3(2H)-dion [113] :

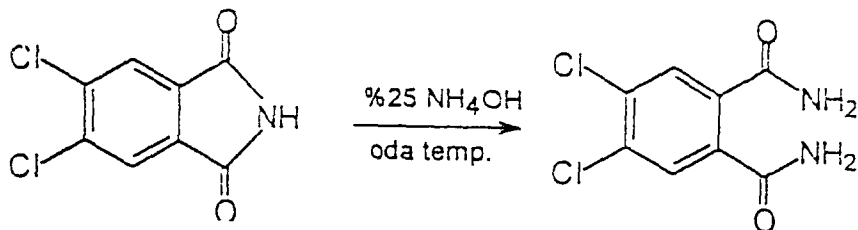
22 gr (0.1 mol) 5,6-dikloro-1,3-izobenzofurandion 30 ml formamid içerisinde 6 saat süreyle riflaks edilir. Karışım oda sıcaklığına soğutulur oluşan çökelti bol su ile yıkandır. Elde edilen beyaz ürün 100°C'de vakumda P_2O_5 üzerinden kurutulur. Verim 21.2 gr (% 98), E.N. : 193-195°C.



4.1.3. 4,5-Dikloro-1,2-benzen dikarboksamid [113] :

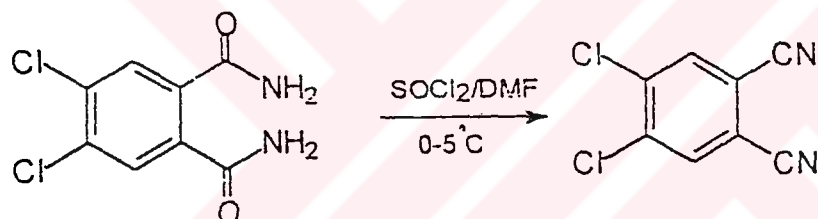
22 gr (0.1 mol) 5,6-dikloro-1H-izoindol-1,3(2H)-dion 300 ml % 25'lik amonyum hidroksit içinde oda sıcaklığında 48 saat karıştırılır. Oluşan sarı renkli çökelti süzülür

ve nötral olana kadar saf suyla yıkanır. Etanolden kristallendirilir. Verim 18 gr (% 77), E.N. : 245-247°C.



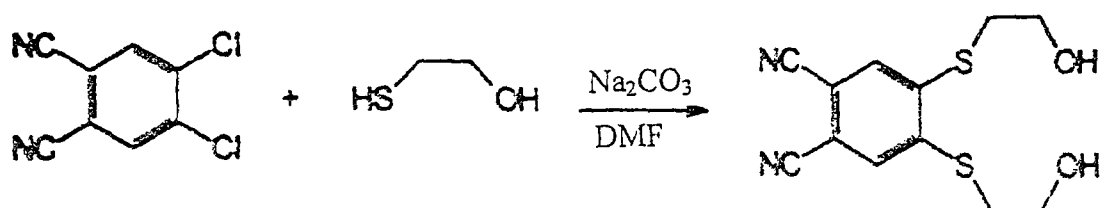
4.1.4. 4,5-Dikloro-1,2-disiyanobenzen [113] :

70 ml tiyonil klorür (SOCl_2) 0°C'ye soğutulmuş susuz dimetil formamid (100 ml) içine argon altında damla damla ilave edilir. Daha sonra bu karışımı 20 gr (0.086 mol) 4,5-dikloro-1,2-benzendikarboksamid 2 saat süreyle ilave edilir. Karışım 5 saat 0-5°C arasında daha sonra 12 saat oda sıcaklığında karıştırılır. Reaksiyon karışımı 700 ml buzlu suya yavaş yavaş ilave edilir. Oluşan çökeltiler süzülür bol suyla yıkanır ve metanolden kristallendirilir. Verim 13 gr (% 76), E.N.: 182-184°C.



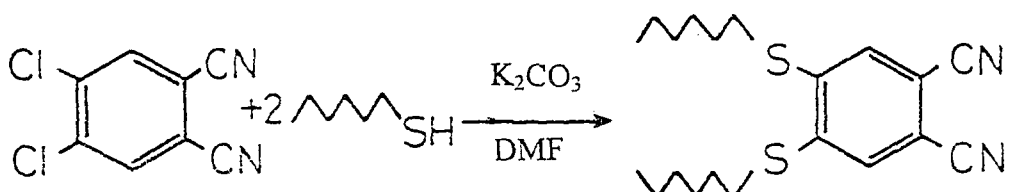
4.1.5. 1,2-Bis(hidroksietilmerkapto)-4,5-disiyanobenzen [114] :

4.46 gr (57.08 mmol) 2-merkaptoetanol 35 ml kuru dimetilformamid içinde azot altında çözülür ve 5 gr (25.40 mmol) 1,2-dikloro-4,5-disiyanobenzen katı olarak ilave edilir. 50°C'de 15 dakika süreyle karıştırılan çözeltiye 9.40 gr (98.7 mmol) sodyum karbonat porsyonları halinde 2 saat içinde ilave edilir. Reaksiyon karışımı oda sıcaklığında 48 saat karıştırılır. Sarı renkli reaksiyon karışımı 500 ml buzlu suya dökülür ve 2 saat karıştırılır. Oluşan katı madde süzülür bol suyla yıkarak nötralleştirilir. Metanolden kristallendirilir. Verim: 4.7 gr (% 66), E.N. : 162-164°C.



4.1.6. 1,2-Di(hekziltiyo)-4,5-disiyanoibenzen (1) [115] :

7.165 gr (60.6 mmol) hekzantiyol 35 ml kuru dimetilformamid içerisinde azot altında çözülür ve 5.91 gr (30 mmol) 1,2-dikloro-4,5-disiyanoibenzen ilave edilir. 15 dakika karıştırıldıktan sonra 15 gr (109 mmol) potasyum karbonat porsiyonlar halinde 2 saat içerisinde ilave edilir. Reaksiyon karışımı azot altında oda sıcaklığında 12 saat karıştırılır. 300 gr buzlu suya dökülür oluşan sarı renkli katı madde süzülür. Bol suyla yıkarak nötralleştirilir. Etanolden kristallendirilir. Verim 12.61 gr (% 80), E.N. : 58°C.

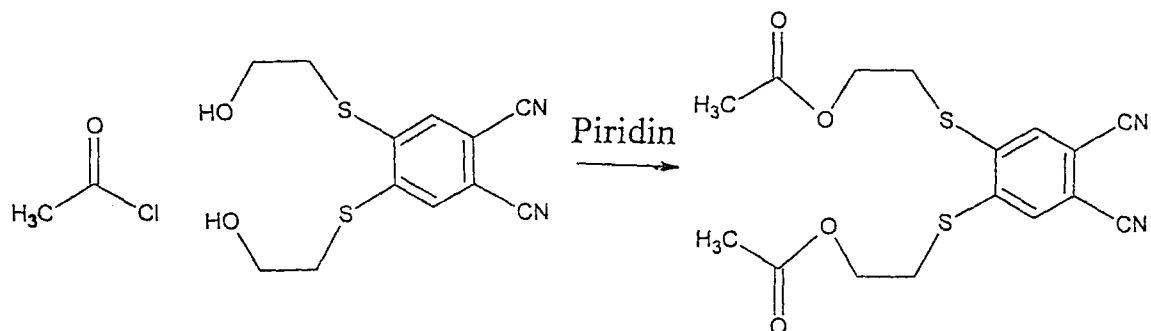


4.1.7. 1,2-Bis(2-asetiloksi-ethylmerkapto)-4,5-disiyanoibenzen (2) [116] :

0.560 gr (2 mmol) 1,2-Bis-(hidroksietilmerkapto)-4,5-disiyanoibenzen 5 ml kuru piridinde azot altında çözülür ve 0°C'ye soğutulur. 0.345 gr (4.39 mmol) asetil klorür damla damla ilave edilir. 2 saat 0 °C'de ve sonra 12 oda sıcaklığında karıştırılır oluşan sarı renkli karışım 100 gr buzlu suya dökülür ve oluşan katılar süzülür etanolden kristallendirilir, C₁₆H₁₆N₂O₄S₂ Verim 0.51 gr (% 78.46), E.N. : 89-91°C.

Madde dimetil sülfoksit, tetrahidrofuran, aseton, dimetil formamid ve sıcakta etanolde çözünür.

Teorik (%)	C 52.74	H 4.39	N 7.69
Analiz (%)	C 52.61	H 4.33	N 7.60

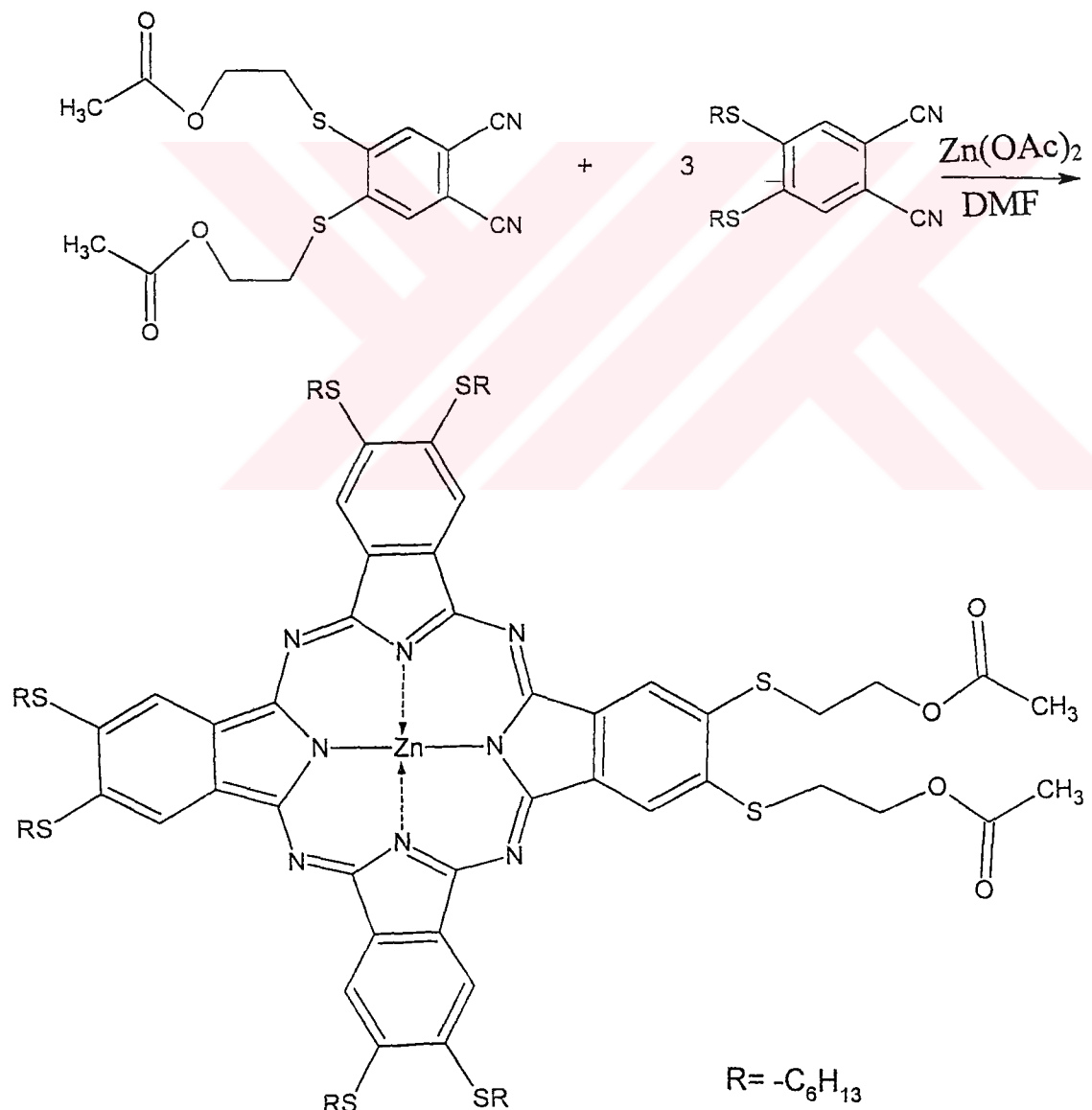


4.1.8. [Asimetrik Ftalosiyaninato] Zn (II) (3) [117] :

0.050 gr (0.137 mmol) **2**, 0.148 gr (0.412 mmol) **1** ve (0.017 gr, 0.137 mmol) susuz çinko (II) asetat 1.25 ml kuru dimetil formamid içerisinde azot atmosferinde 170°C'de 12 saat ısıtılarak karıştırılır. Reaksiyon tamamlandıktan sonra oda sıcaklığında soğutulur. 5 ml etanol ile seyreltilir, oluşan çökeltiler süzülerek ayrılır. Koyu yeşil renkli ürün kolon kromatografisi (silikajel, önce 1:10/ karbontetraklorür : Tetrahidrofuran, sonra kloroform) ile saflaştırılır. C₇₆H₁₀₀N₈O₄S₈Zn Verim : 0.032 gr (% 14.14).

Madde kloroform, diklormetan, tetrahidrofuran, dimetilformamid'de çözünür.

Teorik (%)	C 60.47	H 7.42	N 6.41	Zn 4.33
Analiz (%)	C 60.55	H 6.41	N 7.35	Zn 4.20



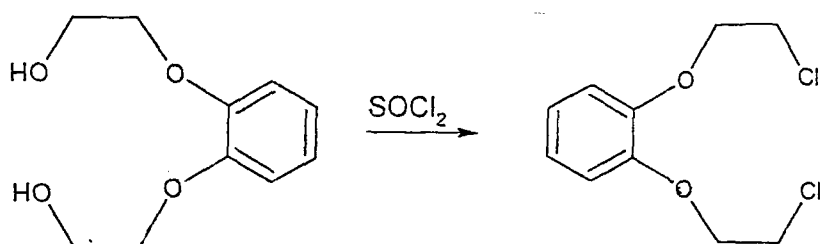
Şekil 4.1 : Asimetrik olarak sübstitüe Zn (II) ftalosiyanin.

4.1.9. 1,2-Bis(hidroksietoksibenzen) [118] :

27.5 gr (0.25 mol) katahol 250 ml etilakol de azot altında çözülür ve 50°C'ye ısitılır. Bu çözeltiye 25.2 gr (0.6 mol) sodyum hidroksit toz haline getirilerek ilave edilir. Sodyum hidroksitin çözünmesini sağlamak için 10 ml su ilave edilir. Çözünme tamamlandıktan sonra 48 gr (0.6 mol) 2-kloretanol bir damlatma hunisi yardımıyla yarı saat içinde damla damla ilave edilir. Sonra reaksiyon karışımı riflaks sıcaklığına getirilir ve bu sıcaklıkta 20 saat tutulur. Reaksiyon tamamlandıktan sonra karışım oda sıcaklığına soğutulur oluşan tuz süzülüp ayrılır. Süzüntü evaporatorde çekilir. Ele geçen yağimsı madde 750ml kloroformda çözülür, 1 M 100 ml sodyum hidroksit çözeltisi ve bunu takiben iki kez 200 ml'lik porsiyonlar halinde suyla yıkanır. Kloroform fazı sodyum sülfatla kurutulur. Kloroform evaporatorde uzaklaştırılır geriye beyaz madde kalır. Verim : 15.86 gr (% 46), E.N. : 78°C.

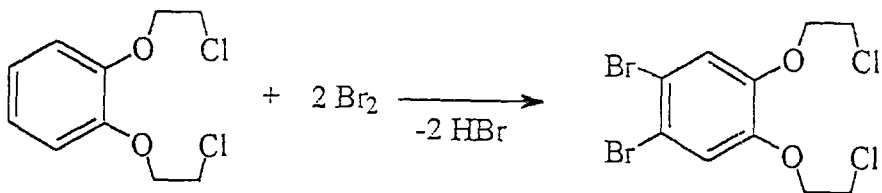
4.1.10. 1,2-Bis(2-kloroetoksibenzen) [118,119] :

15.86 gr (0.080 mol) 1,2-Bis(hidroksietoksibenzen) 14 ml piridin (0.17 mol) ve 70 ml benzen karışımı riflaks sıcaklığında çözülür. Çözeltiye 20.25 gr (12.3 ml) tiyonil klorür 3 saat içinde ilave edilir. İlave edildikten sonra 16 saat riflaks edilir. Oda sıcaklığına soğutulan reaksiyon karışımına 1.75 ml derişik HCl'nin 7.5 ml sudaki çözeltisi 15 dakikada ilave edilir. Reaksiyon karışımı ayırmaya hunisine alınır. Ürünü içeren üst faz (benzen fazı) ayrılır ve sodyum sülfatta kurutulur. Benzen evaporatorda uzaklaştırılır. Kristalimsi madde elde edilir. Verim : 15 gr (% 82) E.N. : 64°C.



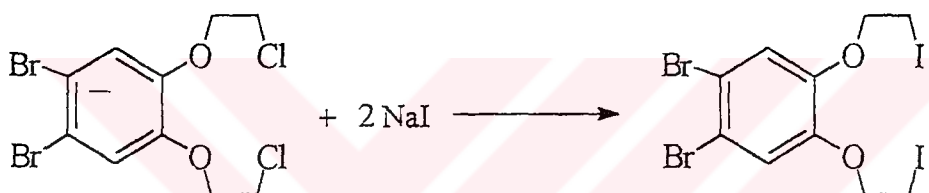
4.1.11. 1,2-Bis(2-kloroetoksi)-4,5-dibromobenzen [120] :

12,5 gr (0.053 mol) 1,2-Bis(2-kloroetoksi)benzen 30 ml soğuk asetik asitte çözülür. 16 gr (0.100 mol ; 5.16 ml) moleküler brom 85 ml asetik asitte çözülmektedir. Yaklaşık 4 saat içinde ilave edilir. İlave bittikten sonra oda sıcaklığında 2 gün karıştırılır. Reaksiyon karışımı 500 gr buzlu suya dökülür ve 2 saat karıştırılır. Oluşan beyaz çökeltili süzülür bol suyla yıkanır. Etanolden kristallendirilir. Verim : 16.72 (% 80), E. N. : 81°C



4.1.12. 1,2-Bis(2-Iyodoetoksi)-4,5-dibromobenzen [121] :

7 gr (0.017 mol) 1,2-Bis(2-kloroetoksi)-4,5-dibromobenzen ve 10.6 gr (0.071 mol) sodyum iyodür 180 ml asetonda çözülmektedir. İki gün süreyle riflaks edilir. Reaksiyon karışımı oda sıcaklığında soğutulup oluşan tuz süzülür asetonla yıkılır. Süzüntü ve yıkama çözeltileri birleştirilerek evaporatörde buharlaştırılır. Kalan yağimsı madde 100 ml kloroformda çözülmüş iki kez 100 ml'lik suyla yıkılır. Kloroform fazı sodyum sülfatla kurutularak evaporatörde buharlaştırılır. Kalan yağimsı madde etanolden kristallendirilir. Verim : 6.8 gr (% 67), E.N. : 73°C.

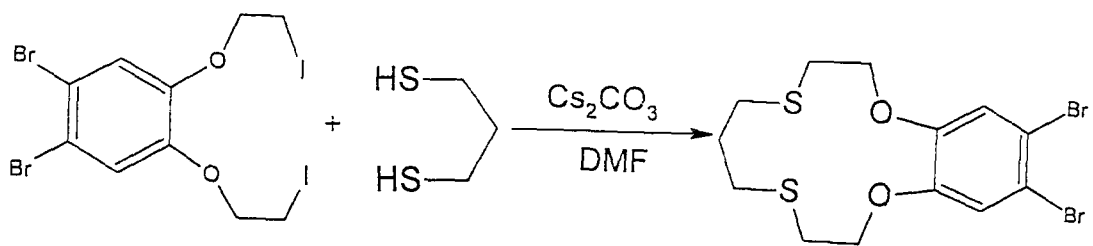


4.1.13. Dioksaditiya Makrosiklik Sentezi (4) [61] :

6.52 gr (20.04 mmol) Cs_2CO_3 içeren kuru DMF (190 ml) azot altında karıştırılarak 50°C'ye ıstırılır. Bu karışımı 9.63 gr (16.7 mmol) 1,2-Bis(2-idoetoksi)-4,5-dibromobenzen ve 1.80 gr (16.7 mmol ; 1.67 ml) 1,3-propanditiyol'un 90 ml DMF'deki çözeltisi 6 saat süreyle damla damla ilave edilir. Karışım 48 saat aynı sıcaklıkta karıştırılır. Reaksiyon tamamlandıktan sonra 750 gr buzlu suya ilave edilir. Oluşan beyaz çökeltiler süzülür, suyla yıkarak nötralleştirilir. 200 ml kloroform içine alınır ve çözünmeyen kısımlar süzülerek ayrılır. Kloroform fazı sodyum sülfat ile kurutulur. Kloroform evaporatörde buharlaştırılır. Kalan beyaz madde kloroform-dietileter karışımından (10:12 ; Kloroform:dietileter) kristallendirilir. $\text{C}_{13}\text{H}_{16}\text{Br}_2\text{O}_2\text{S}_2$
Verim: 4.25 gr (% 59), E.N.: 142-145°C.

Madde kloroform, diklorometan, tetrahidrofuran, aseton, DMF'de çözünmektedir.

Teorik (%)	C 36.43	H 3.73
Analiz (%)	C 36.12	H 3.40

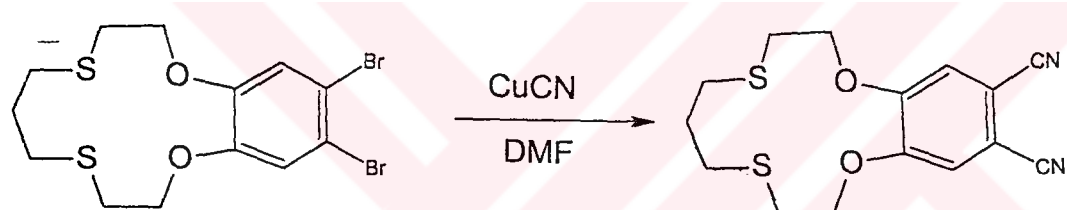


4.1.14. Dioksaditiya Makrosiklik Sentezi (5) [120] :

4 gr (9.34 mmol) 4 bileşigi ve 4.18 gr (46.7 mmol) CuCN azot altında 40 ml kuru DMF içerisinde 160°C de 12 saat süreyle karıştırılır. Reaksiyon bitiminde oda sıcaklığına soğutulur ve 235 ml amonyak (% 25'lik) içerisinde dökülür. İçerisinden 4 saat süreyle hava geçirilir. Oluşan çökeltiler süzülür, bol suyla yıkanaarak nötralleştirilir. Etanolden kristallendirilir. C₁₅H₁₆N₂O₂S₂ Verim : 2.98 gr, (% 56.4), E.N > 230°C

Teorik (%) C 56.22 H 5.03 N 8.74

Analiz (%) C 56.04 H 4.62 N 7.60



4.1.15. (Tetrakis-Makrosiklik-Ftalosiyayaninato) Zn (II) (6) [122] :

0.150 gr (0.46 mmol) 5, 0.021 gr (0.117 mmol) susuz çinko (II) asetat ve 27.4 µl (0.117 mmol) DBU 1.2 ml susuz 1-pentanol içerisinde azot altında 6 saat süreyle riflaks edilir. Oda sıcaklığında soğutulan karışım etanol (5 ml) ile seyreltilir, oluşan koyu yeşil renkte çökeltiler süzülür. Etanol, metanol, THF, kloroform, toluen ile defalarca kaynatılarak süzülür. Daha sonra DMF ile son olarak sıcak etanol ve dietileterle yıkayıp vakumda kurutulur. C₆₀H₆₄N₈O₈S₈Zn , Verim : 60 mg, (% 38.21)

Teorik (%) C 53.51 H 4.71 N 8.32 Zn 4.86

Analiz (%) C 53.40 H 4.30 N 7.25 Zn 4.22

Koyu yeşil renkli madde organik solventlerde çözünmemektedir.

4.1.16. (Tetrakis-Makrosiklik-ftalosiyayaninato) Co (II) (7) [122] :

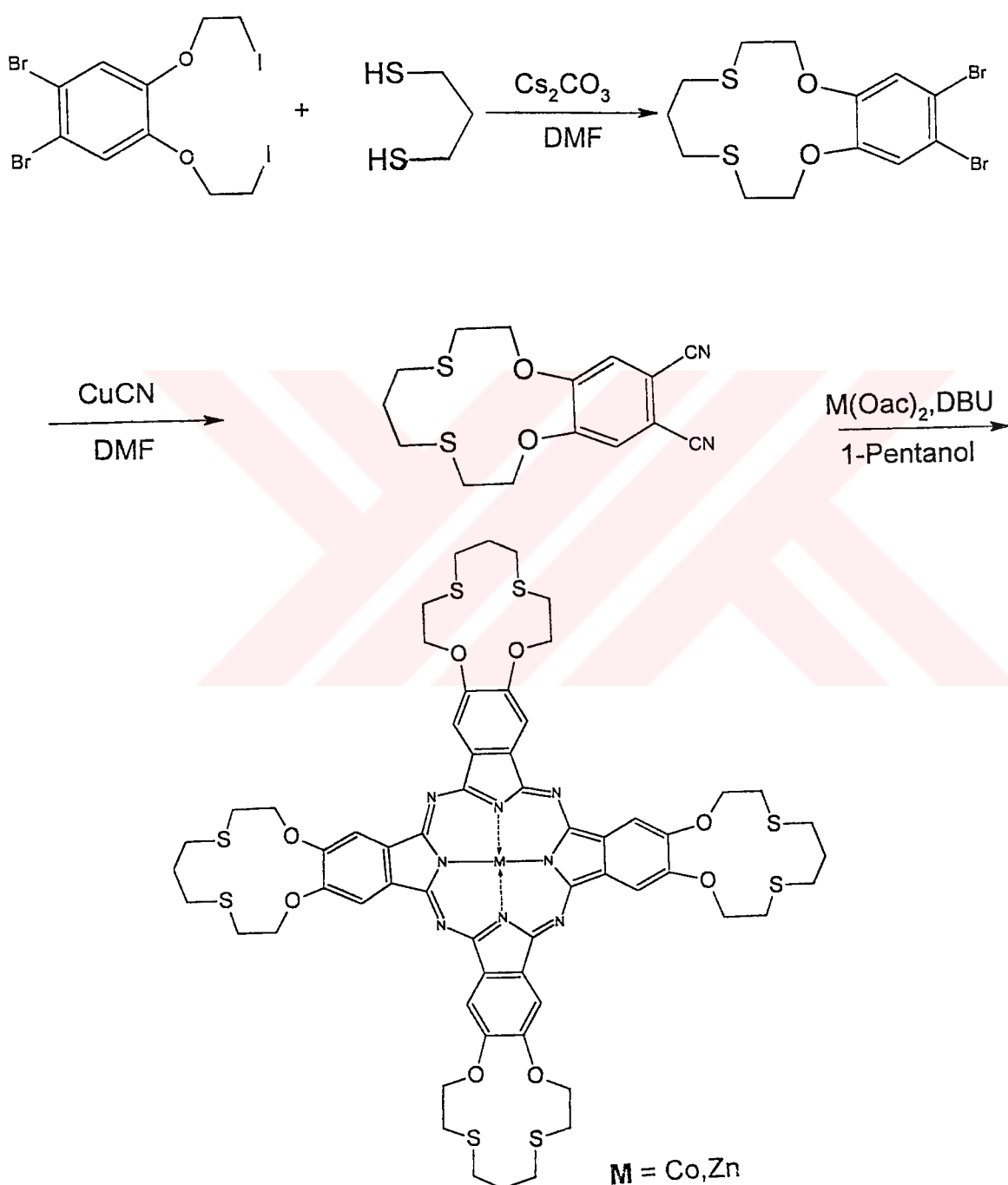
0.150 gr (0.46 mmol) 5, 0.032 g (0.117 mmol) susuz kobalt (II) asetat ve 7.4 µl (0.117 mmol) DBU 1,2 ml kuru 1-pentanol içerisinde, azor altında 6 saat riflaks edilir. Karışım soğutuluktan sonra etanol (5 ml) ile seyreltilir, oluşan koyu yeşil renkte

çökeltiler süzülür. Ham ürün etanol, metanol, THF, etilasetat, kloroform ile defalarca kaynatılıp süzülür. Son olarak dietileterle yıkınırıp vakumda kurutulur.
 $C_{60}H_{64}N_8O_8S_8Co$, Verim : 55 mg, (% 35.25),

Teorik (%) C 53.77 H 4.77 N 8.36 Co 4.40

Analiz (%) C 52.05 H 4.20 N 7.62 Co 4.15

Koyu yeşil madde DMSO'da çözülmektedir.



Şekil 4.2 : Dioksaditiya makrohalkaları içeren ftalosiyahinler.

4.1.17. Lutesyum Bis(ftalosiyinan) (8) [58] :

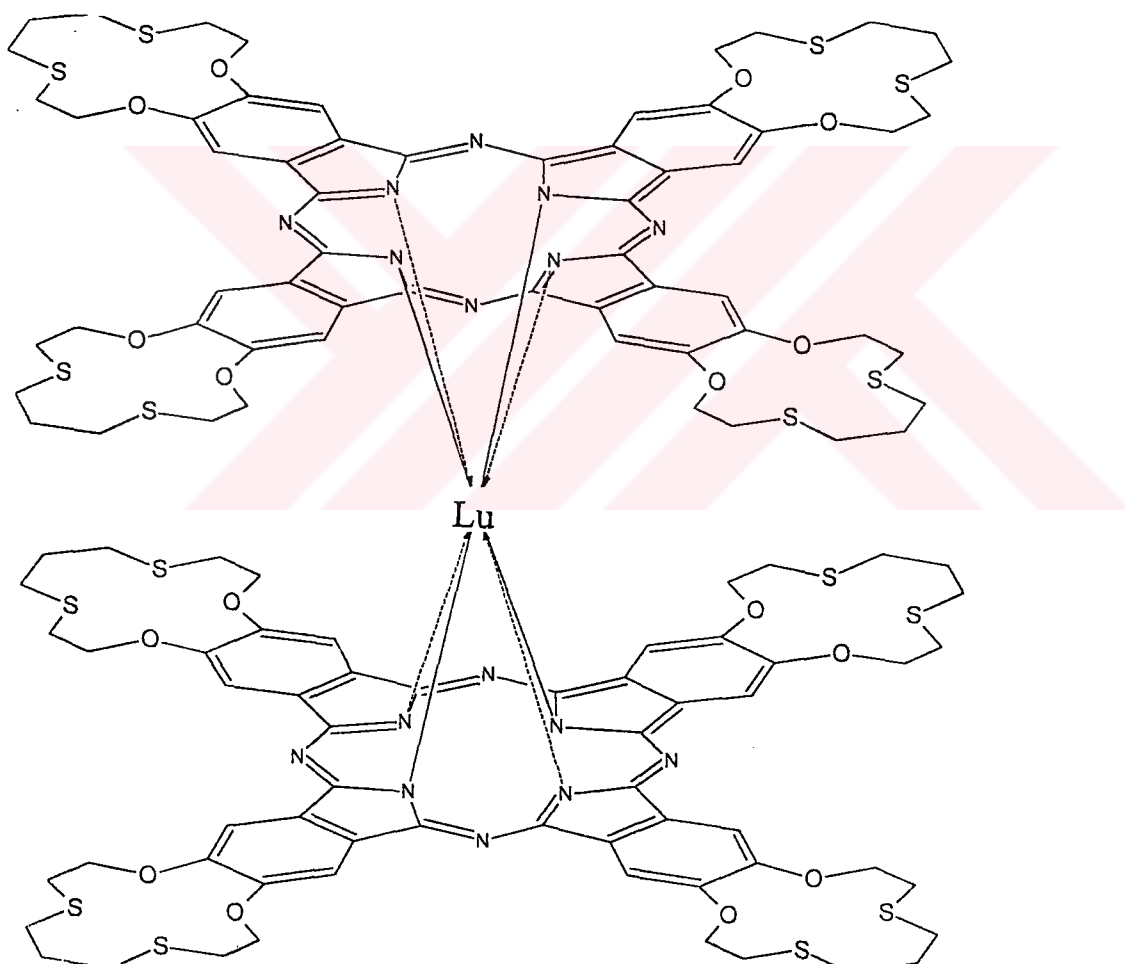
0.150 gr (0.46 mmol) 5, 0.021 gr (0.061 mmol) susuz lutesyum (III) asetat, 35 μ l (0.92 mmol) DBU ve 1.25 ml kuru 1-hekzanol karışımı azot altında 20 saat riflaks edilir. Çözelti soğutulduktan sonra etanol 5 ml ilave edilir. Elde edilen koyu yeşil renkli ham ürün etanol, metanol, THF, etilasetat, toluen, kloroform ile defalarca kaynatılıp süzülür. Geri kalan koyu yeşil ürün DMSO'da çözülüp, su ilave edilir ve bir gece bekletilmek suretiyle temiz olarak ayrılır.

C₁₂₀H₁₂₈N₁₆O₁₆S₁₆Lu, Verim : 40 mg (% 24).

Teorik (%) C 52.65 H 4.68 N 8.33

Analiz (%) C 51.40 H 4.30 N 7.40

Madde DMSO'da çözünmekteidir.



Şekil 4.3 : Lutesyum bis(ftalosiyinan)

5. SONUÇLAR VE YORUMLAR

Grubumuz tarafından daha önce yapılan çalışmalarda tetra-alkiltiyo [110], simetrik olarak sübstitüe oktaalkitiyo [115] ve asimetrik olarak sübstitüe hekzaalkiltiyo [123] sübstitüe ftalosiyaninlerin sentezi gerçekleştirilmiştir. Ayrıca N ve O donor atomlarını bir arada içeren diazadioksa [56], N ve S donor atomlarını birarada içeren diazaditiya [111], sadece S donor atomlarını bir arada içeren tetratiya [61] makrosiklik halkalı sübstitüe ftalosiyaninlerde sentez edilmiştir.

Bu çalışmanın ilk aşamasında farklı ftalodinitril türevlerinin istatistik karışımından (1:3) yola çıkılarak asimetrik olarak sübstitüe çinko ftalosiyanin sentezlenmiştir.

Diğer çalışmada kateholden yola çıkılarak 13 üyeli dioksaditiya makrosiklik halkaları 4 ve 5 sentezlenmiştir. Bu makrosiklik bileşiklerinden de yola çıkılarak mono nükleer ftalosiyanler ve lantanid metali (Lu) kullanarak bis(ftalosiyanin) sentezlenmiştir. Beklenen yapılar IR, elementel analiz, NMR, UV-VIS ve kütle spektrometresi ile aydınlatılmıştır.

5.1. 1,2-Bis(2-asetilosietilmekapto)-4,5-disiyanobenzen (2) :

Reaksiyon -OH gruplarının bilinen koruma reaksiyonudur. Sentezi daha önce grubumuz tarafından yapılan 1,2-Bis(hidroksietilmekapto)-4,5-disiyanobenzen asetilklorür ile kuru piridinde reaksiyonu sokularak (2) bileşiği elde edilmiştir.

Bileşliğin IR spektrumunda ; 3055 cm^{-1} de aromatik C-H gruplarına ait titreşimler, $2950\text{-}2875\text{ cm}^{-1}$ arasında alifatik C-H grubuna ait titreşimler, 2238 cm^{-1} de $\text{C}\equiv\text{N}$ (nitril) gruplarına ait titreşimleri ve 1727 cm^{-1} de karbonil grubuna ait karakteristik pikler olarak gözlenmiştir (Şekil A.1).

Maddenin dötero kloroform'dan alınan $^1\text{H-NMR}$ spektrumunda aromatik protonlara 7.67 ppm 'de singlet, (OCH_2) gruplarına ait dört proton 4.33 ppm 'de triplet, aromatiğe komşu ($\text{S}-\text{CH}_2$) gruplarına ait dört proton 3.31 ppm 'de triplet, karbonile komşu ($-\text{CH}_3$) gruplarına ait protonlar 2.08 ppm 'de singlet olarak çıkmışlardır (Şekil A.2).

5.2. [Asimetrik ftalosiyaninato] Zn(II) (3) :

Asimetrik çinko ftalosiyanın sentezi en çok kullanılan yöntem olan farklı ftalodinitril türevlerinin istatistik karışımından hazırlanmıştır. Bunun için (2) bileşiği ve yine daha önce grubumuz tarafından sentezlenen (1) ile 1:3 oranında kuru DMF içerisinde, azot atmosferinde susuz çinko asetat kullanarak 160-170°C de 12 saat karıştırılmasıyla asimetrik olarak sübstitüe çinko ftalosiyanın sentezlenmiştir. Asimetrik ftalosiyanın (3) bileşiği iki defa kolan kromatografisi (silikajel, ilk olarak 10:1 ; CCl₄: THF ve sonra kloroform) yapılarak saflaştırılmıştır. % 14.14 verimle elde edilen koyu yeşil renkli ürün kloroform, diklormetan, THF, DMF, DMSO'da çözünmektektir.

(3) bileşigine ait IR spektrumunda ; Aromatik CH gruplarına ait titreşimler 3020 cm⁻¹'de, alifatik C-H gruplarına ait titreşimler 2959-2855 cm⁻¹'de ve ester grubuna ait C=O titreşimleri 1727 cm⁻¹ de karakteristik pikler olarak gözlenmiştir. Ayrıca ftalosiyanın oluşumu ile 2238 cm⁻¹'deki C≡N (nitril) gruplarına ait titreşim bandının kaybolduguuda gözlenmiştir (ŞekilA.3).

(3) bileşiginin dötero-kloroformda alınan ¹H-NMR spektrumunda aromatik protonlar 7.55 ppm'de singlet, (OCH₂) grubuna ait protonlar 4.21 ppm'de triplet, aromatiğe komşu (SCH₂) protonları 3.42 ppm'de triplet, karbonile komşu (-CH₃) gruplarına ait protonlar 2.17 ppm'de singlet, uzun zincirli alkiltiyo grubuna ait (SCH₂) protonları 3.02 ppm'de triplet, (SCCH₂) protonları 1.78 ppm'de multiplet, (CCH₂C) gruplarına ait protonlar 1.77-1.85 ppm'de kuartet, alkiltiyo zincirinin uzundaki (-CH₃) gruplarına ait protonlar 0.90-1.02 ppm'de triplet olarak çıkmıştır (ŞekilA.4).

(3) maddesinin FAB yöntemiyle alınan MS spektrumunda 1510(M⁺) mol piki görülmektedir (ŞekilA.5).

5.3. Dioksaditiya Makrosikliği (4) :

Bu maddenin sentezi sülfürlerin alkil halojenürlerle reaksiyonu esas alınarak literatür [61]'e benzer şekilde yapılmıştır. Reaksiyon azot atmosferinde ve kuru solvent kullanılarak yapılmıştır. Nükleofilik yerdeğiştirme reaksiyonuyla 1,2-bis(iyodoetoksi)-4,5-dibromobenzen, 1,3-propanditiyol ile Cs₂CO₃ içeren kuru DMF'de reaksiyona sokularak dioksaditiya halkası içeren dibrom türevi (4) sentezlenmiştir. Makrohalka oluşumu sırasında oluşan yan ürünler (2:2 katılma veya polimer gibi) ham maddenin kloroform-dietileter karışımından kristallendirilmesiyle,

kolon kromatografisine gerek kalmadan uzaklaştırılmış ve 4 bileşiği saf olarak elde edilmiştir.

4 maddesinin IR spektrumunda ; 3055 cm⁻¹'de aromatik C-H gruplarına ait titreşimler, 2953-2876 cm⁻¹ arasında alifatik C-H grubuna ait titreşimler ve 655 cm⁻¹'de C-Br titreşimlerine ait karakteristik pikler olarak gözlenmiştir (ŞekilA.6).

Maddenin dötero kloroform'da alınan ¹H-NMR spektrum önerilen yapı ile uygunluk içindedir. Aromatik protonlar 7.01 ppm'de singlet, aromatik halkaya komşu (O-CH₂) gruplarına ait dört proton 4.14 ppm'de triplet, alifatik (SCH₂) protonları aromatik halkaya yakınlıklarına göre sırasıyla 3.14 ppm'de triplet ve 2.88 ppm'de triplet halkanın ucundaki propil grubuna ait-(CH₂)- grubu 2.14 ppm'de bir pentet olarak çıkmışlardır (ŞekilA.7). Bileşigin ¹³C-NMR spektrumunda beklenilen yapıya uygun pikler gözlenmektedir. Aromatik protonlar sırasıyla 148.16 ppm (C-OCH₂), 118.76 ppm (C-C-OCH₂) ve 116.54 ppm (C-Br)'de üç ayrı pik olarak çıkmışlardır. Alifatik carbon atomları 70.13 ve 30.53 ppm arasında dört farklı pik halinde ortaya çıkmaktadır (ŞekilA.8).

5.4. Dioksaditiya Makrosikliği (5) :

Simetrik ftalosiyaniner genellikle dibrom ve dinitril türevlerinden sentezlendikleri için, dibrom türevi 4 CuCN ile Rosenmund von Braun reaksiyonuna göre dinitril türevi 5'e dönüştürülmüştür. Reaksiyon kuru DMF içerisinde azot altında 160°C'de 12 saat tutularak yapılmıştır. Etanolden kristallendirilerek % 56.4 verimle elde edilmiştir.

5 bileşigine ait IR spektrumunda ; 3030 cm⁻¹ 'de aromatik C-H gruplarına ait titreşimler, 2953-2851 cm⁻¹ arasında alifatik C-H gruplarına ait titreşimler, 2238 cm⁻¹'de nitril (C≡N) gruplarına ait titreşimler görülmüştür. Ayrıca 4 bileşiginde görülen C-Br titreşimlerine ait pikler 5 maddesinde görülmemektedir (ŞekilA.9).

Maddenin dötero kloroform'da alınan ¹H-NMR spektrumunda aromatik protonlar 7.09 ppm'de singlet, aromatiğe komşu (OCH₂) gruplarına ait 4 proton 4.24 ppm'de triplet, alifatik (SCH₂) gruplarına ait protonlar aromatik halkaya uzunluklarına göre sırasıyla 3.01 ppm ve 2.79 ppm'de triplet ve halkanın ucundaki propil grubuna ait protonlar 2.24 ppm'de pentet olarak çıkmışlardır (ŞekilA.10).

Maddenin EI yöntemiyle elde edilen MS spektrumunda 320 (M⁺)'de mol piki görülmektedir (ŞekilA.11).

5.5 Çinko (II) Ftalosiyanın (6) :

Çinko (II) ftalosiyanın **6**, **5** ile susuz çinko asetat ve 1-pentanol azot atmosferinde DBU varlığında riflaks edilmesiyle elde edilmiştir. Koyu yeşil renkli ürün çeşitli organik solventlerle kaynatılıp süzülerek temizlenmiştir. Madde organik solventlerde çözünmemektedir.

6'nın IR spektrumunda, dinitril türevinin siklotetramerizasyonu sonucu $-C\equiv N$ bandının kaybolduğu görülmektedir. Ayrıca sübstitüe dioksaditiyamakrohalkalarındaki ($-CH_2$) gruplarına ait titreşimler $2953-2851\text{ cm}^{-1}$ arasında ortaya çıkmaktadır (ŞekilA.12).

5.6. Kobalt (II) Ftalosiyanın (7) :

Co(II) ftalosiyanın **7**, dinitril türevi **5** ile susuz kobalt asetat ve 1-pentanol azot atmosferinde DBU varlığında riflaks edilmesiyle elde edilmiştir. Koyu yeşil renkli ürün DMSO'da çözünmemektedir. Fakat madde paramanyetik olduğu için NMR spektrumları alınamamıştır.

Bu ftalosiyanın IR spektrumunda ftalosiyanın oluşumuyla $-C\equiv N$ gruplarına ait bandın kaybolduğu görülmektedir. Ayrıca istenilen yapıda yer alan makrohalkalar üzerindeki $-CH_2$ gruplarına ait piklerde $2972-2850\text{ cm}^{-1}$ arasında görülmektedir (ŞekilA.13).

5.7. Lutesyum Bis(ftalosiyanın) (8)

8'in sentezi, azot atmosferinde ve susuz ortamda **5**'in Lutesyum (III) asetat tuzu ile 1,8-diazabisiklo[5.4.0]undek-7-ene (DBU) gibi kuvvetli bir baz varlığında 1-hekzanol içerisinde kaynatılmasıyla gerçekleştirilmiştir.

Lutesyum (III) asetat ile dinitril türevlerinin DBU gibi organik bir baz varlığında reaksiyondan yayınlanmış bir çok makalede genellikle lutesyum bis(ftalosiyanın)'lerin sentezi ile sonuçlanmaktadır [124,125].

Lutesyum bis(ftalosiyanın) **8**, mono-kompleksleri **6** ve **7**'ye benzer olarak yaygın olarak kullanılan organik solventlerde çözünmemektedir. Sadece DMSO içerisinde çözünürlüğü vardır.

8'in IR spektrumunda makrohalkadaki CH_2 grupları ait titreşimler $2976-2850\text{ cm}^{-1}$ arasında ortaya çıkmıştır. Simetrik olmayan sübstitüe bis(ftalosiyanın)'lerde 1452-

1472 cm^{-1} bölgesinde çeşitli şiddetlerde görülen band ise genellikle merkez metal iyonu –ligand titreşimlerine karşılık gelmektedir (ŞekilA.14).

8, Lutesyum bis (ftalosiyinan) türevlerinin yeşil renkli bütün nötral formlarında olduğu gibi, radikalik yapıdan dolayı paramanyetiktir. **8**'in DMSO (D_6)'da alınan $^1\text{H-NMR}$ spektrumu paramanyetizm ve düşük çözünürlükten dolayı tatmin edici değildir (ŞekilA.15).

Yeşil renkli lutesyum bis(ftalosiyinan) komplekslerinin serbest radikal yapısı elektron spin rezonans spektrumu ile doğrulanır. **8**'in oda sıcaklığında alınan X-bandı elektron spin rezonans spektrumunda gözlenen spektroskopik yarıılma faktörü $g=2.007$ ve çizgi genişliği $\Delta H=10$ gauss değerine sahip kuvvetli bir sinyal ftalosiyinan radikalik yapısını karakterize etmekte ve çifleşmemiş bir spinin varlığını doğrulamaktadır (ŞekilA.16).

5.8. Ftalosiyinanların (3,7 ve 8) UV-VIS Spektrumları :

π - elektronlarında zengin olan ftalosiyinanlar iki tip absorpsiyon piki verirler. Bunlardan $\pi \rightarrow \pi^*$ ($\text{HOMO} \rightarrow \text{LUMO}$) geçişleri 500-720 nm dalga boyu aralığında olup Q bandına karşılık gelir. $n \rightarrow \pi$ ($\pi \rightarrow \text{LUMO}$) geçişleri 320-420 nm aralığında olup B(Soret) bandlarıdır. D_{2h} simetrisine sahip metalsiz ftalosiyinanlar 700 nm civarında şiddetli iki absorpsiyon bandı göstermesine rağmen D_{4h} simetrisine sahip metalli ftalosiyinanlar bu bölgede sadece tek band verirler.

Periferal pozisyonlarda alkiltiyo grupları taşıyan ftalosiyinanlar 700 nm'nin üzerinde şiddetli Q-bandı absorpsiyonu verirler.

Uzun alkiltiyo grupları içeren çinko (II) ftalosiyinan **3** kloroformda alınan UV-VIS spektrumu beklenildiği gibi 709 nm'de Q bandı absorpsiyonu vermiştir. Soret (B) bandı ise 364 nm'de ortaya çıkmıştır (ŞekilA.17).

Dioksaditiya-makrohalkaları içeren kobalt (II) ftalosiyinan **7** 'nin DMSO'da alınan UV-VIS spektrumunda 674 nm'de Q bandı absorpsiyonu görülmektedir (ŞekilA.18).

Litesyum bis (ftalosiyinan) **8**'in DMSO'da alınan UV-VIS spektrumunda Q bandı absorpsiyonu 679 nm'de gözlenmiştir. Lutesyum bis (ftalosiyinan)'ler için karakteristik olan serbest radikal bandı 430 nm'de bir omuz şeklinde ortaya çıkmıştır (ŞekilA.19).

KAYNAKLAR

- [1] **Leznoff, C.C. and Lever, A.B.P.**, 1996. Phthalocyanines: Properties and applications, Vol:4. pp.2, VCH, New York.
- [2] **Polley, R., Heekmann, H. and Hanack, M.**, 1997 In Houben-weyl ; 4 th ed., Vol.E9, , pp. 718-742, Thieme, Stuttgart.
- [3] **Eberhardt, W. and Hanack, M.**, 1998. Synthesis of hexadecaalkyl-substituted metal phthalocyanines, *Synthesis*, 1760-1764..
- [4] **Leznoff, C.C. and Lever, A.B.P.**, 1996. Phthalocyanines ; properties and applications, Vol:4, pp.6, VCH ,New York.
- [5] **Braun, A. and Tcherniac, J.**, 1907. Über die produckte der einwirkung von acetanhydrid auf phthalamid, *Berichte der Deutschen Chemischen Gesellschaft*, 40, 2709-2714.
- [6] **De Diesbach, H. and von der Weid, E.**, 1927. Quelques sels complexes des o-dinitriles avec le cuivre la pyridine, *Helvetica Chimica Acta*, 10, 886-887.
- [7] **Dandridge, A.G., Drescher, H.A.E and Thomas, J.**, 1929. Dyes. *British Patent* ,No:322 dated 16.09.1929.
- [8] **Linstead, R.P.**, 1934. Phthalocyanines. Part I.A new type of synthetic colouring matter, *Journal of the Chemical Society*, 1016-1017.
- [9] **Linstead, R.P. and Lowe, A.R.**, 1934. Phthalocyanines. Part III. Preliminary experiments on the preparation of phthalocyanines from phthalonitrile, *Journal of the Chemical Society*, 1022-1027.
- [10] **Burroughes, J.H., Bradley, D.D.C., Brown, A.R., Marks, R.N., Mackay, K., Friend, R.H., Burns, P.H. and Holmes, A.B.**, 1990. Light-emitting-diodes based on conjugated polymers., *Natures*, 347, 539-541.
- [11] **Dent,C.E. and Linstead, R.P.**, 1934. Phthalocyanines part IV.Copper phthalocyanine, *Journal of the Chemical Society*, 1027-1031.
- [12] **Dent, C.E. and Linstead, R.P.**, 1934. Phthalocyanines. Part VI.The structure of the phthalocyanines, *Journal of the Chemical Society*, 1033-1037.
- [13] **George, R. and Snow, A.W.**, 1995. Synthesis of 3-nitrophthalonitrile and tetra- α -substituted phthalocyanines, *Journal of the Heterocyclic Chemistry*, 32, 495-498.

- [14] **Arnott, S. and Robertson. J.M.**, 1994. Synthesis of a New Phthalosiyanine, *Biographical Memoirs of Fellows of the Royal Society*, **39**, 351-352.
- [15] **Robertson, J.M.**, 1935. A x-ray study of the structure of the phthalocyanines. Part I. The metal-free, nickel, copper and platinum complexes, *Journal of the Chemical Society*, 615-621.
- [16] **Müller, M., Frauenheim, T. and Hamann, C.**, 1985. Peierls transition and fluctuation conductivity in thin lead phthalocyanine films, *Physica Status Solidi A., Applied Research*, **89**, K 89-94.
- [17] **Uyeda, N., Kobayashi, T., Ishizuka, K. and Fujiyoshi, Y.**, 1972. Molecular image resolution in electron microscopy, *J.Ame.Chem.Soc.* **43**, 5181-5189.
- [18] **Kobayashi, T. and Isoda, S.**, 1993. Lattice images and molecular images of organic materials, *Journal of Materials Chemistry*, **3**, 1-14.
- [19] **Gimzewski, J.K., Stoll, E. and Schlitter, R.R.**, 1987. Scanning tunneling microscopy of individual molecules of copper phthalocyanine adsorbed on polycrystalline silver surfaces, *Surface Science*, **181**, 267-277.
- [20] **Lu, X., Hipps, K.W., Wang, X.D. and Mazur, U.**, 1996. Scanning tunneling microscopy of metal phthalocyanines: d₇ and d₉ cases, *Journal of the American Chemical Society*, **118**, 7197-7202.
- [21] **Buchholz, J.C and Somorjai, G.A.**, 1977. The surface structures of phthalocyanines monolayers and vapour grown films: a low-energy electron diffraction study, *The Journal of Chemical Physics*, **66**, 573-580.
- [22] **Moser, F.H. and Thomas, A.L.**, 1983. The Phthalocyanines, Volume 1: Properties, Boca Raton, CRC Press, Florida
- [23] **Leznoff, C.C. and Hall, T.W.**, 1982. The synthesis of a soluble, unsymmetrical phthalocyanine on a polymer support, *Tetrahedron Letters*, **23**, 3023-3026.
- [24] **Thompson, J.A., Murata, K., Miller, D.C., Stanton, J.L., Broderick, W.E., Hoffman, B.M. and Ibers, J.**, 1993. Synthesis of high purity phthalocyanines conductors H₂(Pc)I and Ni(Pc)I., *Inorganic Chemistry*, **32**, 3546-3553.
- [25] **Wöhrle, D., Eskes, M., Shigehara, K. and Yamada, A.**, 1993. A simple synthesis of 4,5-disubstituted 1,2-dicyanobenzenes and 2,3,9,10,16,17,23,24-octasubstituted phthalocyanines, *Synthesis*, 194-196.
- [26] **McKeown, N.B., Chambrier, I. and Cook, M.J.**, 1990. Synthesis and characterization of some 1,4,8,11,15,18,22,25-octaalkylphthalocyanines and 1,4,8,11,15,18-hexaalkyl-22,25-bis(carboxypropyl)phthalocyanines, *Journal of the Chemical Society, Perkin Transactions 1*, 1169-1177.

- [27] **De Cian, A., Moussavi, M., Fischer, J. and Weiss, R.**, 1985. Synthesis, Structure, spectroscopic and magnetic properties of lutetium (III) phthalocyanine derivatives: LuPc₂.CH₂Cl₂ and [LuPc(Oac)(H₂O₂)₂]H₂O, *Inorganic Chemistry*, **24**, 3162-3167.
- [28] **Cariati, F., Galizzioli. D., Morazzoni, F., and Busetto, C.**, 1975. New adducts of phthalocyanine cobalt (II) with pyridine and 4-methylpyridine and their vibrational, magnetic and electronic properties I. Reactivity towards oxygen. , *Journal of the Chemical Society, Dalton Transactions*, 556-561.
- [29] **Ghosez, P., Cote, R., Gastonguay, L., Veilleux, G., Denes, G. and Dodelet, J.P.**, 1993. Characterization of a photoactive molecular semiconductor: oxititanium phthalocyanine, *Chemistry of Meterials*, **5**, 1581-1590.
- [30] **Lowery, M.K., Staarshak, A.J., Esposito, J.N., Krueger, P.C., and Kenney, M.E.**, 1965. Dichloro(phthalocyanato) silicon, *Inorganic Chemistry*, **4**, 128.
- [31] **Ciliberto, E., Doris, K.A., Pietro, W.J., Reisner, G.M., Ellis, D.E. Fragala, I., Herbstein, F.H., Rather, M.A. and Marks, T.J.**, 1984. π - π interactions and bandwidths in molecular metals: a chemical, structural, photoelectron spectroscopic, and Hartree-Fock-Slater study of monomeric and cofacially joined dimeric silicon phthalocyanines, *Journal of the American Chemical Society*, **106**, 7748-7771.
- [32] **Ford, W.E., Rodgers, M.A.J., Schechtman, L.A., Sounik, J.R., Rihter, B.D., and Kenney, M.E.**, 1992. Synthesis and photochemical properties of aluminum, gallium, silicon, and tin naphthalocyanines, *Inorganic Chemistry*, **31**, 3371-3377.
- [33] **Jackson, A.H.** 1977. Azaporphyrins In the porphyrins, Volume 1. Ed. D.Dolphin. pp. 365-811. Academic Press, New York.
- [34] **Mikhailenko, S.A., Barknova, S.V., Lebedev, O.L. and Luk'yanets, E.A.**, 1971. Phthalocyanines and related compounds IX. Synthesis and electronic absorption spectra of tetra-t-butylphthalocyanines, *Zhurnal Obshchey Khimii*, **41**, 2735-2739.
- [35] **Hanack, M., Metz, J. and Pawlowski, G.**, 1982. Lösliche trans-di-l-alkinyl und Poly-trans-ethinyl(tetraalkylphthalocyaninato)metal IVB Derivative, *Chemische Berichte*, **115**, 2836-2853.
- [36] **Kovshev, E., Puchnova, V.A. and Luk'yanets, E.A.**, 1971. Phthalocyanines and related compounds VI.Synthesis of dinitriles of substituted naphthalene-2,3-dicarboxylic acids, *Zhurnal Organisch Khimii*, **7**, 369-371.
- [37] **Metz, J., Schneider, O. and Hanack, M.**, 1984. Synthesis and properties of substituted (phthalocyaninato) iron and (phthalocyaninato)cobalt compounds and their pyridine adducts, *Inorganic Chemistry*, **23**, 1065-1071.

- [38] **Hanack, M., Meng, D.Y., Beck, A., Sommerauer, M. and Subramanian, L.R.**, 1993. Separation of structural isomers of tetra-tert-butylphthalocyaninatonickel(II), *Journal of the Chemical Society, Chemical Communications*, 58-60.
- [39] **Schmid, G., Sommerauer, M., Geyer, M. and Hanack, M.**, 1996. Synthesis and chromatographic separation of tetrasubstituted and unsymmetrically substituted phthalocyanines. In Phthalocyanines: Properties and Applications Volume 4, ed.C.C.Leznoff and A.B.P.Lever, pp.83-181, VCH., New York:
- [40] **Marcucio, S.M., Svirskaya, P.I., Greenberg, S., Lever, A.B.P. Leznoff, C.C. and Tomer, K.B.**, 1985. Binuclear phthalocyanines covalently linked through two-atom and four-atom bridges, *Canadian Journal Of Chemistry*, 63, 3057-3069.
- [41] **Yang, Y.C., Ward, J.R. and Seiders, R.P.**, 1985. Dimerization of cobalt(II) tetrasulfonated phthalocyanines in water and aqueous alcoholic solutions, *Inorganic Chemistry*, 24, 1765-1769.
- [42] **Ogawa, K., Kinoshita, S., Yonehara, H., Nakahara, H. and Fukuda, K.**, 1989. Highly ordered monolayer assemblies of phthalocyanine derivatives, *Journal of the Chemical Society, Chemical Communications*, 477-479.
- [43] **Pawlowski, G and Hanack, M.**, 1980. A convenient synthesis of octasubstituted phthalocyanines, *Synthesis*, 287-289.
- [44] **Koray, A., Ahsen, V. and Bekaroğlu, Ö.**, 1986. Preparation of a novel soluble copper phthalocyanine with crown ether moieties., *J.Chem.Soc.Chem.Commun.*, 932-933.
- [45] **Clarkson, G.J., Hassan, B.M., Maloney, D.R. and McKeown, N.B.**, 1996. Thermotropic and lyotropic mesophase behaviour of some novel phthalocyanine-centered poly(oxyethylene)s, *Macromolecules*, 29, 1854-1856.
- [46] **Wöhrle, D. and Hündorf, U.**, 1985. Polymeric phthalocyanines and their precursors 6. Synthesis and analytical characterization of some octasubstituted phthalocyanines, *Macromolecular Chemistry and Physics*, 2177-2187.
- [47] **Cammidge, A.N., Cook, M.J.Harrison, K.J. and McKeown, N.B.**, 1991. Synthesis and characterization of some 1,4,8,11,15,18,22,25-octa(alkoxymethyl)phthalocyanines: a new series of discotic liquid crystals, *Journal of the Chemical Society, Perkin Transactions 1*, 3053-3058.
- [48] **Cook, M., Dunn, A.J.Howe, S.D., Thomson, A.J. and Harrison, K.J.**, 1988. Octa-alkoxyphthalocyanine and naphthalocyanine derivatives: dyes with Q-band absorption in the far red or near-infrared, *Journal of the Chemical Society, Perkin Transactions 1*, 2453-2458.

- [49] Clarkson, G.J., McKeown, N.B. and Treacher, K.E., 1995. Synthesis and characterization of some novel phthalocyanines containing both oligo(ethyleneoxy) and alkyl or alkoxy side-chains:novel unsymmetrical discotic mesogens, *Journal of the Chemical Society, Perkin Transactions 1*, 1817-1823.
- [50] Kobayashi, N., Kondo, R., Nakajima, S. and Osa, T., 1990. New route to unsymmetrical phthalocyanine analogues by the use of structurally distorted subphthalocyanines, *Journal of the American Chemical Society*, **112**, 9640-9641.
- [51] Young, J.G. and Onyebuagu, W., 1990. Synthesis and characterization of disubstituted phthalocyanines, *Journal of Organic Chemistry*, **55**, 2155-2159.
- [52] Ahsen, V., Yılmazer, E., Ertaş, M. and Bekaroğlu, Ö., 1988. Synthesis and characterization of metal-free and metal derivatives of a novel soluble crown ether containing ftalosilyaninate, *J.Chem.Soc., Dalton Trans*, 401-406.
- [53] Okur, A.I., Gül, A., Cihan, A., Tan, N. and Bekaroğlu, Ö., 1990. Synthesis and properties of phthalocyanines substituted with four crown ethers, *Synth.React.Inorg.Met.-Org.Chem.*, **20**, 1399-1412.
- [54] Sarıgül, S. and Bekaroğlu, Ö., 1989. Synthesis and properties of a (phthalocyaninato) copper (II) complex, *Chem.Ber.*, **122**, 291-292.
- [55] Musluoğlu, E. and Bekaroğlu, Ö., 1994. Phthalocyanines substituted with crown ether through sulfanyl bridges, *J.Chem.Soc., Chem. Res. (S)* , 420 ; (M) 2364.
- [56] Hamuryudan, E. and Bekaroğlu, Ö. 1993. Synthesis and characterization of a novel copper (II) phthalocyanine substituted with four 16-membered diazadioxa macrocycles, *J.Chem.Soc., Chem.Res. (S)*., 460-461.
- [57] Gümüş, G., Öztürk, Z.Z., Ahsen, V., Gül, A. Bekaroğlu, Ö., 1992. Synthesis characterization and electrical properties of phthalocyanines substituted with 17-membered trioxadiazia macrocycles, *J.Chem.Soc., Dalton Trans.*, 2485-2489.
- [58] Musluoğlu, E., Ahsen, V., Gül, A. and Bekaroğlu, Ö., 1991. Water-soluble phthalocyanines containing aza-crown ether substituents, *Chem. Ber.*, **124**, 2531-2536.
- [59] Koçak, M., Cihan, A., Okur, A. İ. and Bekaroğlu, Ö., 1991. Synthesis and characterization of novel phthalocyanines substituted with four tetraaza macrocycles, *J.Chem.Soc., Chem.Commun.*, 577-578.
- [60] Koçak, M., Gürek, A., Gül, A. and Bekaroğlu, Ö., 1994. Synthesis and characterization of phthalocyanines containing four 14-membered tetraaza macrocycles, *Chem.Ber.*, **127**, 355-358.

- [61] **Gürek, A.G. and Bekaroğlu, Ö.**, 1994. Synthesis and characterization of new phthalocyanines peripherally fused to four 13-membered tetrathiamacrocycles, *Helv.Chim.Acta*, **77**, 1616-1622.
- [62] **Koçak, M., Okur, A.I. and Bekaroğlu, Ö.**, 1994. Novel two-fold-macrocycle-substituted phthalocyanines, *J.Chem.Soc.Dalton Trans.*, 323-326.
- [63] **Ahsen, V., Yilmazer, E., Gül, A. and Bekaroğlu, Ö.**, 1987. Preparation of novel polymeric copper phthalocyanine containing crown ether moieties and its alkali metal binding property, *Makromol. Chem., Rapid Commun.* **8**, 243-246.
- [64] **Ahsen, V., Yilmazer, E. and Bekaroğlu, Ö.**, 1988. Synthesis and properties of (18-crown-6)-bridged phthalocyanine network polymers, *Makromol. Chem.*, **189**, 2533.-2543
- [65] **Musluoğlu, E., Öztürk, Z.Z., Ahsen, V., Gül, A. and Bekaroğlu, Ö.**, 1993. Synthesis and properties of network polymers of monoazacrown ether substituted phthalocyanines, *J.Chem.Soc., Chem.Res. (S)* 6-7 ; (M) 0140-0154.
- [66] **Öztürk, Z.Z., Musluoğlu, E., Ahsen, V., Gül, A. and Bekaroğlu, Ö.**, 1992. Electrical properties of monoazacrown eter substituted phthalocyanines, *J.Material Science*, **27**, 6183-6186.
- [67] **Gürek, A.G, Ahsen, V., Gül, A. and Bekaroğlu, Ö.**, 1991. Synthesis and characterization of a new copper (II) phthalocyaninate substituted with four 15-membered tetraazamacrocycles and its water-soluble pentanuclear complexes, *J.Chem.Soc., Dalton Trans.*, 3367.
- [68] **Koçak, M., Gürek, A., Gül, A. and Bekaroğlu, Ö.**, 1994. Synthesis and characterization of phthalocyanines containing four 14-membered tetraaza macrocycles, *Chem.Ber.*, **127**, 355-358.
- [69] **Smierciak, R., Passariello, J. and Blinn, E.L.**, 1977. Synthesis of New Asymmetrically Substituted Phthalosianines, *Inorg.Chem.*, **16**, 2646.
- [70] **Öztürk, Z.Z., Altindal, A.G, Gürek, A.G. and Bekaroğlu, Ö.**, 1992. Electrical properties of tetraazamacrocycle-substituted phthalocyanines, *Synth.Metals*, **52**, 291-297.
- [71] **Kobayashi, N., Kondo, R., Nakajima, S. and Osa, T.**, 1990. The Conductivity of Phthalosianines, *J.Am.Chem.Soc.* **112**, 9640.
- [72] **Musluoğlu, E., Gürek, A.G., Ahsen, V., Gül.A. and Bekaroğlu, Ö.**, 1992. Unsymmetrical phthalocyanines with a single macrocyclic substituent, *Chem.Ber.*, **125**, 2337-2339.
- [73] **Leznoff, C.C., Lever, A.B.P.**, 1993. Phthalocyanines properties and applications, Vol:2, VCH, Weinheim.

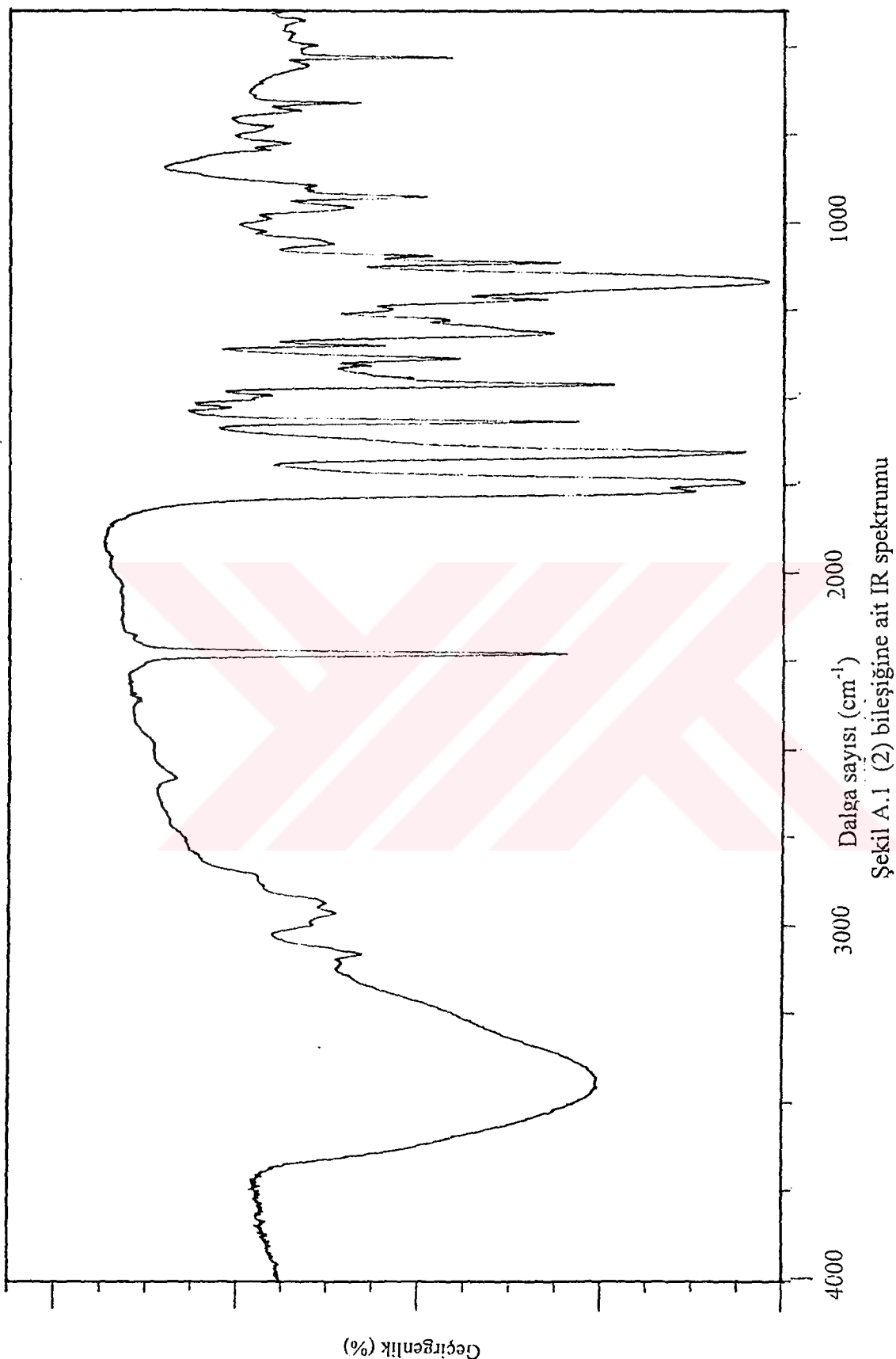
- [74] Baumann, F., Bienert, B., Rosch, G., Vollmann, H. and Wolf, W., 1965. Isoindolenines as intermediate products of phthalocyanine synthesis, *Angew.Chem.*, **68**, pp.133-168.
- [75] Tomada, H. and Saito, S., Hibiya, E., 1976. Synthesis and Characterization of New Phthalosianines, *Chem.Lett.*, 1003.
- [76] Parton, R.F., Vankelecom, I.F.J., Casselman, M.J.A., Bezoukhanova, C.P., Uytterhoeven, J.B.R. and Jacobs, P., 1994. An efficient mimic of cytochrome-p450 from a zeolite iron complex in a polymer membrane, *Nature*, **370**, 541-544.
- [77] Kobayashi, N., Janda, P. and Lever, A.B.P., 1992. Cathodic reduction of oxygen and hydrogen peroxide at cobalt and iron crowned phthalocyanines adsorbed on highly oriented pyrolytic graphite electrodes, *Inorganic Chemistry*, **31**, 5172-5177.
- [78] Tse, Y.H., Seymour, P., Kobayashi, N., Lam, H., Leznoff, C.C. and Lever, A.B.P., 1991. Surface electrochemistry of chloro(phthalocyaninato) rhodium(III) species and oxygen reduction electrocatalysis: formation of a dimeric species, *Inorganic Chemistry*, **30**, 4453-4459.
- [79] Harbour, J.R., Trumps, J. and Hair, M.L., 1980. Photochemistry in organic pigment dispersions:phthalocyanine mediated photoproduction of hydrogen peroxide, *Journal of the American Chemical Society*, **102**, 1874-1876.
- [80] Darwent, J.R., Douglas, P., Harriman, A., Porter, G. and Richoux, M.C., 1982. Metal phthalocyanines and porphyrins as photosensitizers for reduction of water to hydrogen, *Coordination Chemistry Reviews*, **44**, 83-126.
- [81] Borisenkova, S.A., 1991. New aspects of the heterogeneous catalysis of thiol oxidation by phthalocyanines, *Petroleum Chemistry*, **31**, 379-398.
- [82] Enmanj, K., Nishiyama, I., Takahashi, K. and Sanoh, M., 1991. Addition effect of NaF on the deodorant efficiency of an iron phthalocyanine derivative, *Bulletin of the Chemical Society of Japan*, **64**, 3213-3214.
- [83] Herron, N., Stucky, G.D. and Tolman, C.A., 1986. Shape selectivity in hydrocarbon oxidations using zeolite encapsulated iron phthalocyanine catalysts, *Journal of the Chemical Society, Chemical Communications*, 1521-1522.
- [84] Eckert, H. and Kiesel, Y., 1981. Stable metal phthalocyanines as poison resistant catalysts in homogeneous catalysis : reduction of organic compounds with NaBH₄, *Angewandte Chemie International Edition*, **20**, 473-475.
- [85] Sayato, Y., Nakamuro, K., Ueno, H. and Goto, R., 1990. Mutagenicity of adsorbates to a copper phthalocyanine derivative recovered from municipal river water. *Mutation Research*, **242**, 313-317.

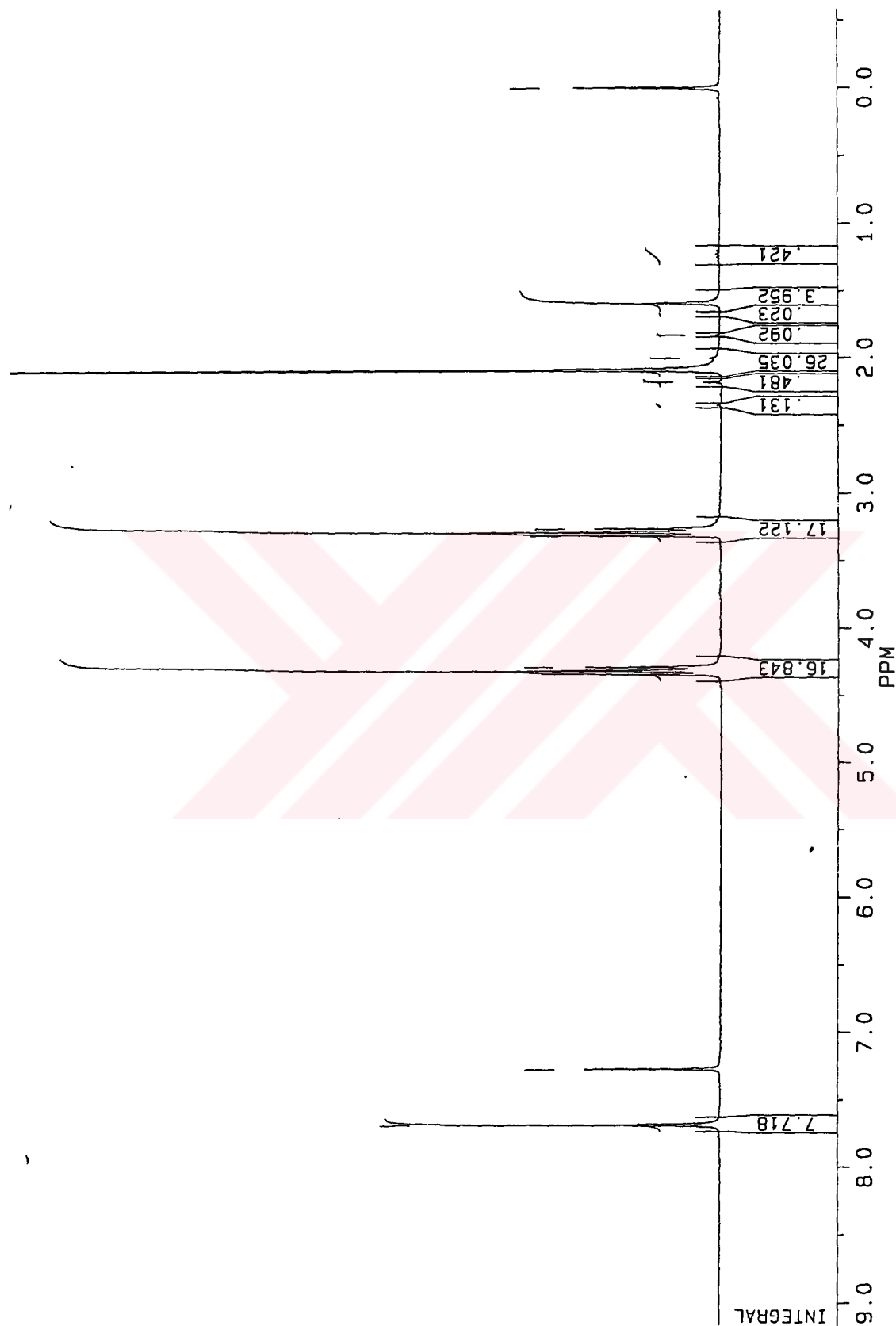
- [86] **Leznoff, C.C. and Lever, A.B.P.**, 1993. Phthalocyanines: Properties and Applications. Volume 2, VCH, New York..
- [87] **Miller, J.S. and Epstein, A.J.**, 1996. Molecular and polymeric magnets. *Chemistry and Industry*, 49-53.
- [88] **Lee, S., Yudkowsky, M., Halperin, W.P. Ogawa, M.Y., and Hoffman, B.M.**, 1987. One-dimensional magnetism in copper phthalocyanine. *Physical Review B. Condensed Matter*. **35**. 5003-5007.
- [89] **Nath, A., Kopalev, N., Tyagi, S.D., Chechersky, V. and Wei, Y.**, 1993. A Novel class of ferro-magnetic materials, *Materials Letters*, **16**, 39-44.
- [90] **Conte, P., Vemaire, J. and Plissonnier, M.**, 1979. New preparation of ^{64}Cu with high specific activity by treatment of irradiated copper phthalocyanine, *Radiochemical and Radioanalytical Letters*, **39**, 61-70.
- [91] **Jardim, I.C.S.F., Collins. K.E. and Collins, C.H.**, 1986. Liquid-solid extraction of high specific activity radionucleotides from reactor irradiated metal phthalocyanines, *Journal of Radioanalytical and Nuclear Chemistry. Letters*, **106**, 327-332.
- [92] **Piechocki, C. and Simon, J.**, 1985. Synthesis of New Phthalosianines *J.Chem.Soc.Chem.Commun*, 259-260.
- [93] **Gregg, B.A., Fox, M.A. and Bard, A.J.**, 1989. New Derivatives Of Phthalosianines, *J.Am.Chem.Soc.*, **111**, 3024.
- [94] **Vauchier, C., Zann, A., Le Barny, P. Dubois JC.**, 1981. Liquid Crystal properties of Phthalocyanines, *Mol Cryst Liq Cryst*, **66**, ,103.
- [95] **Seurin, P., Guillon, D. and Shoulios, A.**, 1981. Liquid Crystal Properties of New asymmetrical Phthalocyanines, *Mol.Cryst.Liq.Cryst*, **65**, 85.
- [96] **Nevin, W.A., Liu, W. and Melnik, M.**, 1985. Photodynamic Therapy of Phthalocyanines, *J.Photochemistry*, **29**, 445.
- [97] **Knosel, R., Piechocki, C. and Simon, J.**, 1985. Photodynamic Properties of Zn(II) Phthalocyanine, *J.Photochemistry*, **29**, 445.
- [98] **Gaspard, S., Hochpfeil, A. and Viovy, R.**, 1979. CR Hebd Seances, *Acad.Sc.Ser*, **289** (15), 387.
- [99] **Moskalev, P.N and Kirin, I.S.**, 1970. Spectroscopic Properties of Phthalocyanines, *Opt.Spektrosk.*, **29**, 414.
- [100] **Moskalev, P.N. and Kirin, I.S.**, 1972. Bis Phthalocyanines, *Russ.J.Phys.Chem.*, **46**, 1019.
- [101] **Nicholson, M.M. and Galiardi, R.V.**, 1978. Phthalocyanines and Related Macrocycles, *IX. SID Symp.Dig.*, 1978 , 24 (USA).

- [102] **Bardin, M., Pilchon, V., Simon, J., Ahsen, V. and Bekaroğlu, Ö.**, 1989. Electrochemistry of lutetium Crowned Ether Diphthalocyanine Film, *J.Electrocnal Chem.*, **271**, 171-173.
- [103] **Kirin, I.S. and Moskalev, P.N.**, 1971. Rare-Earth Di (Phthalocyanines), *Russ.J.Inorg.Chem.*, **16**, 1687.
- [104] **Stillman, M.J. and Nyokong, T.**, 1989. Phthalocyanines, Properties and Applications. Vol.1, p.133, VCH, New York.
- [105] **Clack, D.W., Hush, S. and Yandle, J.R.**, 1967. Electronic Structure of Metal Phthalocyanines, *Chem.Phys.Lett.*, **1**, 157.
- [106] **Ingram, D.J.E. and Bennett, J.E.**, 1954. *J.Chem.Phys.*, **22**, 1136 ; Sharoyan, E.G., Tikhomirova, N.N. and Blumenteld, L.A., 1965. Electron Spin Rezonance of Bis(phthalocyaninates), *Zh.Strukt.Khim.*, **6**, 843.
- [107] **Schultz, H., Lehmann, H., Rein, M., Hanack, M.**, 1991. Phthalocyaninatometal and related complexes with special electrical and optical properties, *Structure and Bonding*, **74**, pp 41-46.
- [108] **Duro, J.A. and Torres, T.**, 1993. Synthesis and aggregation properties in solution of a new octasubstituted copper phthalocyanines {2,3,9,10,16,17,23,24-Octakis-[(dioctylamino-carbonyl) methoxy] phthalocyaninato}, *Chem.Ber.*, **126**, pp.269-271.
- [109] **Murray, S.G. and Hartley, F.R.**, 1981. Coordination chemistry of thioethers, selenoethers, and telluroethers in transition-metal complexes, *Chem.Rev.*, **81**(4), 365-414.
- [110] **Gürol, I., Ahsen, V. and Bekaroğlu, Ö.**, 1994. Synthesis of tetraalkylthia-substituted phthalocyanines and their complexation with Ag^I and Pd^{II}, *J.Chem.Soc., Dalton Trans.*, **497-500**.
- [111] **Yılmaz, İ. and Bekaroğlu, Ö.**, 1996. Synthesis and characterization of Novel phthalocyanines with four 16-membered diazdithia macrocycle. *Chem.Ber.*, **129**, 967-971.
- [112] **Matsuda, H., Okada, S., Masaki, A., Nakanishi, H., Suda, Y., Shigehara, K. and Yamada, A.**, 1990. Molecular structural view on the large third order nonlinearity of phthalocyaninate derivatives, *Proc. SPIE-Int.Soc.Opt.Eng.*, **1337**, 105-113.
- [113] **Wöhrle, D., Eskes, M., Shigehara, K. and Yamada, A.**, 1993. A simple synthesis of 4,5-disubstituted 1,2-dicyanobenzenes and 2,3,9,10,16,17,23,24-octasubstituted phthalocyanines, *Synthesis*, 194-196.
- [114] **Gürek, A.G. and Bekaroğlu, Ö.**, 1997. Tetrathia macrocycle-bridged dimeric with hexakis (alkylthio) substituents and network polymer, *Journal of porphyrins and phthalocyanines*, **1**, 227-237.

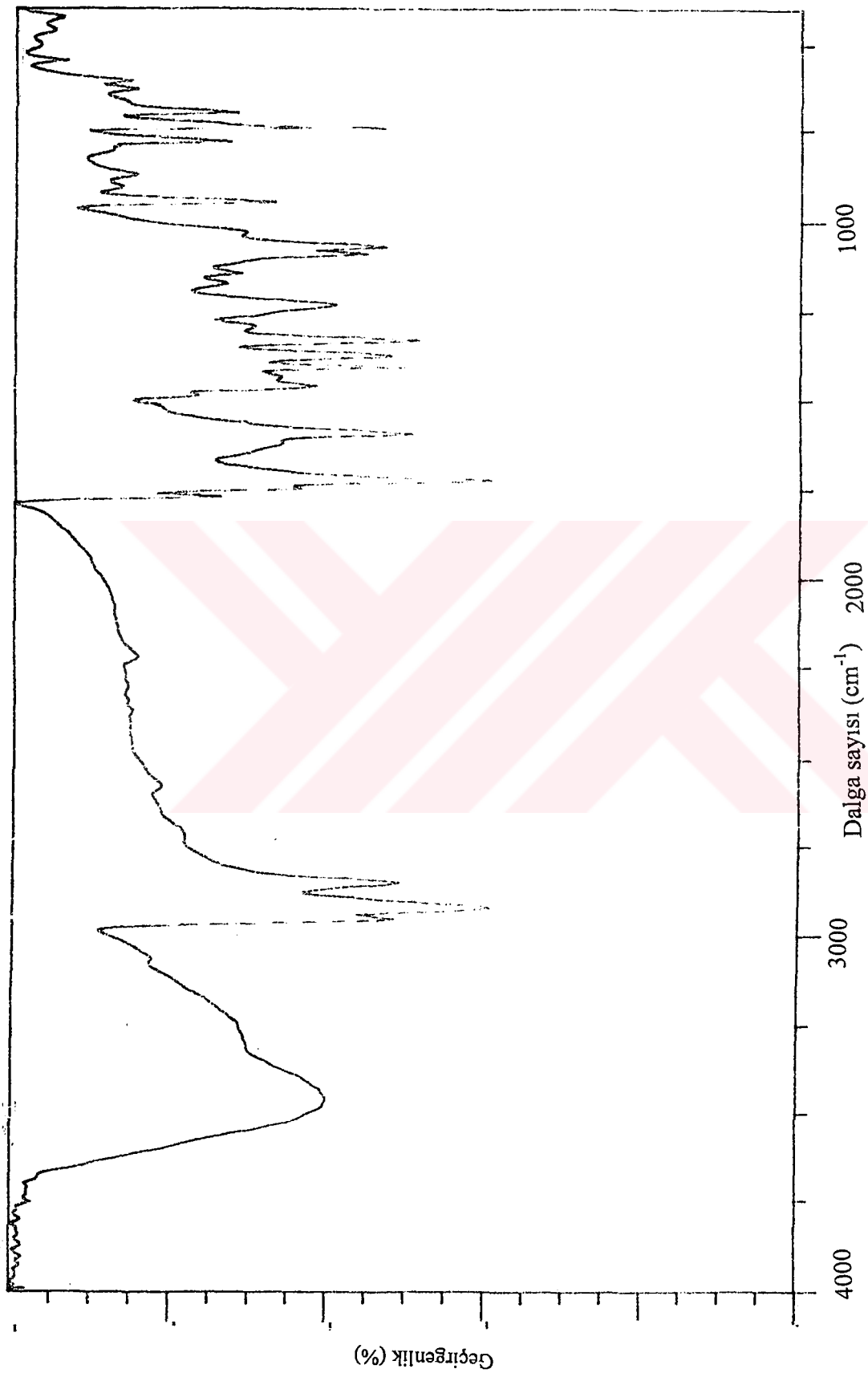
- [115] **Gürek, A.G. and Bekaroğlu, Ö.**, 1994. Octakis(alkylthio)-substituted phthalocyanines and their interactions with silver (I) and palladium (II) ions, *J.Chem.Soc.Dalton Trans.*, 1419-1423.
- [116] **Gümüş.G., Gül, A. and Bekaroğlu,Ö.**, 1994. Synthesis and characterization of a new metal-free phthalocyanine with aminoethylsulfanyl substituents, *J.Chem.Research (S)*, 430-431.
- [117] **Vacus, J., Memetidis, G., Doppelt., P and Jimon, S.**, 1994. The synthesis of Unsymmetrical functionalized platinum and zinc phthalocyanine complexes, *J.Chem.Soc., Chem.Commun.*, 697-698.
- [118] **Landin, D., Montanari, F. and Rolla, F.**, 1978. Phase-Transfer Ctalys: Synthesis and catalitic activity of tricyclohexyl [2.2.2] cryptand (perhydodibenzohexaoxadi-aza [8.8.8] e:cosane), *Synthesis*, 223-225.
- [119] **Gansow, O.A., Kansar, A.R. and Triplett, B.**, 1981. Synthesis and characterization of some bifunctional 2B:2.1 cryptands, *J.Heterocyclic Chem.*, **18**, 297-302.
- [120] **Cornelus, F., Nostrum, V. Picken, S.J., Jan Schuten, A. and Nolte, R.J.M.**, 1995. Synthesis and supramolecular chemistry of novel liquid crystalline crown ether-substituted phthalocyanines ; toward molecular wires and molecular iono electronics, *Journal of the American Chemical Society*, **117**, 9957-9965..
- [121] **Martin, J. and Dale, J.**, 1982, 1,4,7-trioxa-10-azacyclododecane and some N-substituted derivatives ; Synthesis and cation complexing, *Acta Chemica Scandinavica B* **36**, 241-247.
- [122] **Eberhardt, W. and Hanack, M.**, 1998, Synthesis of hexadecaalkyl-substituted metal phthalocyanines, *Synthesis*, 1760-1764.
- [123] **Dabak, S., Gül, A. and Bekaroğlu, Ö.**, 1994. Hexaalkylthia-substituted unsymmetrical phthalocyanines, *Chem.Ber.*, 2009-2012.
- [124] **Moussavi, M., Decian, A., Fisher, J. and Weiss, N.**, 1988. Synthesis and Characterization of Lutetium Bis (phthalocyanines) with DBU. *R. Inorg.Chem.*, **27**, 1287.
- [125] **Subbotin, N.B., Tomilova, L.G., Kostromina, N.A. and Luk'yanets, E.A.**, 1986. Synthesis and electrochemistry of Lutetium Bis(phthalocyanine). *Zhurnal Obshchey Khimii*, **56**, (2), 397-400.

EKLER

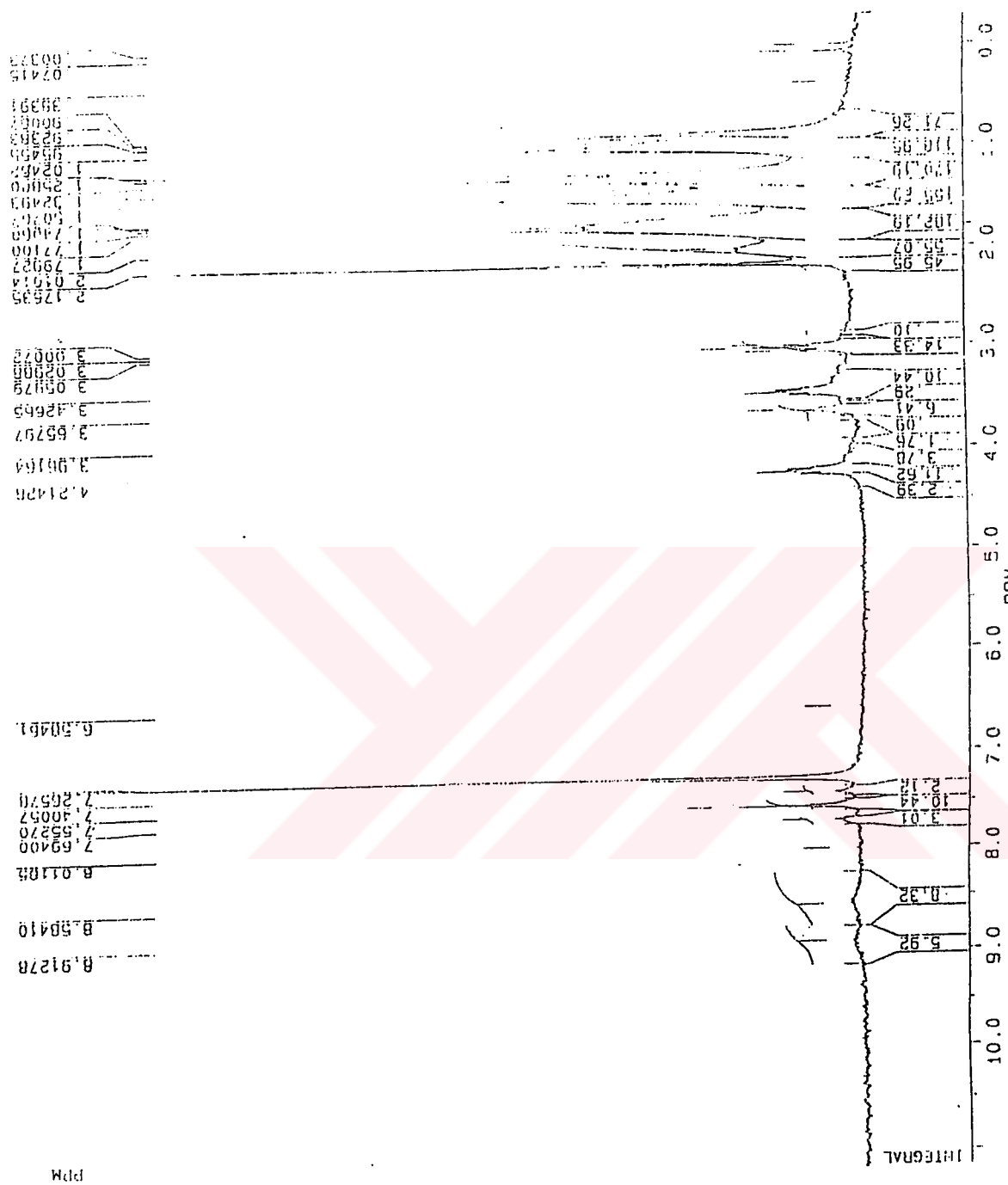




Sekil A.2 (2) bilesigine ait ${}^1\text{H}$ -NMR spektrumu.

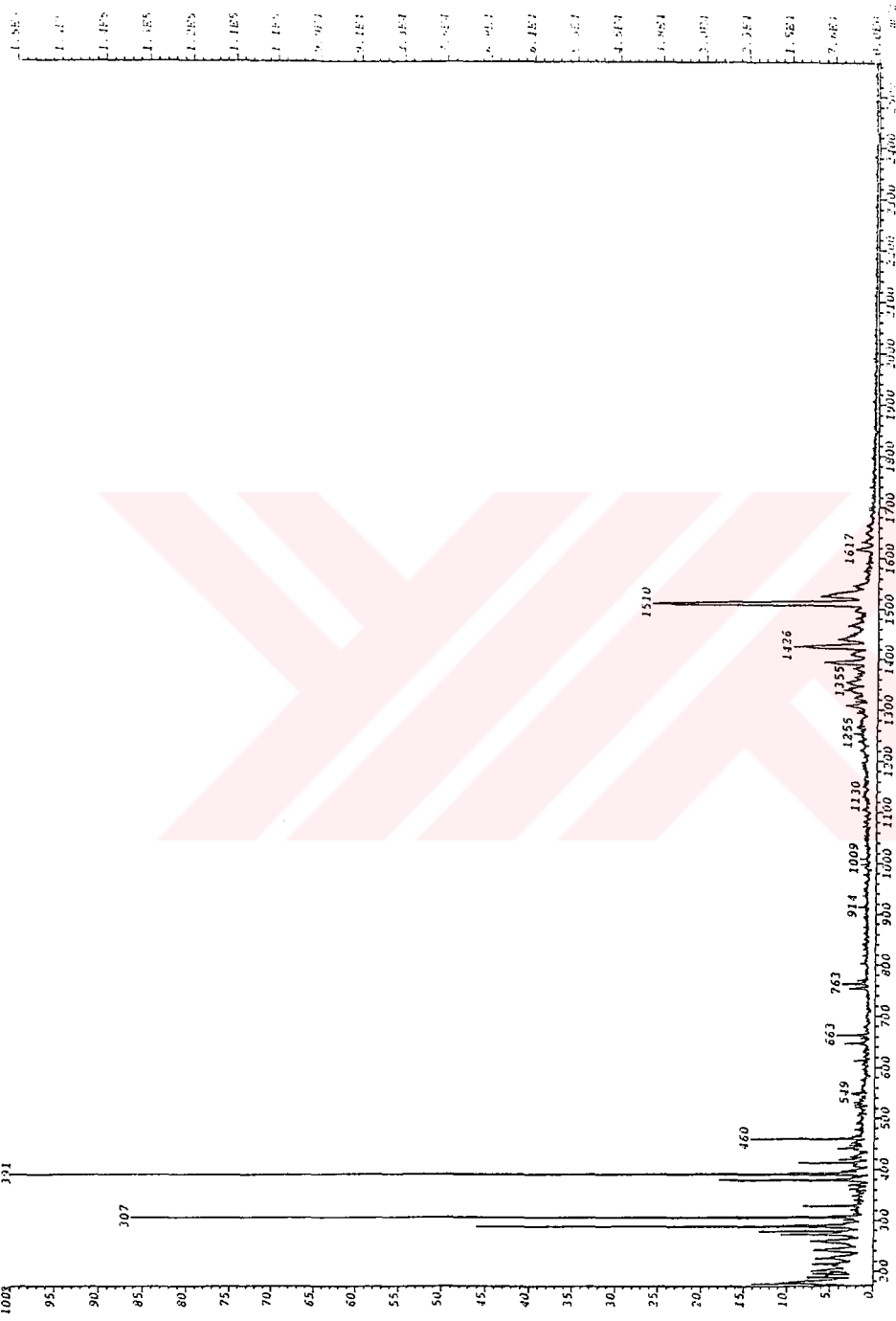


Şekil A.3 (3) bileşigine ait IR spektrumu

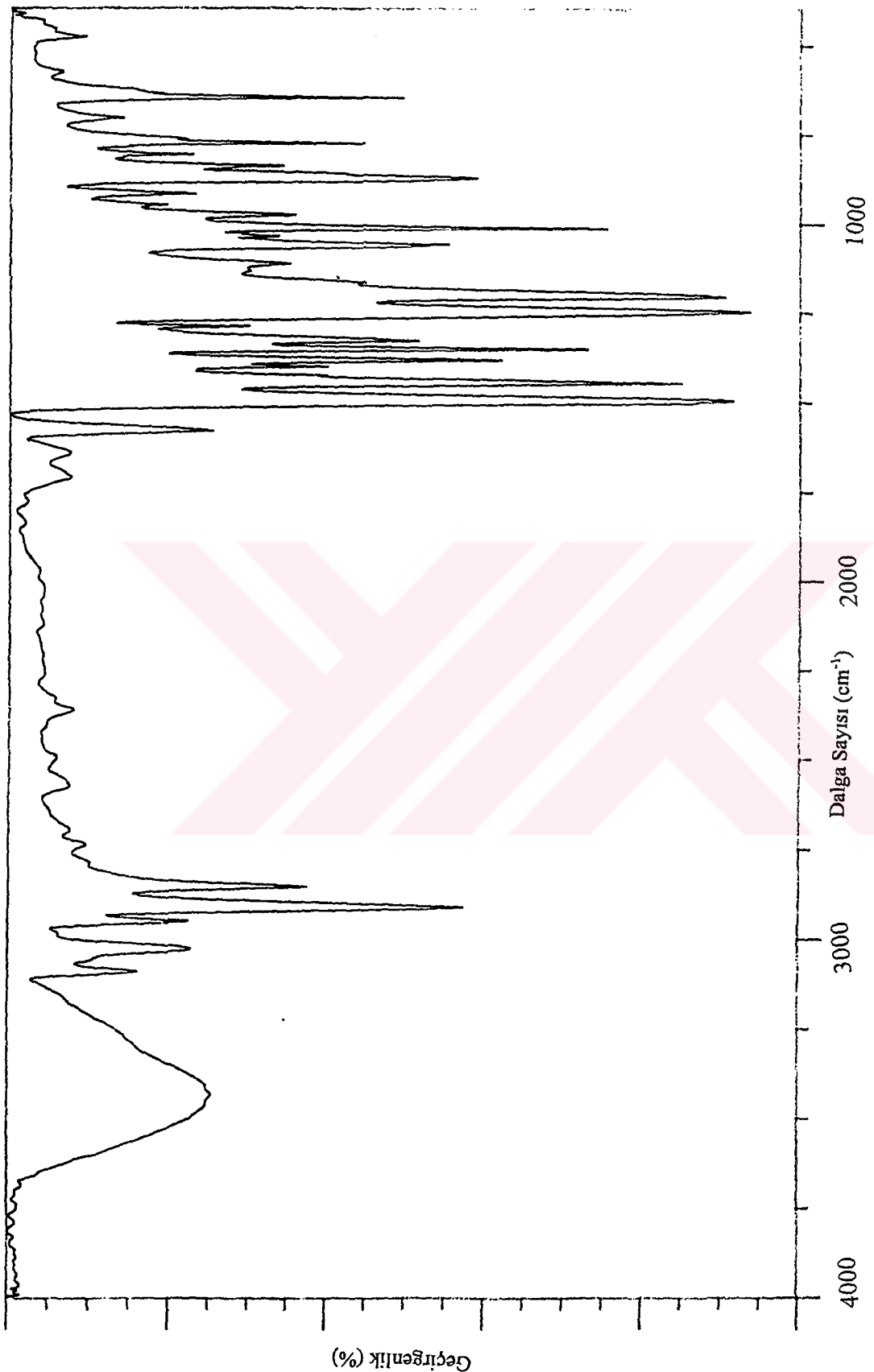


Sekil A.4 (3) bileşigine ait $^1\text{H-NMR}$ spektrumu

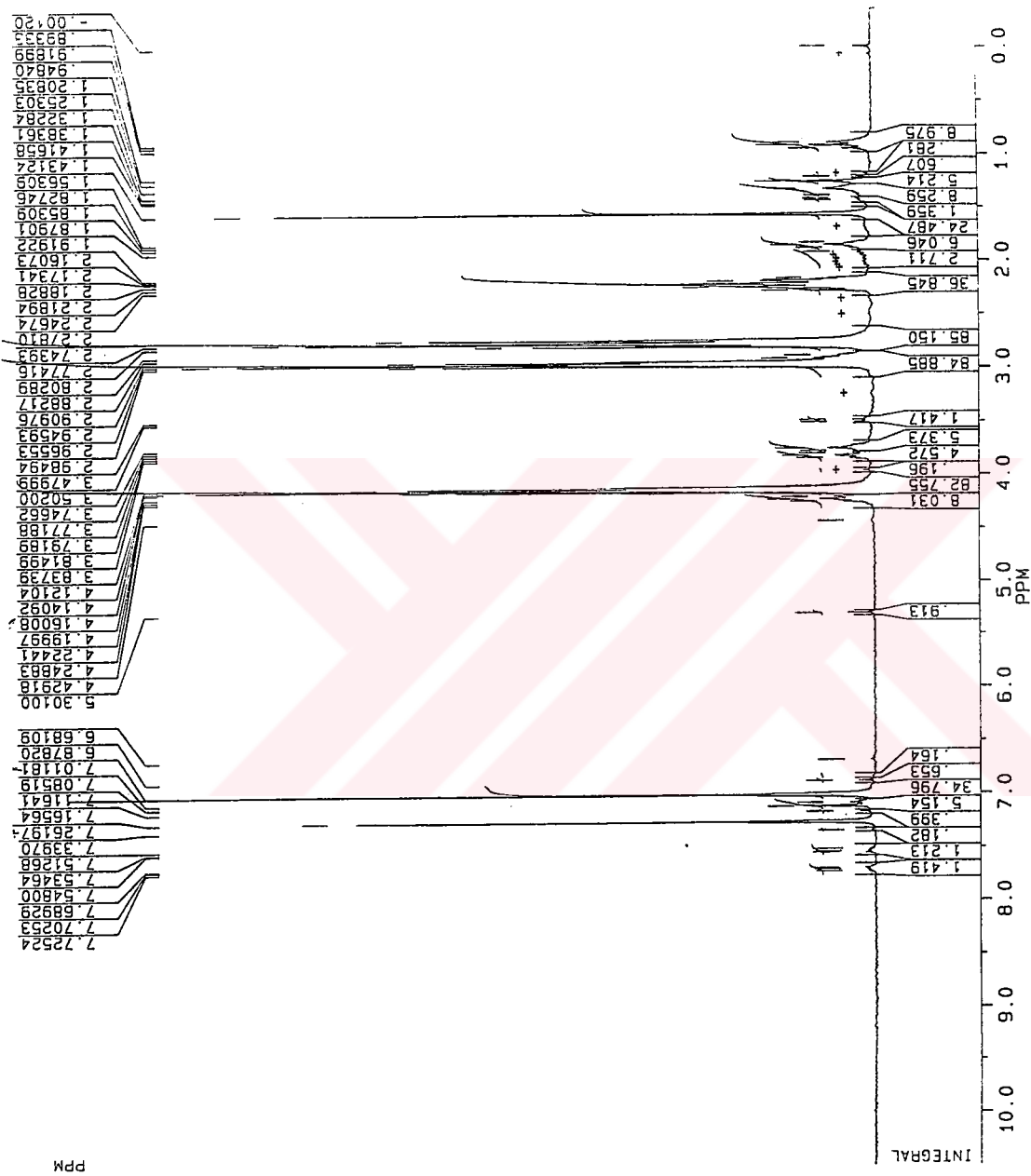
F10.i.NOV-94-610 Ident:7-16-34-40 Acq: 6-NOV-1998 15:10:14 * 7:08 Cal: NOV-6
ZabSpec FIB, Magnet Bpi:15070s TrC:8187636



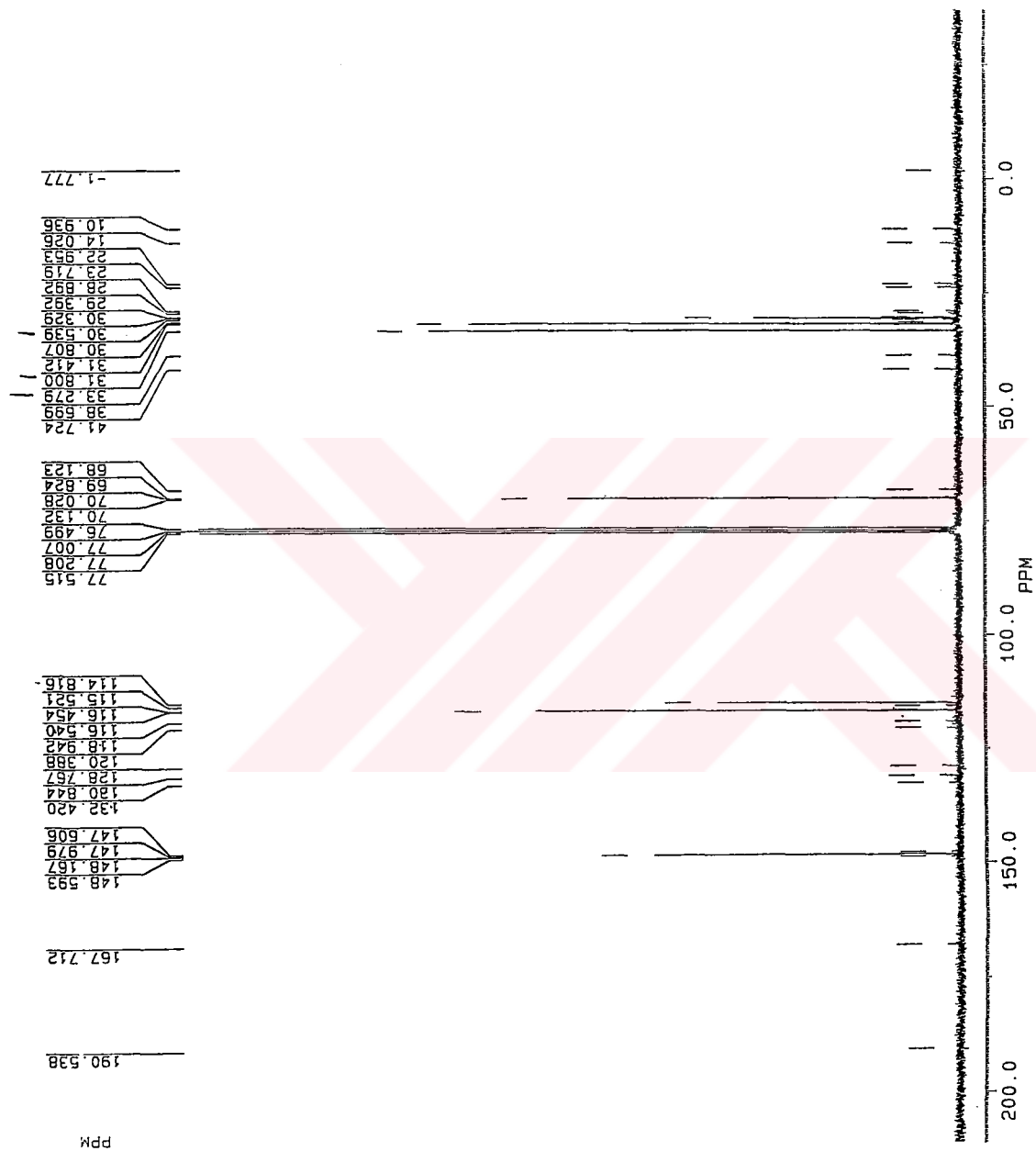
SekilA.5 (3) bileşigine ait MS spektrumu.



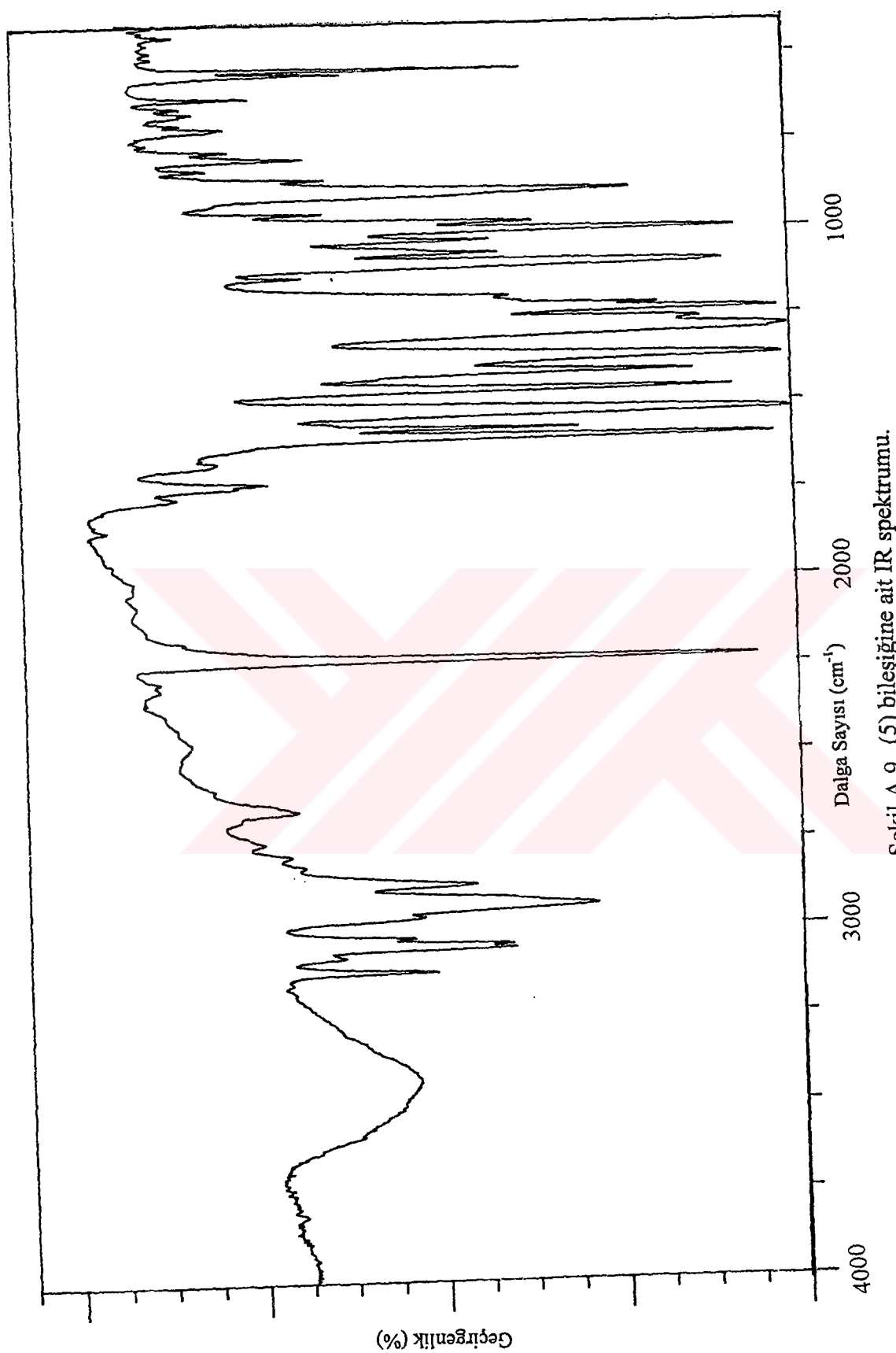
Şekil A.6 (4) bileşigine ait IR spektrumu.



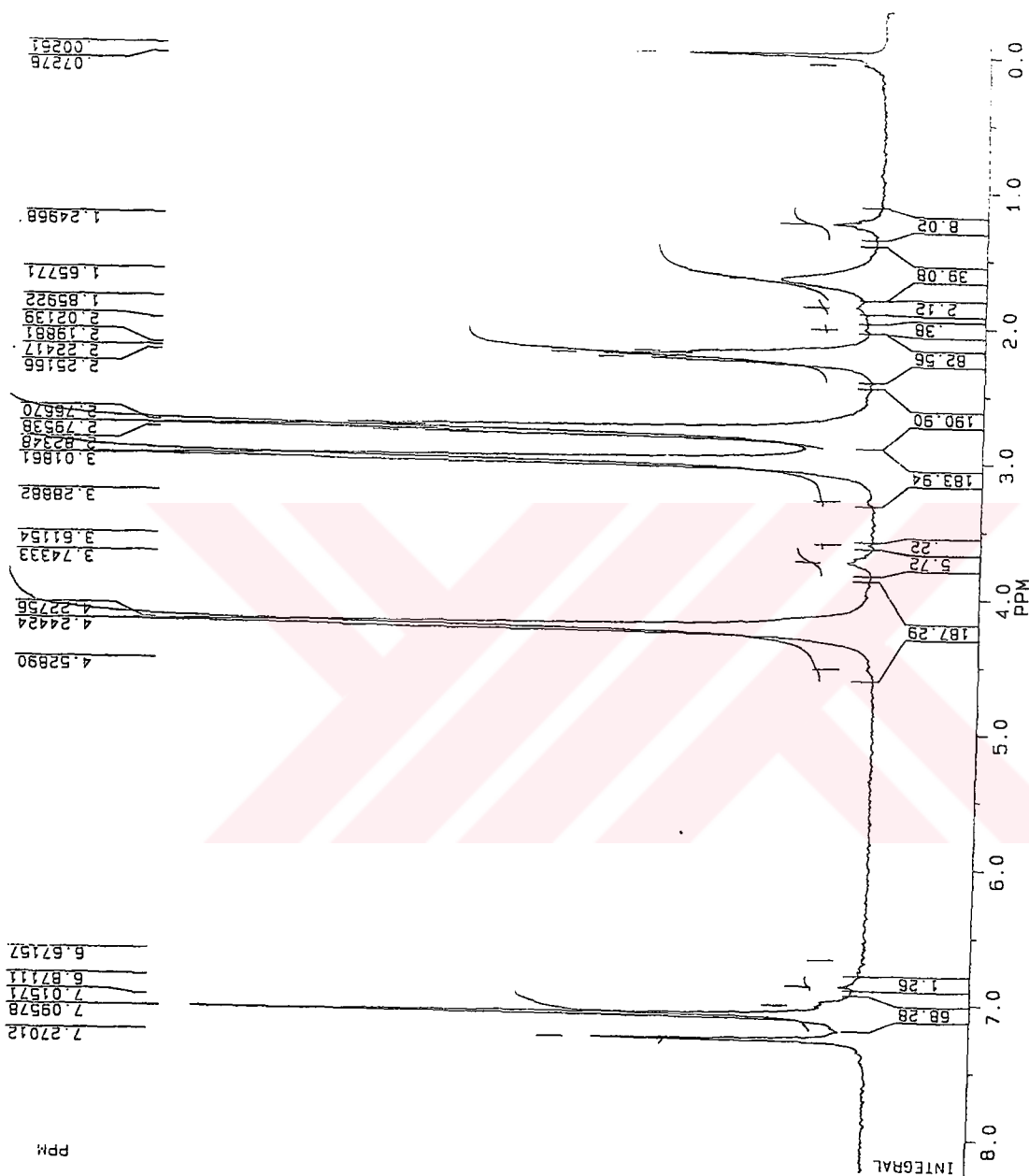
Sekil A.7 (4) bileşigine ait $^1\text{H-NMR}$ spektrumu.



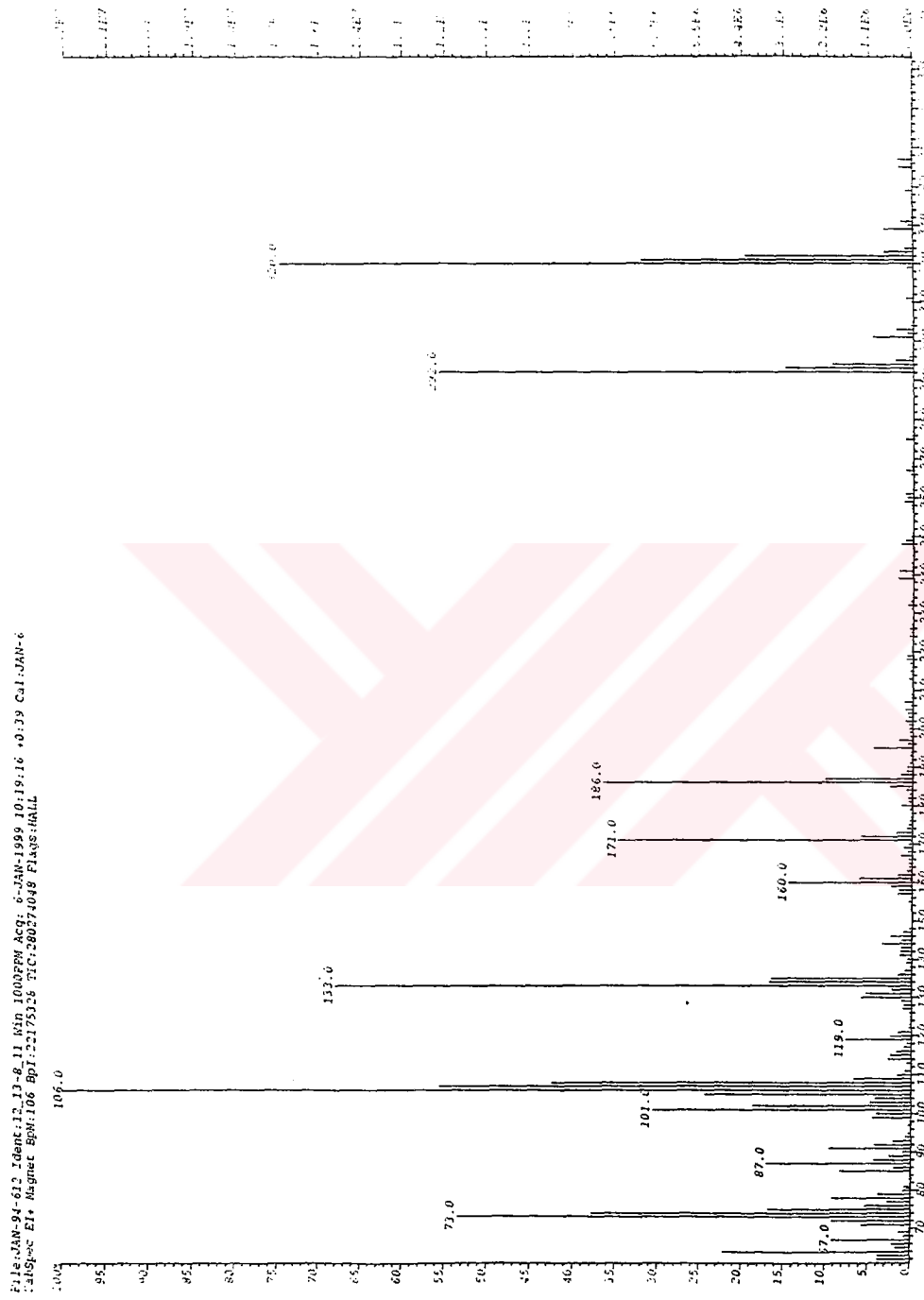
Şekil A.8 (4) bileşigine ait ^{13}C spektrumu.



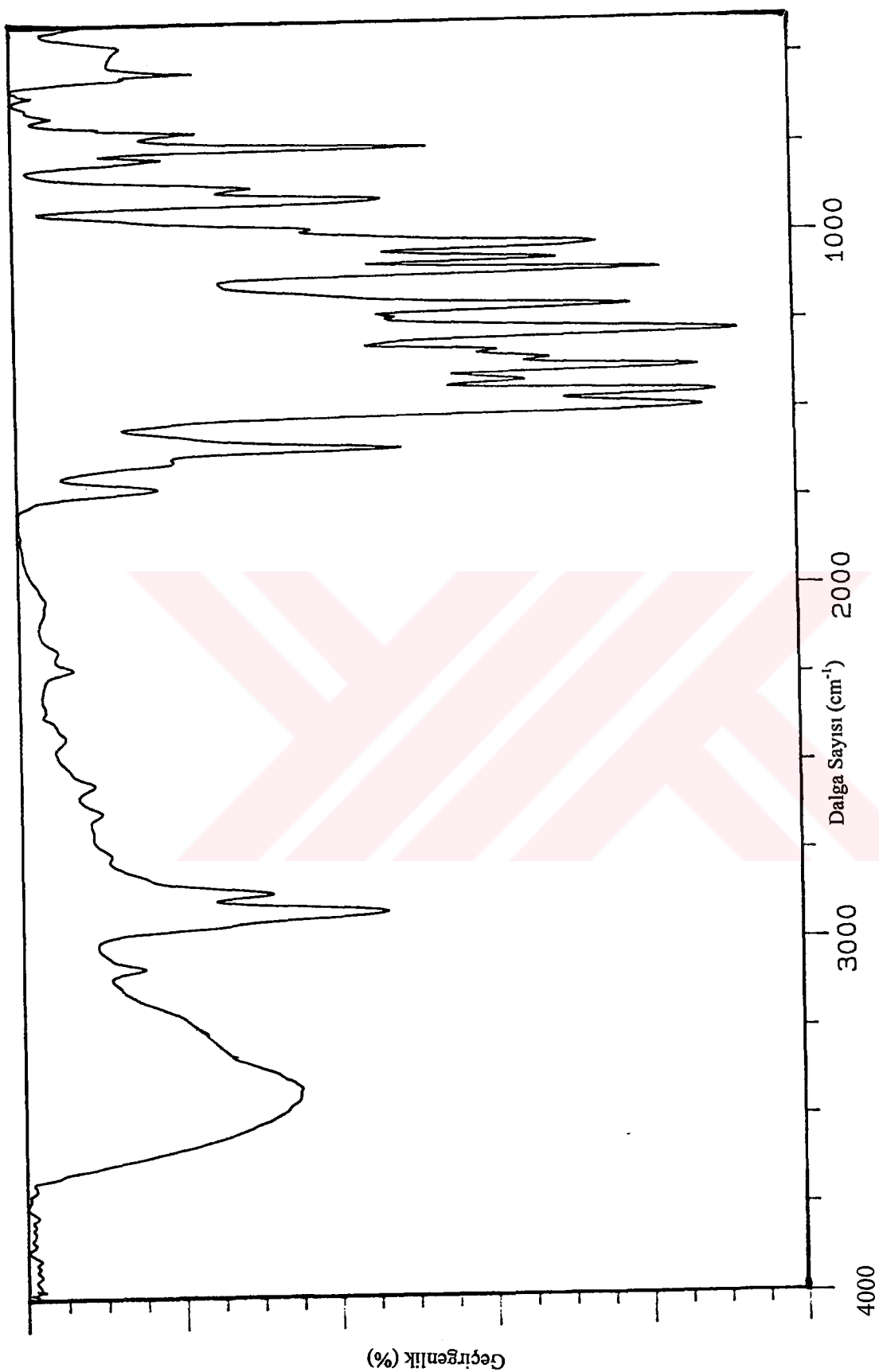
Sekil A.9 (5) bilesigine ait IR spektrumu.



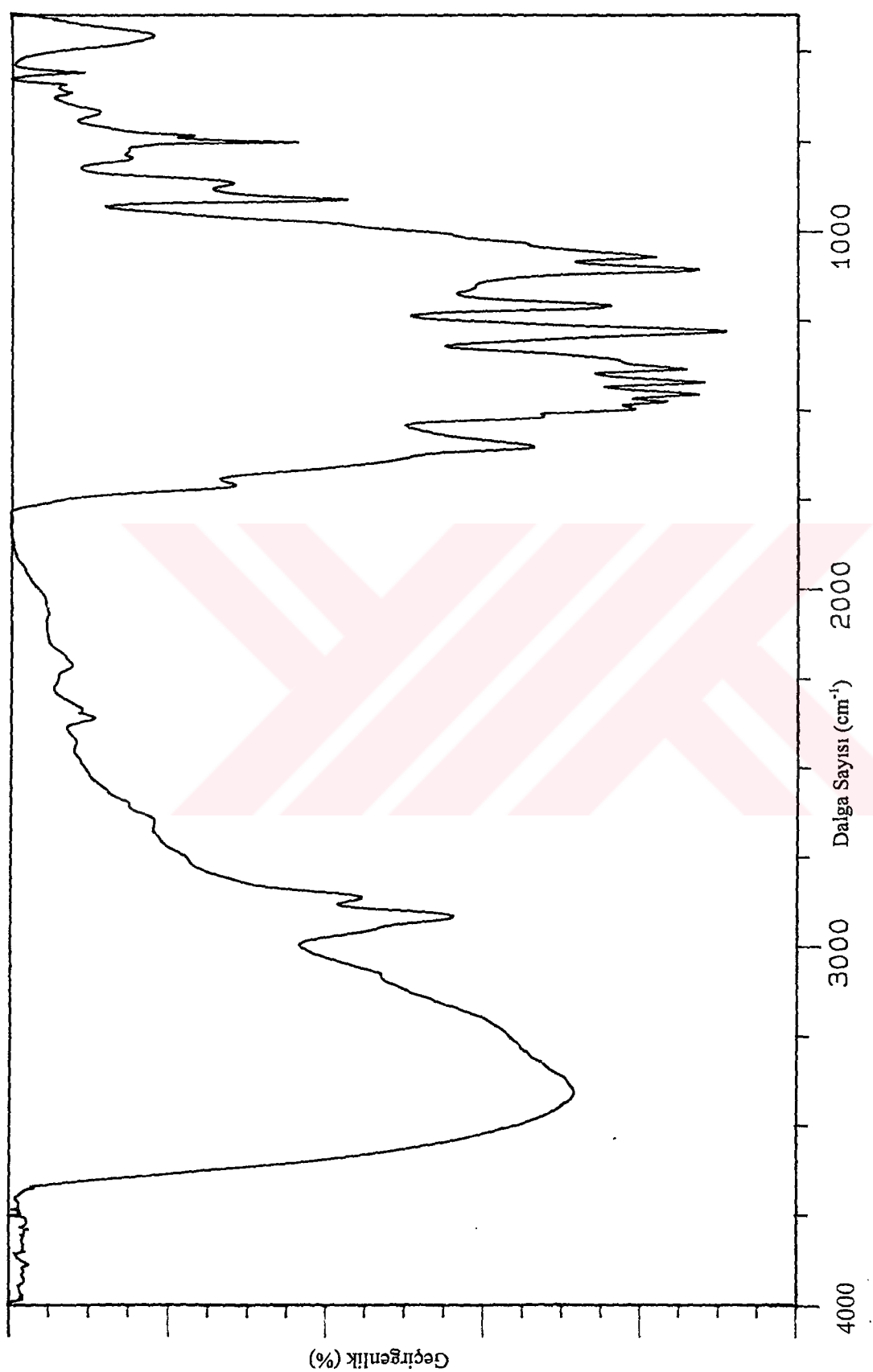
Şekil A.10 (5) bileşigine ait ${}^1\text{H}$ -NMR spektrumu.



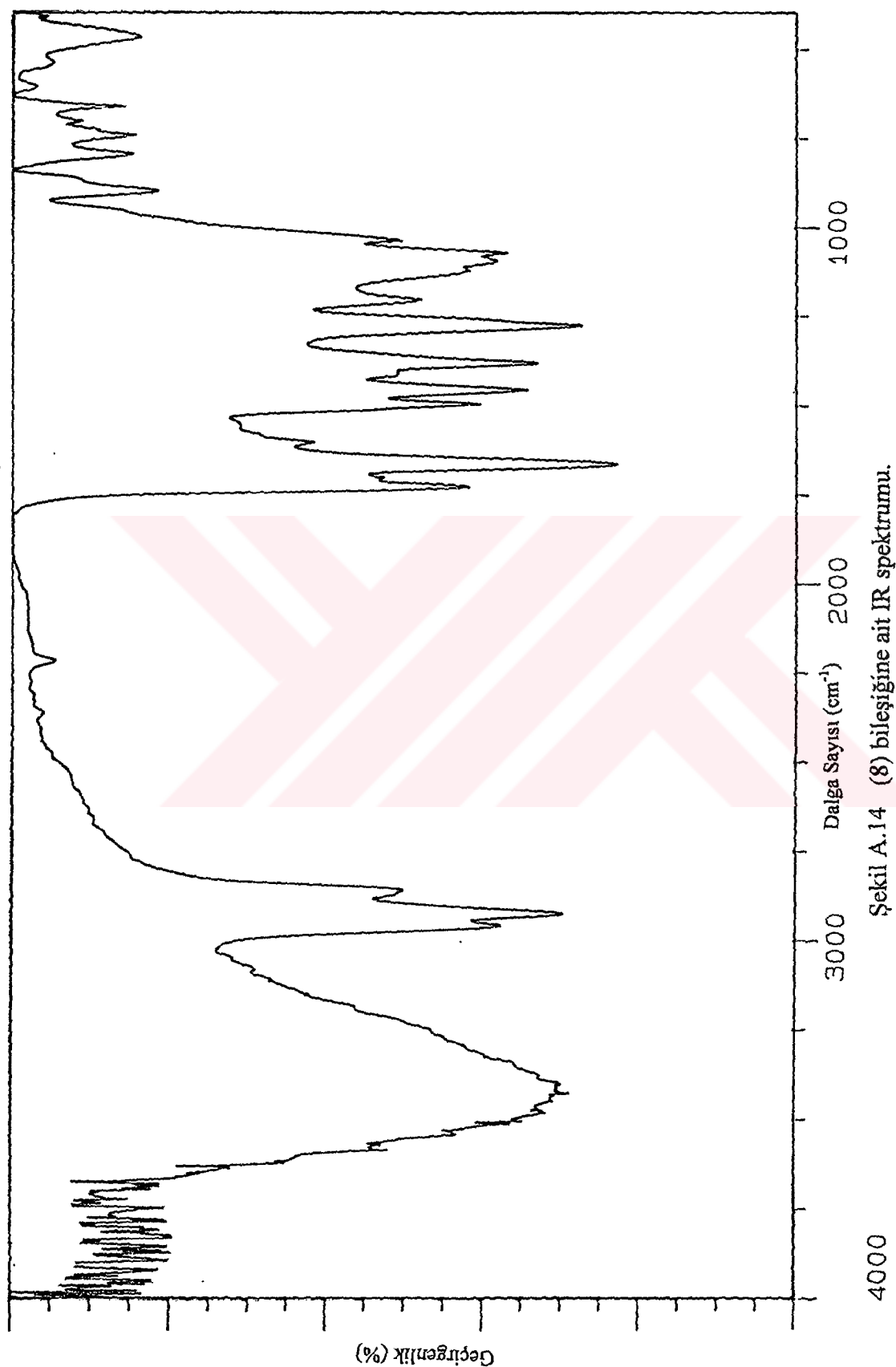
Sekil A.11 (5) bilesigine ait MS spektrumu.



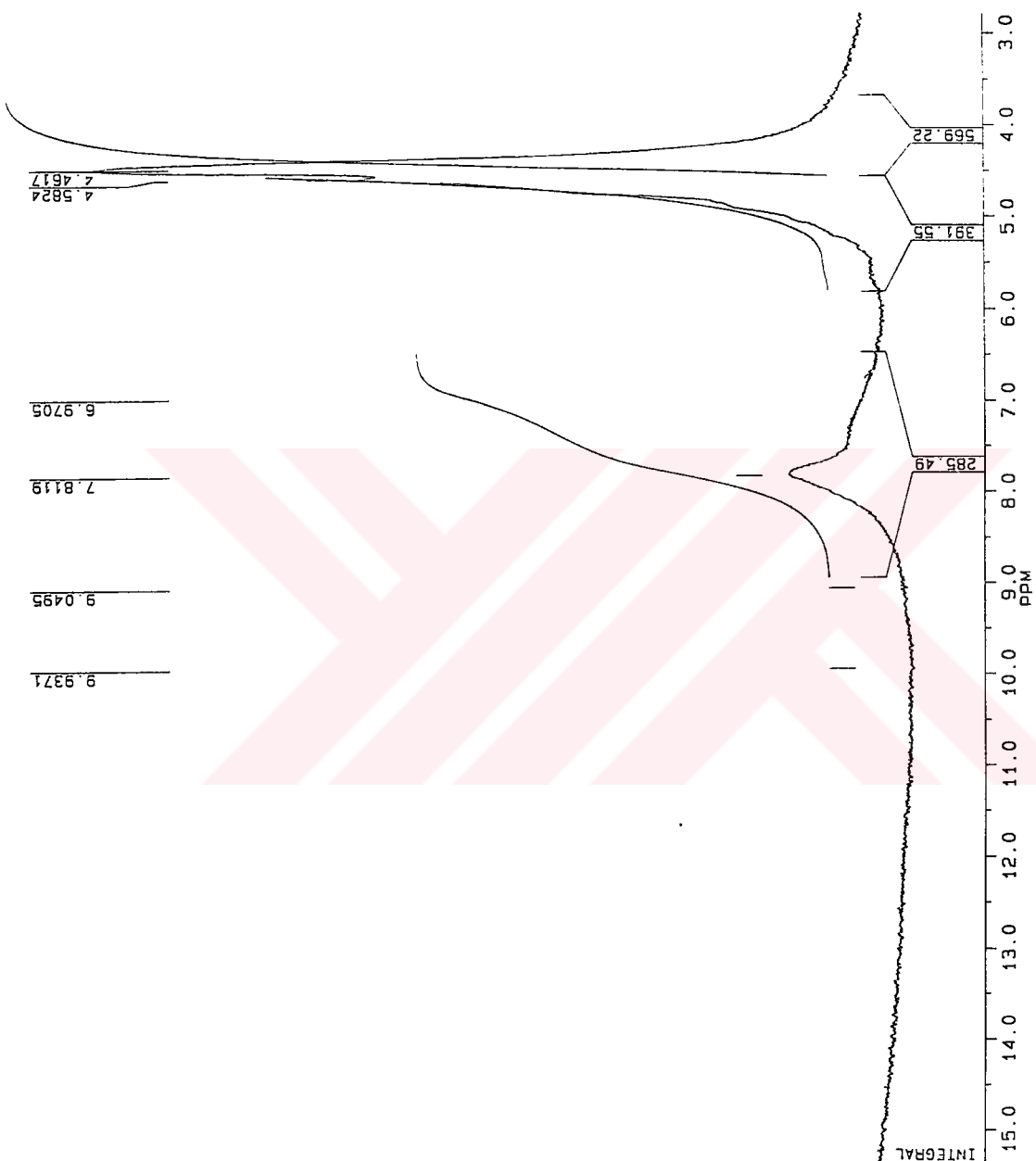
Şekil A.12 (6) bileşigine ait IR spektrumu.



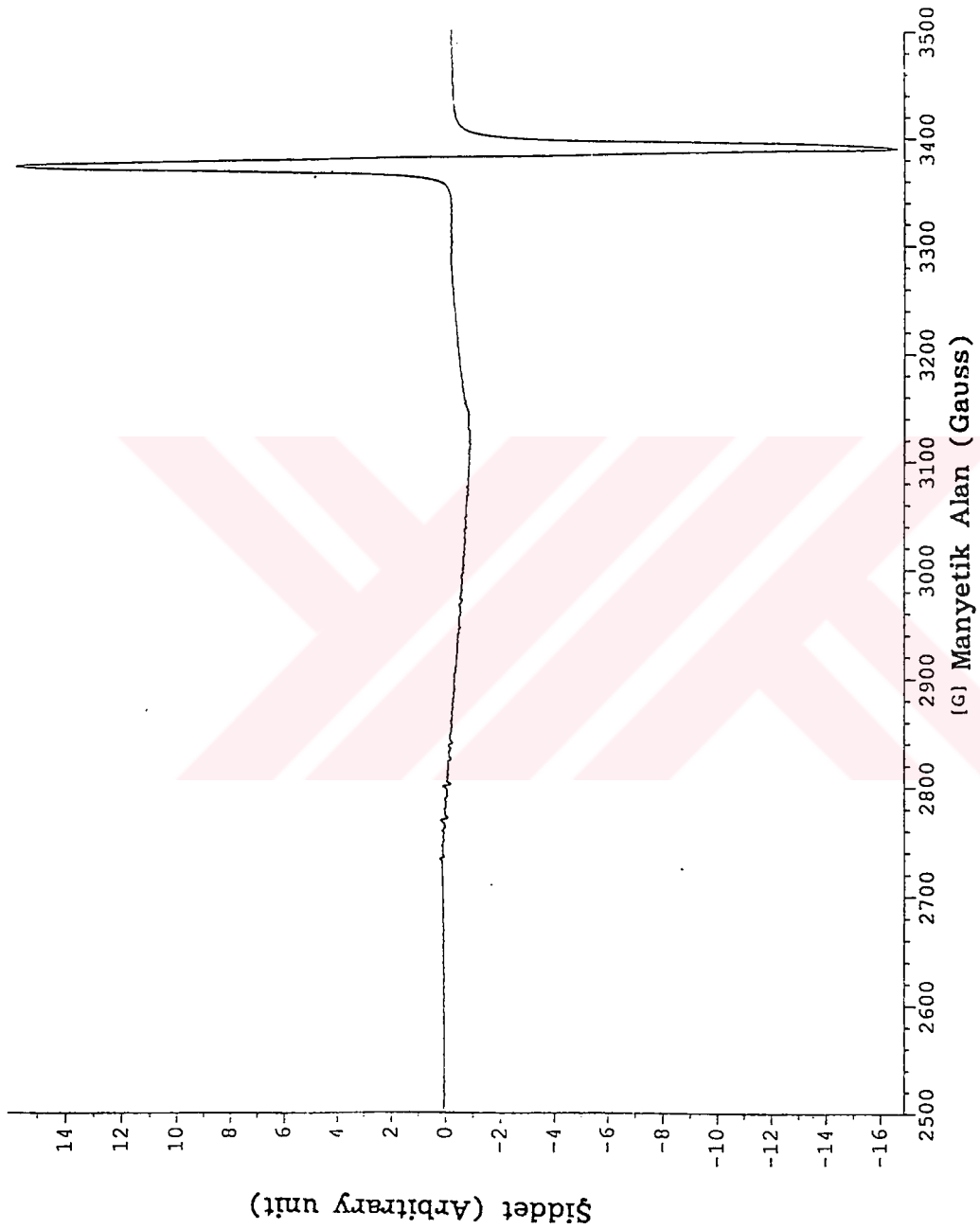
Şekil A.13 (7) bileşigine ait IR spektrumu.



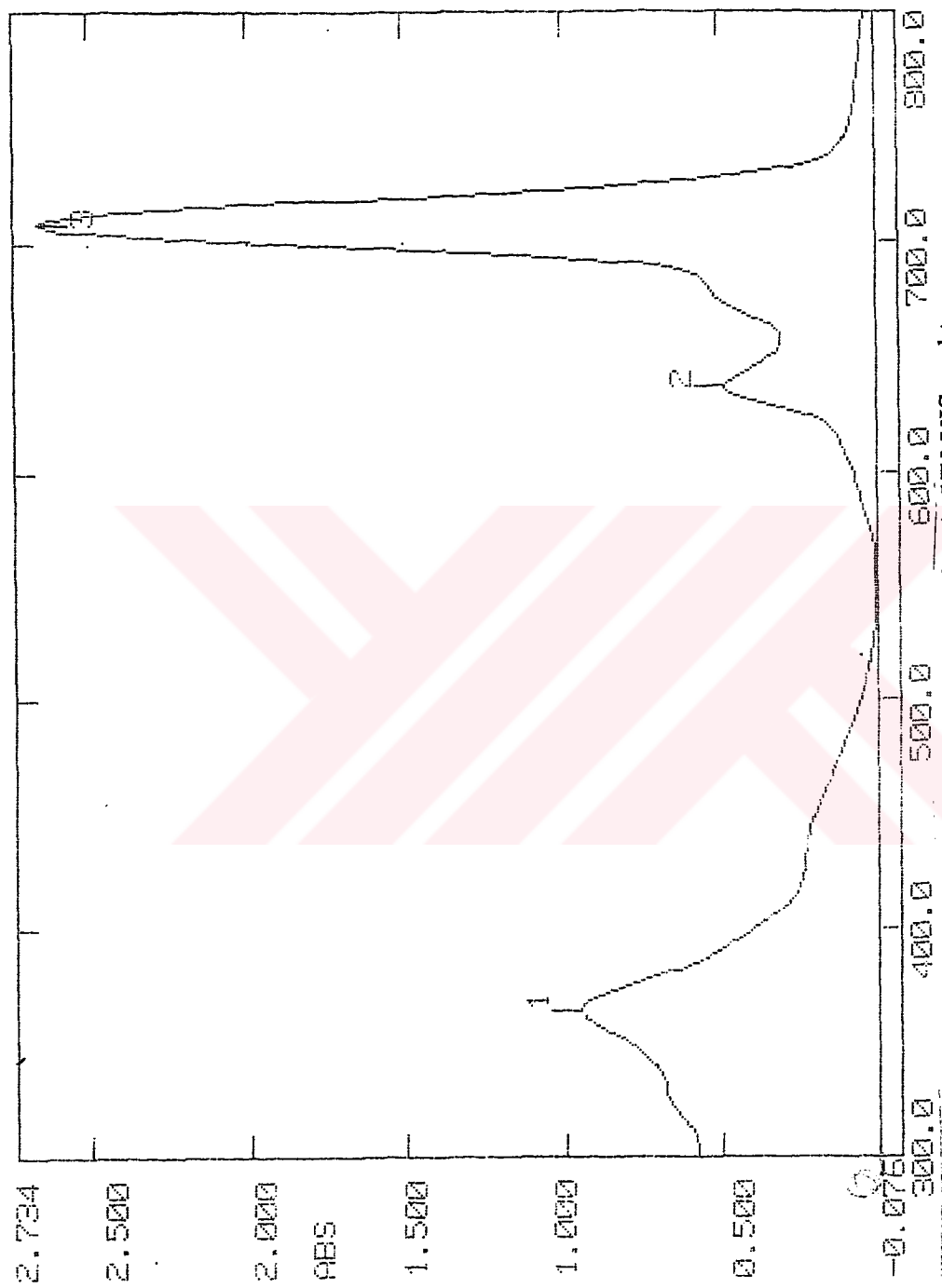
Şekil A.14 (8) bileşigine ait IR spektrumu.



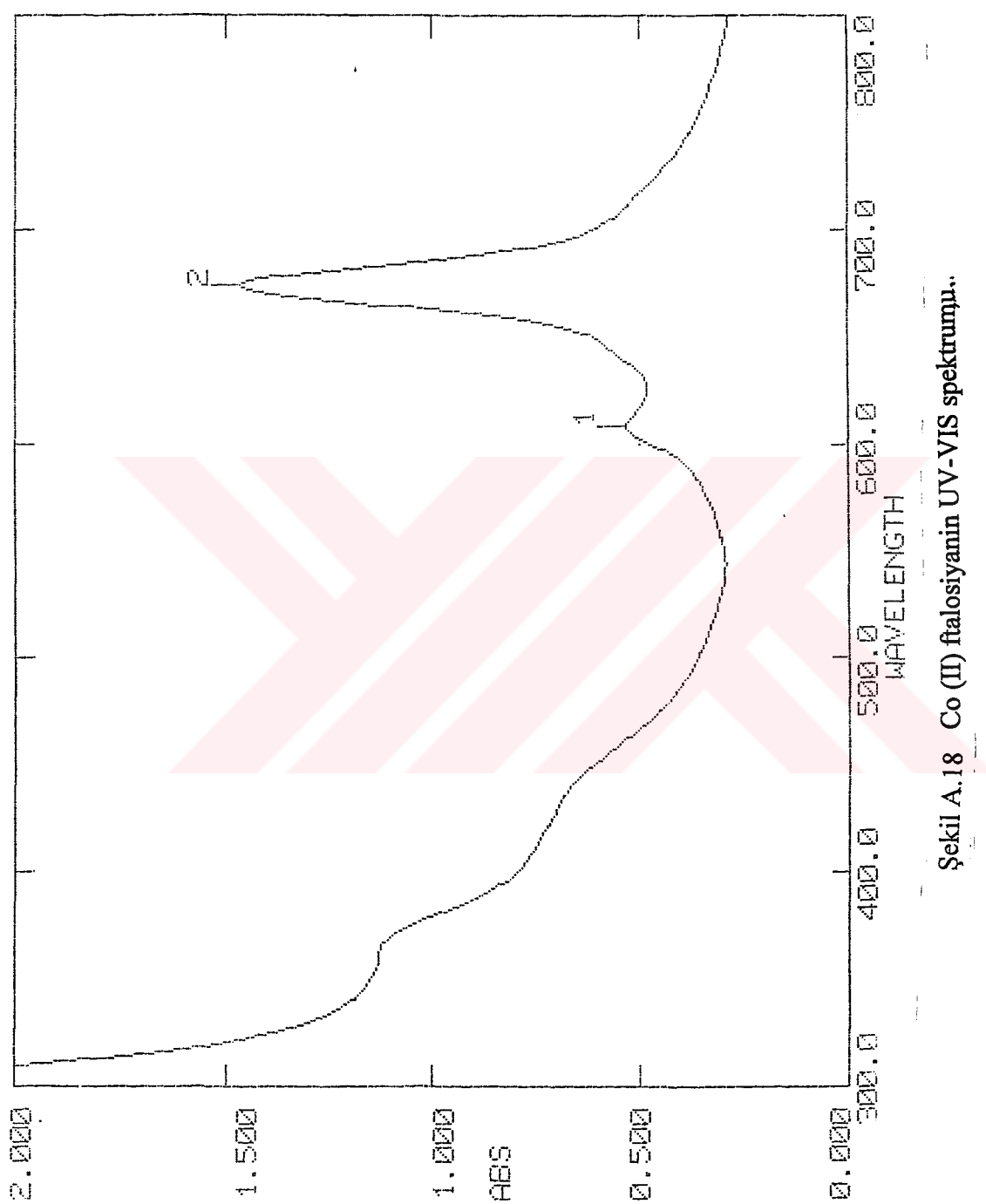
Sekil A.15 (8) bileşigine ait ${}^1\text{H-NMR}$ spektrumu.



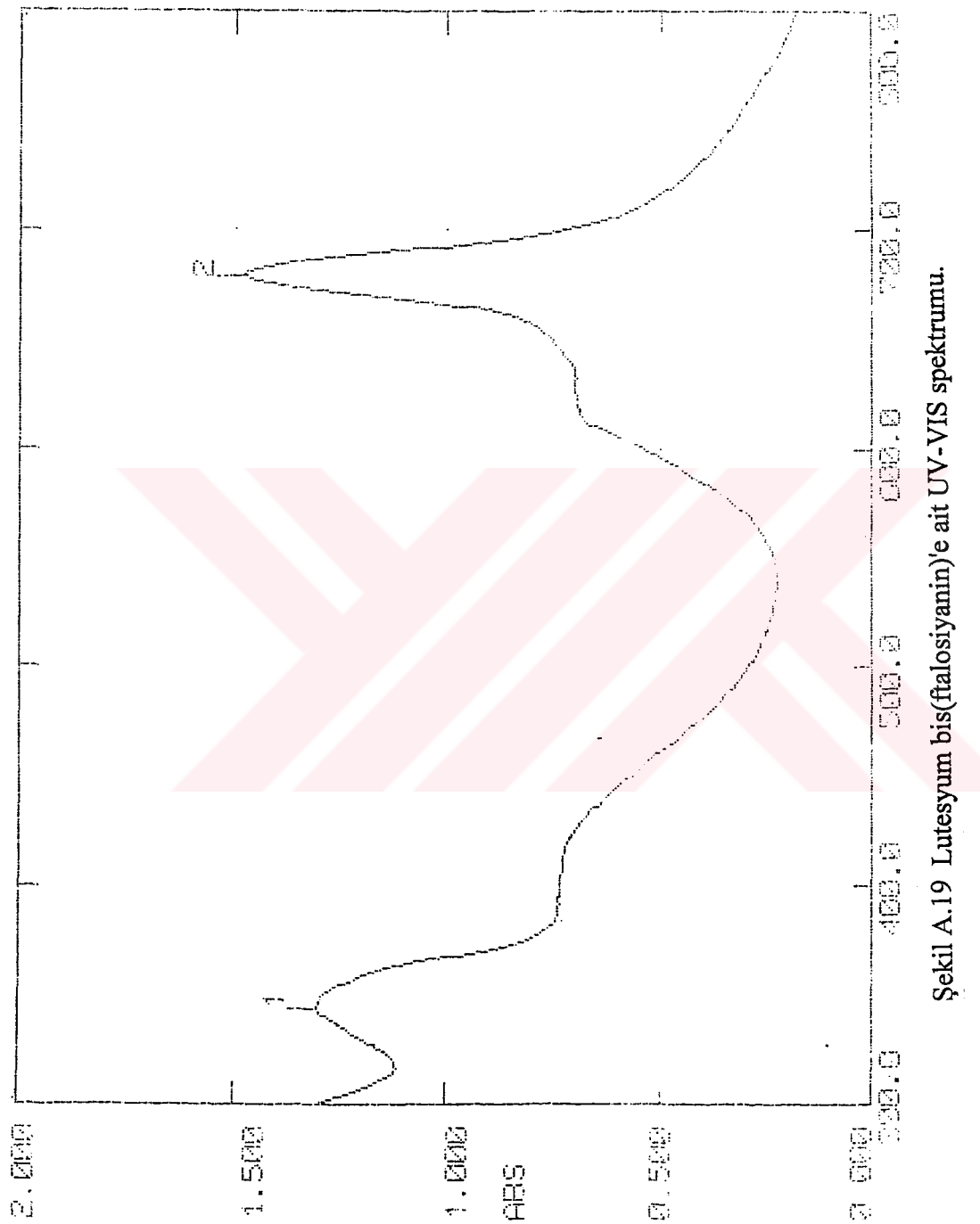
Sekil A.16 (8) bilesigine ait X-band ESR spektrumu.



Sekil A.17 Asimetrik Zn (II) fthalosiyyanin UV-VIS spektrumu.



Sekil A.18 Co (II) fthalosiyanyin UV-VIS spektrumu.



Sekil A.19 Lutesyum bis(4-aminophenyl)benzene UV-VIS spektrumu.

ÖZGEÇMİŞ

1968 yılında Trabzon'da doğdu. 1986 yılında Arsin Lisesi'nden mezun oldu. 1987 yılında Karadeniz Teknik Üniversitesi Fen-Edebiyat Fakültesi Kimya Bölümüne girdi. 1988-1989 Öğretim Yılında İstanbul Teknik Üniversitesi Fen-Edebiyat Fakültesi Kimya Bölümüne yatay geçiş yaptı. 1991 yılında aynı fakülteden Kimyager olarak mezun oldu. 1992 yılında İstanbul Teknik Üniversitesi Fen Bilimleri Enstitüsü Kimya Anabilim Dalı Kimyagerlik programında Yüksek Lisansa başlayıp 1994 yılında bitirdi. Aynı yıl ve aynı programda doktora çalışmasına başladı. Temmuz 1992 tarihinden itibaren İstanbul Teknik Üniversitesi Kimya Bölümü Anorganik Kimya Anabilim Dalında Araştırma Görevlisi olarak görevini sürdürmektedir. Evlidir.